



RÉPUBLIQUE ALGÉRIENNE DÉMOCRATIQUE ET POPULAIRE  
UNIVERSITE LARBI TEBESSI DE TEBESSA  
FACULTÉ DES SCIENCES ET DE LA TECHNOLOGIE



DOMAINE DE FORMATION : SCIENCES ET TECHNOLOGIES (ST)

## **Fatigue des matériaux Cours et exercices**

**Matière** : Fatigue des matériaux  
**Spécialité** : Génie des matériaux  
**Niveau** : Master 2

**Réaliser par** : Diha Abdallah

**Année universitaire** : 2021/2022

# TABLE DES MATIERES

## CHAPITRE I : Concepts généraux sur la fatigue

1. Introduction	4
2. Mécanismes de fatigue	
• Exemples de rupture par fatigue	6
• Mécanismes de fatigue	6
• Types de sollicitations en fatigue	8
3. Différents approches en fatigue	
• Approche en durée de vie	10
• Approche en tolérance aux dommages	11

## CHAPITRE II : Durée de vie en Fatigue

1. Comportement en fatigue des matériaux	11
• Termes et symboles relatifs aux essais de fatigue	16
• Comportement en fatigue de structures non fissurées	18
• Domaine d'endurance limité	20
• Aspects statistiques	19
• Facteurs influençant sur la tenue en fatigue	22
• Diagrammes de Haigh, Goodman, Ros etc.	37

## CHAPITRE III : Comportement cyclique (Fatigue oligocyclique)

• Différents domaines de la fatigue	41
• Les formes de cycle de contraintes	43
• Comportement sous sollicitation cyclique	46

## CHAPITRE IV : Cumul de dommages

• Cumul de dommage par fatigue	44
• Les lois d'endommagement de fatigue	47
• Calcul par la théorie de Miner	50
• Principe du cumul des dommages linéaires	51

## CHAPITRE V : Propagation des fissures de fatigue

• Propagation des fissures de fatigue	52
• Vitesse de fissuration	54
• Durée de vie en fatigue	55

## CHAPITRE VI : Effet d'entaille (Coefficient de réduction de durée de vie $K_f$ , coefficient de Neuber etc

• Effet d'entaille	57
• Introduction	57
• Détermination des durées de vie des pièce entaillés en fatigue	61
• Méthodologie de la règle de Neuber	62

**Préface**

L'objet de la présente polycopie est de fournir une vision globale des phénomènes responsables de la ruine de matériaux de structure. Ceux-ci revêtent en effet une importance considérable puisque, peu ou prou, ils vont déterminer la durée de vie ou la disponibilité d'un composant, d'un assemblage et par enchaînement, d'une installation industrielle complète.

Cette polycopie est donc principalement destinée à des étudiants en master LMD ou des ingénieurs déjà familiarisés avec la science des matériaux et qui voudraient approfondir inculquer à l'étudiant la notion de rupture par fatigue ainsi que la détermination de la durée de vie d'une structure. Ce travail s'articule sur six chapitres. Le premier sera consacré à une présentation des concepts généraux sur la fatigue : mécanismes de fatigue, différents approches en fatigue. Le deuxième chapitre est divisé en quatre parties, telle que la première partie comprend le comportement en fatigue des matériaux tandis que la deuxième, la troisième et la quatrième partie comprennent successivement : Aspects statistiques, facteurs influençant sur la tenue en fatigue, et diagrammes de Haigh, Goodman, Ros etc. Le troisième chapitre présente le comportement cyclique (fatigue oligocyclique). Le quatrième chapitre est consacré à l'étude de cumul de dommages. Dans le cinquième chapitre nous étudierons les propagations des fissures de fatigue (approche de la MLER, mécanismes, modèles de propagation empiriques et théoriques etc...). En fin Le sixième chapitre traite l'Effet d'entaille (coefficient de réduction de durée de vie  $K_f$ , coefficient de Neuber etc...). A la fin, une série d'exercices clôturent cette polycopie.

**Introduction**

Les défaillances par fatigue des structures métalliques sont un phénomène bien connu. Ces défaillances ont déjà été observées au siècle dernier, et les premières recherches sur la fatigue ont été menées à cette époque. August Wöhler est l'auteur de recherches techniques remarquables sur la fatigue. Il a constaté qu'une seule application de charge, bien en dessous de la résistance statique d'une structure, ne causait aucun dommage à la structure. Cependant, si la même charge était répétée plusieurs fois, elle pouvait provoquer une défaillance complète. Au siècle dernier, on pensait que la fatigue était un phénomène mystérieux dans le matériau, car les dommages dus à la fatigue n'étaient pas visibles. La défaillance se produisait apparemment sans aucun avertissement préalable. Au cours de ce siècle, nous avons appris que des applications répétées de charges peuvent déclencher un mécanisme de fatigue dans le matériau, conduisant à la nucléation d'une microfissure, à la croissance de la fissure et finalement à la défaillance complète d'une structure. L'histoire des ouvrages d'art a été marquée jusqu'à présent par de nombreuses défaillances par fatigue de machines, de véhicules en mouvement, de structures soudées, d'avions, etc. De temps en temps, ces défaillances ont provoqué un accident catastrophique, comme une explosion ou la rupture complète d'un pont ou d'autres grandes structures. En premier temps il est nécessaire de passer par des notions préliminaires pour parvenir à entrer directement dans le sujet commençant par le cas de contrainte complètement renversée par l'étude de la fameuse courbe de Wöhler qui constitue la base d'étude de la fatigue, suivi du cas de contrainte non complètement renversée (critère de Goodman). Ensuite c'est la généralisation pour le cas de changement complexe. Finalement on étudiera le cas de cumul d'endommagement décrit par la loi de Miner.

Une structure est conçue dans le but d'accomplir une ou plusieurs fonctions, on distingue deux types : les unes qui sont soumises à des chargements mécaniques statiques et les autres qui sont soumises à des chargements dynamiques. Pratiquement les structures de la première catégorie durent plus longtemps ce qui justifie le dimensionnement en fonction de la résistance ou la rigidité lors la phase de conception.

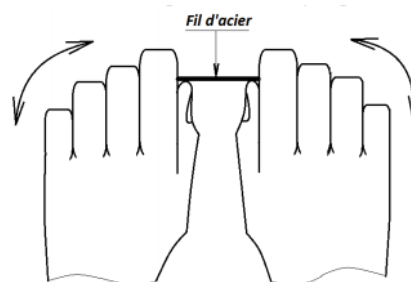
**I.1. Généralités**

Une structure est conçue dans le but d'accomplir une ou plusieurs fonctions, on distingue deux types : les unes qui sont soumises à des chargements mécaniques statiques et les autres qui sont soumises à des chargements dynamiques. Pratiquement les structures de la première catégorie durent plus longtemps ce qui justifie le dimensionnement en fonction de la résistance ou la rigidité

lors la phase de conception. Un chargement dynamique de causes variables peut se traduire par des variations cycliques de contraintes. Malheureusement la ruine d'un nombre important de structures a été souvent observée et l'est encore aujourd'hui, elle peut, même parfois, être catastrophique en termes de pertes humaines. Il est à constater que les sollicitations dynamiques qui sont à l'origine de ces ruines sont beaucoup inférieures à la limite d'élasticité du matériau constituant la structure, c'est le phénomène de fatigue.

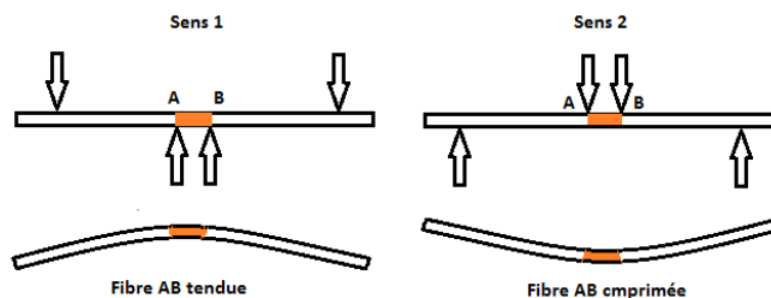
**a) C'est quoi la fatigue ?**

La fatigue est une forme de défaillance qui se produit dans des structures (ponts, aéronefs, pièces de machines...) subissant des contraintes dynamiques et variables. Elle est susceptible de se manifester même lorsque la contrainte est nettement inférieure à la résistance à la traction ou à la limite conventionnelle d'élasticité dans le cas d'une charge statique. Une telle défaillance porte le nom de fatigue parce qu'elle succède habituellement à une longue période de cycles de déformation et de contrainte. Pour comprendre ce phénomène prenons un fil d'acier entre deux mains en le coudant dans un sens et puis dans l'autre sens, en faisant cela plusieurs fois jusqu'à la rupture (Fig. 1).



**Figure I.1 :** Rupture d'un fil d'acier sous l'effet d'une flexion cyclique aux mains

Analysons le problème (Fig. 2) : On assimile le fil d'acier à une poutre sur laquelle sont appliqués les efforts des deux mains, dans le premier sens la fibre AB est tirée (sens 1) contrainte positive, lorsqu'on inverse le chargement (sens 2) la fibre AB est comprimée et la contrainte est négative. En répétant plusieurs fois jusqu'à la rupture.



**Figure I.2 :** Modélisation du chargement appliqué par les mains sur le fil d'acier

## 1- Exemples de rupture par fatigue



Figure 3. Détachement d'une partie d'une roue dentée

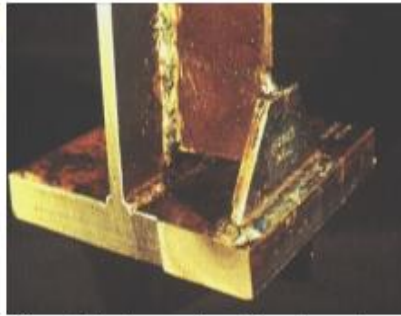


Figure 4. Rupture au niveau d'une charpente métallique



Figure 5. Fissuration d'un pont



Figure 6. Rupture d'un tirant



Figure 7. Rupture d'un arbre cannelé



Figure 8. Fissuration au niveau du mécanisme d'atterrissage d'un avion

### I.2. Mécanismes de fatigue

**Définition:** La **fatigue** est un processus qui, sous l'action de contraintes ou déformations cycliques, répétées ou alternées, modifie les propriétés locales d'un matériau et peut entraîner la formation de fissures et éventuellement la rupture de la structure. Les étapes principales de la fatigue sont :

#### a) Amorçage :

A cause de la grande finesse du défaut initié, sa détection n'est possible que si on utilise de puissants équipements de laboratoire. Son initiation peut avoir lieu dans des endroits où l'accès est impossible. Dans la figure (Fig. 3) la zone d'amorçage est repérée par zone 1.

#### b) Propagation :

Sous l'effet du changement cyclique du chargement la fissure initiée commence à prendre des dimensions importantes menant finalement à la ruine. A ce stade la fissure qui

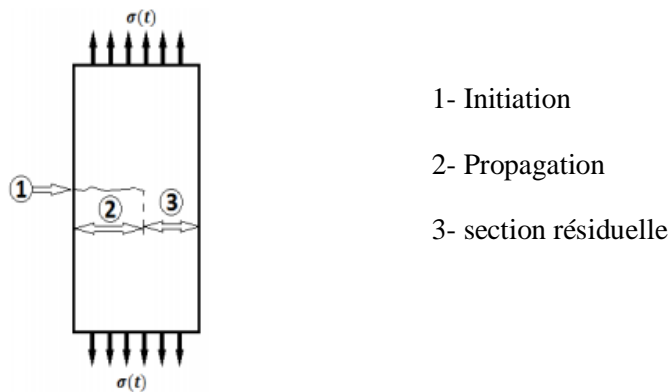
a grandit résultait de la propagation des microfissures causées par le défaut initié dans la première étape, c'est elle qui deviendra la fissure de la fatigue. Sur la figure (Fig. 3) ce stade correspond à la zone 2



**Figure I.3 :** (a): Faciès de rupture d'un arbre de transmission de voiture de .course. (b) : Faciès de fatigue d'un arbre épaulé sollicité en flexion plane alternée, A : zone d'amorçage, L: zone lisse de propagation des fissures; G: zone accidentée de rupture.

**c) Rupture brutale :**

Lorsque la fissure atteint une distance de telle façon que la section résiduelle est trop faible pour supporter de fortes contraintes résultant d'une concentration au fond de la fissure, sur la figure (Fig. 3) cette section correspond à la zone 3.



**Figure I.4:** La section résiduelle

**I.3. Types de sollicitations en fatigue**

**I.3.1. ollicitations axiales (Traction/Compression)**

Dans le système triangulaire ci-contre (Fig. 5) les barres AD, DE sont en compression, tandis que les barres AE et EB sont en traction.

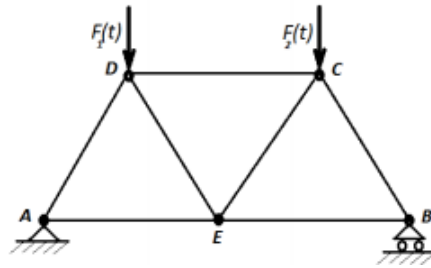


Figure I.5: Système en treillis

### I.3.2. Flexion

On distingue deux types de flexion :

- a) **Flexion ondulée** : Les contraintes de flexion sont de même signe durant les cycles de fatigue. Les figures (Fig. 6).

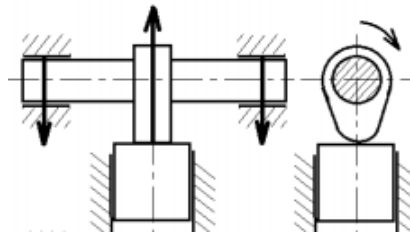


Figure I.6: Arbre à came

- b) **Flexion alternée**

Dans ce cas de sollicitation les contraintes sont opposées en signes durant les cycles effectués. Une poutre vibrant sous l'effet d'un chargement dynamique est en flexion alternée, la fibre supérieure tantôt tirée tantôt comprimée.

- c) **Flexion rotative**

Si on assimile la structure, soumise à une flexion rotative, à une poutre tournante par rapport à la direction de la charge (Fig. 7) la fibre A se trouve tantôt comprimée tantôt tendue. Ce cas de flexion correspond au type purement alternée c.à.d. les contraintes de flexion sont égales mais opposées durant les cycles effectués (Fig. 8) .

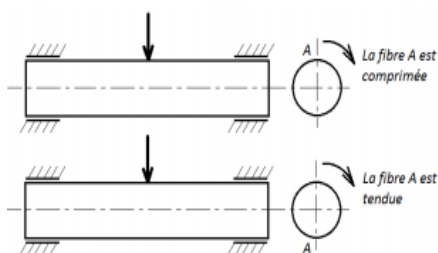


Figure I.7: Flexion rotative

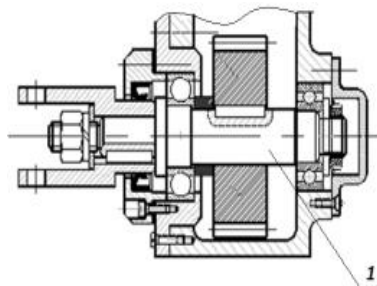


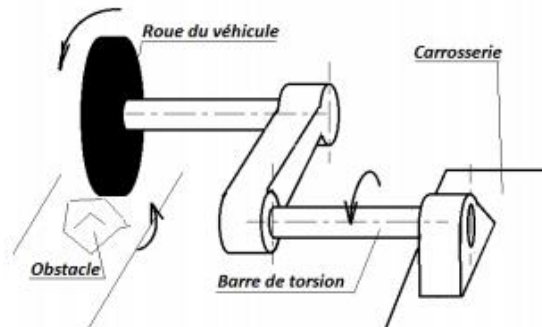
Figure I.8: Arbre en flexion rotative



**I.3.3. Torsion:** Cette sollicitation est analogue à la flexion en effet on distingue :

**a) Torsion ondulée**

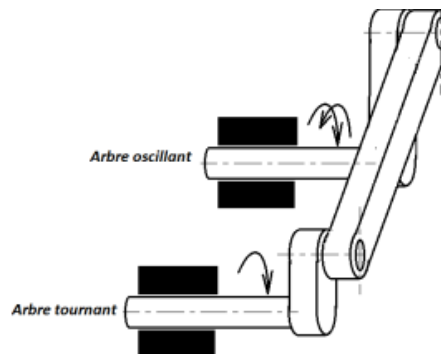
Les contraintes tangentielles sont de même signes. Comme exemple on peut citer la barre de torsion de suspension arrière d'un véhicule (illustrée par la figure (Fig. 9))



**Figure I.9:** Barre de torsion d'un véhicule

**b) Torsion alternative**

Les contraintes tangentielles sont de signes opposées. Dans la figure (Fig. 10) l'arbre tournant est en rotation continue et l'arbre oscillant est en rotation alternative, ce dernier est soumis à une torsion alternative.



**Figure I.10:** Mécanisme oscillant

**I.3.4. Sollicitation combinée**

La sollicitation peut être la combinaison de traction, torsion ou de flexion. L'arbre 1 du réducteur de la figure (Fig. 8) est soumis à une flexion rotative et une torsion.

**a) Fatigue en contact**

Au moment du contact le corps 1 exerce une pression de contact sur le corps 2 cela engendrera des contraintes maximales de cisaillement sous la surface de contact (Fig. 11). Une pression répétée pourrait entraîner une fissuration et une détérioration de la zone de contact c'est la fatigue de

contact. Ce phénomène est très rencontré surtout dans les roulements, les engrenages et les chemins de fer. (Fig. 12)

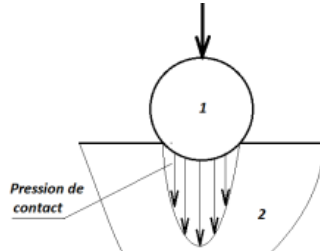


Figure I.11: Contact de deux corps



Figure I.12: Détérioration d'une bague de roulement

## I.4. Différents approches en fatigue

### I.4. 1. Approche en durée de vie

La vérification traditionnelle de la tenue des structures en fatigue au seuil de l'endurance (même en utilisant des critères d'endurance multiaxiaux) ne suffit plus aujourd'hui. En effet, dans un contexte de forte compétition économique, les industriels cherchent à optimiser leurs solutions pour assurer la durée de vie ou le coefficient de sécurité escomptés de leurs composants. Ces derniers ne sont donc plus dimensionnés au-delà de ce qui est strictement nécessaire et inscrit au cahier des charges. Dans un contexte de dimensionnement en fatigue, la plupart des structures mécaniques sont confrontées au problème de fatigue à grand nombre de cycles, et plus précisément de l'endurance limitée (on parle de durée de vie finie). Une autre exigence s'impose : comme les industriels se trouvent devant des composants de plus en plus complexes subissant de chargements complexes, ils recherchent un modèle de prédiction de durée de vie de leurs composants qui traite presque tous les cas de charges possibles. La résistance d'une pièce de structure à la fatigue dépend du matériau, de la forme et de l'état de la surface de la pièce, de son mode de sollicitation et des conditions d'environnement (température, milieu ambiant plus au moins corrosif...). Cette résistance se caractérise par la durée de vie de la pièce, ou du nombre des cycles qu'elle peut supporter jusqu'à sa défaillance. La durée de vie d'une structure soumise à la fatigue est d'autant plus courte que le niveau de sollicitation appliquée est élevé. Inversement un niveau de sollicitation suffisamment faible. On appelle endurance l'aptitude d'un matériau ou d'une structure à résister à la fatigue. La conception d'une structure en fatigue se fait suivant deux approches différentes :

- Selon que l'on souhaite pour celle-ci une durée de vie infinie (ou illimitée)

- Selon que l'on souhaite pour celle-ci une durée de vie finie (ou limitée)

Concevoir une structure de vie infinie peut signifier deux choses :

- Aucun amorçage de fissure ne doit apparaître dans la structure en service
- Ou bien, s'il existe des défauts ou des microfissures dans la structure, ceux-ci ne doivent en aucun cas se propager.

#### **I.4.2 Approche en tolérance aux dommages**

Dans la conception d'une structure de durée de vie finie donnée, l'amorçage ou la présence de fissures et leur propagation sont acceptables, pourvu que l'état d'endommagement de la structure susceptible d'être atteint en fin de durée de vie ne présente aucun risque de défaillance de la structure vis-à-vis des performances attendues en service (notion de tolérance au dommage) une telle approche nécessite un suivi des défauts par des contrôles non destructifs adaptés

## II.1. Durée de vie en Fatigue

### II.1.2. Comportement en fatigue des matériaux

On appelle durée de vie ou endurance en fatigue, le nombre de cycles de contrainte  $N$  nécessaire pour que l'éprouvette ou la pièce se rompe pour un cycle de contraintes ( $\sigma_m$ ,  $\sigma_a$ ). Ces valeurs peuvent être déterminées à l'aide de méthodes statistiques.

Pour de manière facilement utilisable les résultats d'essais de fatigue, il existe un assez grand nombre de méthode ou arrangements possibles des paramètres utilisés en fatigue:

- temps : sous la forme d'un nombre de cycles  $N$ ;
- contraintes:
  - statiques ( $R_e$ ,  $R_m$ )
  - dynamiques ( $\sigma_m$ ,  $\sigma_a$ ,  $\sigma_{max}$ ,  $R\sigma$ ,  $\sigma_D$  (N))

### II.1.3. Courbe de Wöhler

Cette courbe est appelée S-N (Stresses- Number of cycles) universellement connue la courbe la plus ancienne et qui permette de visualiser la tenue de la pièce ou des matériaux dans tout le domaine de fatigue. Elle définit une relation entre la contrainte appliquée et le nombre de cycles à rupture  $N_R$ . Pour la tracer, on réalise généralement des essais simples, qui consistent à soumettre chaque éprouvette à des cycles d'efforts périodiques, d'amplitude de chargement constante fluctuant autour d'une valeur moyenne fixée, et de noter le nombre de cycles à rupture  $N_R$ . La courbe S-N peut faire apparaître l'existence d'une « limite d'endurance », définie comme niveau de contrainte sous lequel un matériau résistera aux contraintes cycliques « indéfiniment » sans rompre. Évidemment, la connaissance d'un tel niveau de contrainte est importante pour un ingénieur puisqu'il lui donne une contrainte de référence réaliste sur lequel il peut baser sa conception. Cependant, pour beaucoup de matériaux, une telle limite n'est pas trouvée dans le temps pratique de l'expérience. Dans ces cas, le concepteur doit se référer directement à la courbe S-N pour la contrainte appropriée qui correspond à la vie attendue de ce qu'il conçoit. Par contre, dans certains cas, par exemple lorsqu'il y a simultanément fatigue et corrosion, il ne semble pas y avoir d'asymptote horizontale. On définit alors une limite conventionnelle d'endurance comme la valeur de la contrainte qui ne conduit pas à la rupture avant un nombre de cycles fixé (par exemple  $10^7$  cycles). La notion de limite d'endurance est relative et sa définition dépend du problème traité.

$N$ =Nombre de cycles à rupture

$R_m$  = Résistance à la traction

$\sigma_D$  = (D pour **damage=dommage**): Limite de fatigue, en dessous de laquelle la probabilité de rupture est quasi-nulle. Une courbe S-N représente la durée de vie en fatigue caractérisée par trois ou quatre régimes]. On y distingue:

**I.** Le régime de la fatigue oligo-cyclique (oligo = petite quantité) ou à faible nombre de cycles (Low Cycle Fatigue - **LCF**) pour lequel la rupture de l'éprouvette a lieu à un nombre de cycles inférieur à  $10^4$  -  $10^5$  cycles. Les amplitudes de contrainte sont autour de la limite d'élasticité macroscopique du matériau.

**II.** Le régime de la fatigue à grand nombre de cycles (High Cycle Fatigue – **HCF**) pour lequel la rupture de l'éprouvette a lieu à un nombre de cycles compris entre à  $10^5$  et  $10^7$ . Les amplitudes de contrainte sont environ deux fois inférieures à la **limite d'élasticité** macroscopique du matériau. La courbe S-N tend vers une asymptote horizontale représentant la limite d'endurance du matériau. Cette asymptote est plus ou bien marquée selon les matériaux et on définit également une limite de fatigue conventionnelle qui correspond à la résistance à la fatigue du matériau à  $10^7$  cycles. En dessous de la limite d'endurance ou de la limite de fatigue conventionnelle, la durée de vie du matériau est supposée être infinie. Ces limites servent donc pour dimensionner en fatigue les pièces mécaniques.

**III.** Le régime de la fatigue à très grand nombre de cycles (Very High Cycle Fatigue – **VHCF** ou Ultra High Cycle Fatigue), encore appelé fatigue **gigacyclique**. Les amplitudes de contrainte sont inférieures à la limite de fatigue conventionnelle. Néanmoins, le matériau se rompt après un nombre de cycles supérieur à  $10^7$  cycles.

**IV.** La question de l'existence d'une limite de fatigue reste aujourd'hui une question ouverte.

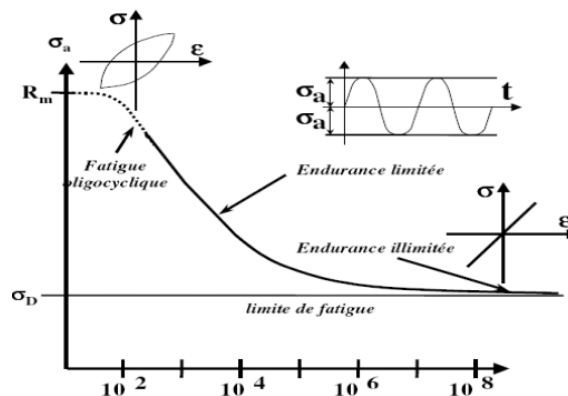


Figure II.1 : -Courbe de Wöhler (courbe S-N)

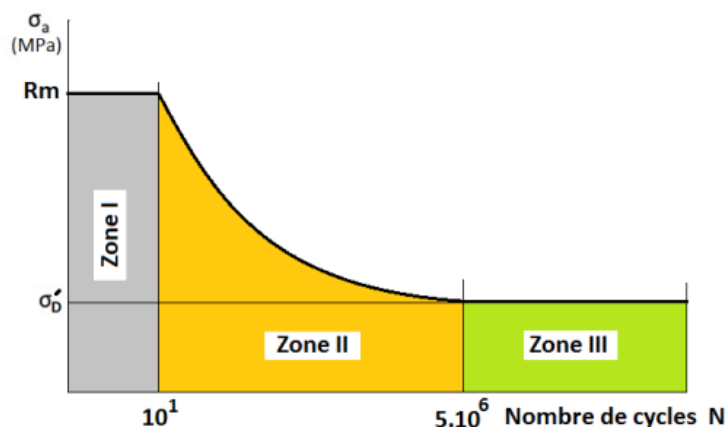
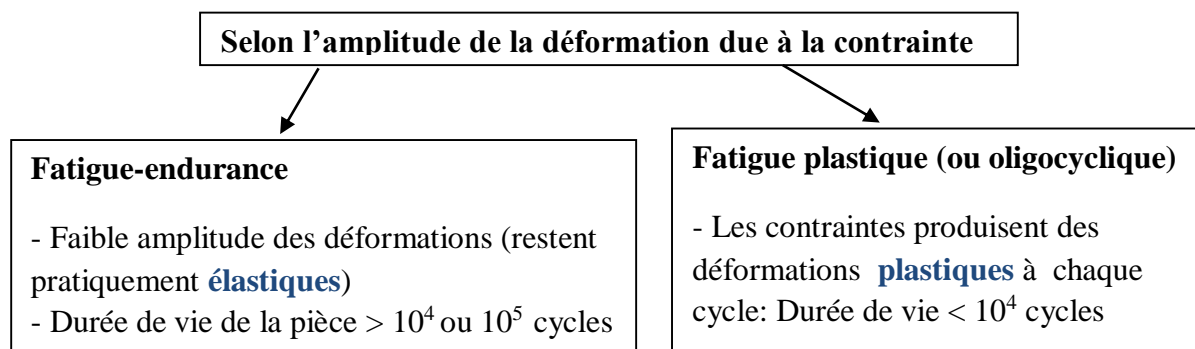


Figure II.2 : Partitionnement de la courbe de Wöhler

- a) **Fatigue oligocyclique (Zone I)**: La contrainte  $\sigma_a$  est à la valeur de  $R_m$ , on observe la rupture des éprouvettes après quelques cycles (de 1 jusqu'à 10 cycles).
- b) **Fatigue à vie finie (Zone II)**: Cette zone s'étale sur une étendue de  $10^1$  à  $5 \cdot 10^6$  cycles correspondant à une fourchette de contraintes  $\sigma_D < \sigma_a < R_m$  toutes les éprouvettes rompent après un nombre de cycles pour chacune c'est la vie finie de l'éprouvette.
- c) **Vie infinie (Zone III)**: Au dessous d'un seuil  $\sigma_a \leq \sigma_D$  les éprouvettes ne rompent plus c'est la vie infinie, le seuil de contrainte  $\sigma_D$  est appelée **limite d'endurance**.

#### II.1.4. Diagramme d'endurance



#### II.1.5. Exemples de courbe Wöhler

##### II.1.5.1. Valeurs approximatives de la limite d'endurance

Précédemment on a effectué une approximation linéaire à la courbe expérimentale de fatigue, parmi les caractéristiques importantes déduites de la courbe il y a la limite d'endurance expérimentale  $\sigma'_D$ . Vu le coût des essais de fatigue, la diversité et l'aspect statistique des valeurs de cette caractéristique, on a intérêt à trouver des approximations à ses valeurs en fonction de l'une des caractéristiques mécaniques conventionnelles, soit la résistance mécanique  $R_m$ . Dans cette partie on continue avec l'approximation mais cette fois-ci avec la limite d'endurance.

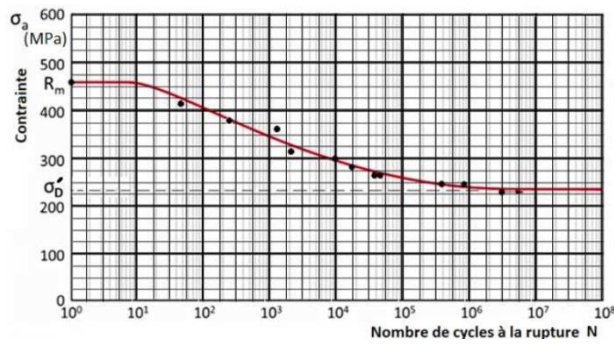


Figure II.3 : Courbe de Wöhler de l'acier

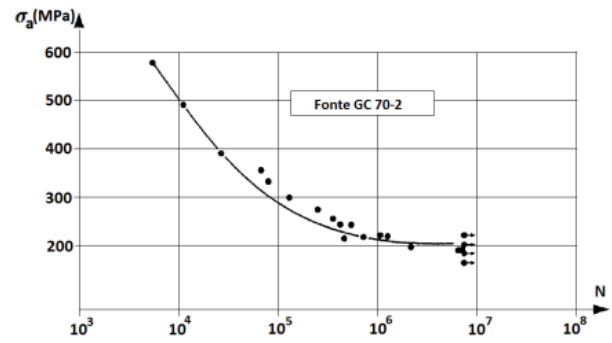


Figure II.4 : Courbe de fatigue de la fonte

### II.1.5.2. Valeurs de $R_m$ et $\sigma'_D$ de quelques matériaux connus:

Ces valeurs sont données selon les normes américaines

Matériaux	Résistance mécanique $R_m$ (MPa)	Limite d'endurance $\sigma'_D$ (MPa)
Alliages ferreux		
ASTM 1010, normalisé	364	186
ASTM 1025, normalisé	441	182
ASTM 1035, normalisé	539	238
ASTM 1045, normalisé	630	273
ASTM 1060, normalisé	735	315
ASTM 1060, trempé (huile)	1295	574
ASTM 3325, trempé (huile)	854	469
ASTM 4340, trempé (huile)	952	512
ASTM 8640, trempé (huile)	875	476
ASTM 9314, trempé (huile)	812	476
ASTM, 302, recuit	560	238
ASTM, 316, recuit	560	245
ASTM 431, trempé et revenu	798	336
ASTM 20, fonte grise	140	70
ASTM 30, fonte grise	210	102
ASTM 60, fonte grise	420	168
Alliages d'aluminium		
AA 2011-T8	413	245
AA 2024, recuit	189	91
AA 6061-T6	315	98
AA 6063-T6	245	70
AA 7075-T6	581	161
AA 214, coulé	175	49
AA 380, coulé sous pression	336	140
Bronzes		
Bronzes au phosphore recuit	315	189
Bronzes au phosphore écroui	602	217
Bronzes à l'aluminium ¼ dur	581	206

### II.1.5.3. Quelques valeurs approximatives de la limite d'endurance

- **Aciers :**  
 $\sigma'_D \approx 0.5R_m$  si  $R_m \leq 1400$  Mpa  
 $\sigma'_D \approx 700$  Mpa si  $R_m > 1400$  Mpa
- **Fontes et aciers coulés**  
 $\sigma'_D \approx 0.4R_m$
- **Alliages aluminium-magnésium**  
 $\sigma'_D \approx 0.4R_m$  Alliages forgés ou laminés  
 $\sigma'_D \approx 0.3R_m$  Alliages coulés
- **Traction/compression**  
 $\sigma'_D \approx 0.8R_m$
- **Torsion**  
 $\tau'_D \approx 0.6R_m$  pour les aciers  
 $0.8R_m < \tau'_D < R_m$  pour les fontes

### II.1.6. Termes et symboles relatifs aux essais de fatigue

#### a) Limite de fatigue

C'est pour une contrainte moyenne  $\sigma_m$  donnée, la plus grande amplitude de contrainte pour laquelle il n'est pas observé de rupture après un nombre infini de cycles. Dans le cas particulier des aciers, il est expérimentalement constaté que ce nombre infini peut être ramené à  $10^7$  cycles. En revanche, pour les aciers en présence de corrosion et pour certains alliages d'aluminium, de cuivre ou de titane, cette limite de fatigue reste théorique et sans intérêt puisque tous les mécanismes ont durée de vie limitée par suite de l'usure. La corrosion ou d'autres causes inhérentes à leur service même; on est donc conduit à utiliser une autre grandeur appelée limite d'endurance.

#### b) Limite d'endurance

C'est pour une contrainte moyenne  $\sigma_m$  donnée, l'amplitude de contrainte pour laquelle il est constaté 50 % de rupture après un nombre fini  $N$  de cycles. Cette valeur peut être déterminée à l'aide de méthodes statistiques. Cette limite d'endurance est notée  $\sigma'_D(N)$  ou  $\tau'_D(N)$ .

#### c) Rapport d'endurance

Dans la pratique, il est parfois intéressant de rapporter la limite d'endurance à la charge de rupture à la traction du matériau essayé en fatigue. On définit ainsi le rapport d'endurance  $R$ : avec,  $R = \sigma'_D(N) / R_m$



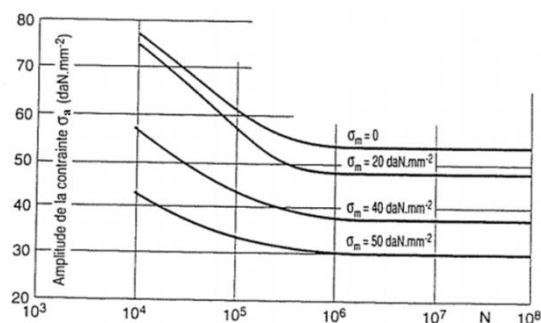


Figure II.5 : Courbe de Wöhler en fonction de l'amplitude de contrainte

Pour certains matériaux, il est difficile d'évaluer la limite de fatigue  $\sigma_D$ , on introduit la notion de limite de fatigue conventionnelle  $\sigma_D(N)$  (ou limite d'endurance). Il s'agit de la plus grande amplitude de la contrainte pour laquelle on constate 50 % de rupture après  $N$  cycles de la sollicitation. Selon le cas  $N$  varie entre  $10^6$  à  $10^9$  cycles (> supérieur à la durée de vie envisagée pour la pièce)

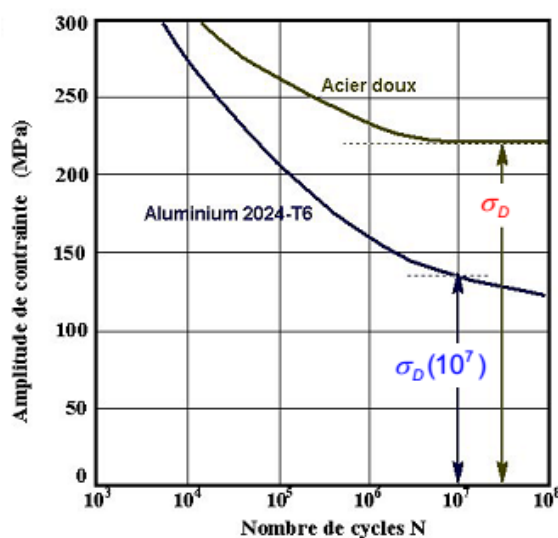


Figure II.6 : Courbe de Wohller pour des matériaux différents.

### II.1.7.Équation de la courbe de Wöhler

Le domaine (zone 2) de la fatigue habituellement considéré, où la rupture apparaît après un nombre limité de cycles (compris entre  $10^4$  et  $10^7$ ), sans être accompagnée d'une déformation plastique d'ensemble mesurable. Le nombre de cycles à rupture  $N_R$  croît quand l'amplitude de la contrainte cyclique  $\sigma_a$  décroît. Parmi les nombreuses expressions empiriques proposées pour relier  $N_R$  à  $\sigma_a$  pour des contraintes  $\sigma_a > \sigma'_D$ , on peut citer celles de **Basquin**, **Strohmeyer**, **Palmgreen**, **Corson**...

**Formule de Strohmeier :**

$$\sigma_a = \sigma_D + \frac{(A)^C}{(N)}$$

**Formule de Palmgreen :** avec A, B, C sont des constantes

$$\sigma_a = \sigma_D + \frac{(A)^C}{(N+B)}$$

**Formule de Corson :**

$$N = \frac{A \exp(-C(\sigma_a - \sigma_D))}{\sigma_a - \sigma_D}$$

**II.2. Comportement en fatigue de structures non fissurées****II.2.1. Contrainte moyenne nulle ( $\sigma_m = 0$ )**

Le régime de la fatigue à grand nombre de cycles (High Cycle Fatigue – HCF)

Où les valeurs de  $\sigma_{\max}$  et  $\sigma_{\min}$  ne sont pas supérieur à la contrainte élastique.

A partir du diagramme de Wöhler, nous obtenons d'autres expressions analytiques de courbes  $\sigma_a - N_R$  :

**A) L'expression de Basquin :**

$$\sigma_a = \sigma'_f (2N_R)^b$$

$$A = 2^b \sigma'_R \quad \text{avec } b=B, \quad A, B \text{ sont des constantes}$$

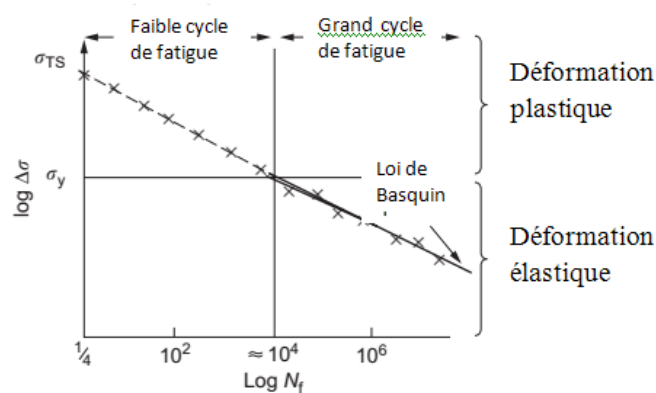
$$\sigma_a = AN_R^B$$

avec  $\sigma_a$  : Amplitude de contrainte appliquée en fatigue

$\sigma'_f$  : Résistance en fatigue

b : Exposant de la loi de **Basquin**

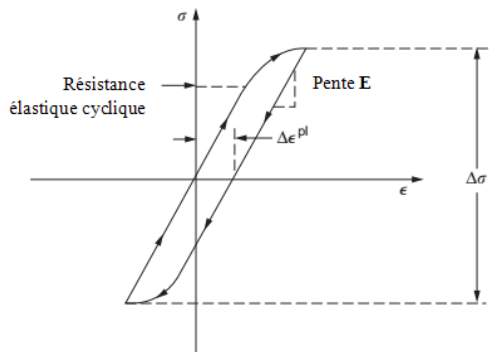
$N_R$  : représente le nombre de cycles après rupture



**Figure II.7 :** Initiation contrôlée du HCF

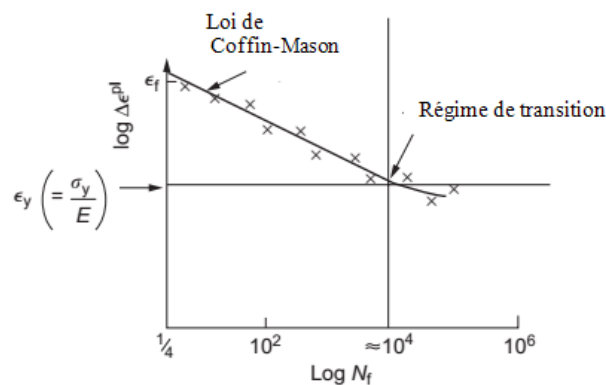
Le régime de faible nombre de cycles (Low Cycle Fatigue – **LCF**, où les valeurs de  $\sigma_{\max}$  ou  $\sigma_{\min}$  sont au dessus de la contrainte élastique. Le résultat est connu comme étant la loi de **Coffin- Manson** représenté comme suit :

$$\Delta \epsilon^{pl} N_R^b = C_2 \quad \text{Tel que : } b \text{ est une constante de } 0.5 - 0.6 ; C_2 : \text{ constante}$$



- étendue de variation de la déformation :  
 $\Delta \epsilon = \epsilon_{\max} - \epsilon_{\min}$
- amplitude de déformation :  
 $\epsilon_a = 1/2 (\epsilon_{\max} - \epsilon_{\min}) = \Delta \epsilon / 2$
- déformation moyenne :  
 $\epsilon_{\text{moy}} = 1/2 (\epsilon_{\max} + \epsilon_{\min})$
- rapport de déformation :  $R_\epsilon = \epsilon_{\min} / \epsilon_{\max}$

**Figure II.8 :** Game de déformation plastique dans LCF



**Figure II.9 :** Initiation contrôlée du LCF de la loi Coffin–Manson

### II.2.2. Dispersion des résultats

Les essais de fatigue présentent une dispersion importante, c'est-à-dire qu'il y a rupture, pour un même niveau de charge, à un nombre de cycles variable selon les éprouvettes, en raison :

- du matériau (inclusions, hétérogénéités de structure...)
- des éprouvettes (état de surface variable, tolérance dimensionnelles)
- des conditions d'essai (centrage des éprouvettes, fréquence des cycles, effets d'environnement...)

La courbe de Wöhler est donc définie théoriquement comme une courbe moyenne à 50 % de rupture. Une étude statistique des résultats permet alors de définir la courbe moyenne ainsi que des courbes correspondant à une probabilité de tenue en service déterminée.

### 16.1 Aspects statistiques

L'analyse statistique de la fatigue permet d'estimer les paramètres de la courbe de réponse  $\mu$ , amplitude de la contrainte pour laquelle la probabilité de rupture est de 0,5 et  $s$  l'écart-type de la dispersion en contrainte. En déterminant ces courbes pour un nombre de cycles variables, il est possible de définir la courbe d'équiprobabilité de rupture en fonction du nombre de cycles.

Les essais de fatigue conduisent généralement à une dispersion importante des résultats. Ceci est dû au phénomène de fatigue lui-même. L'endurance  $N$  a été définie comme le nombre de cycles pour lequel on obtient 50 % de rupture. La figure ci-dessous montre le tracé d'une courbe de Wöhler à partir d'essais à plusieurs niveaux de contrainte. Une étude statistique des résultats permet alors de définir la courbe moyenne ainsi que des courbes correspondant à une probabilité de tenue en service déterminée. Le tracé d'une courbe de Wöhler probabiliste nécessite environ 25 à 30 éprouvette.

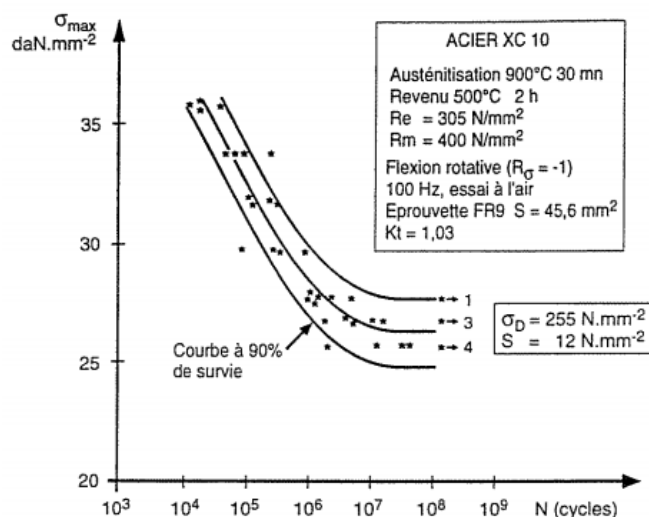
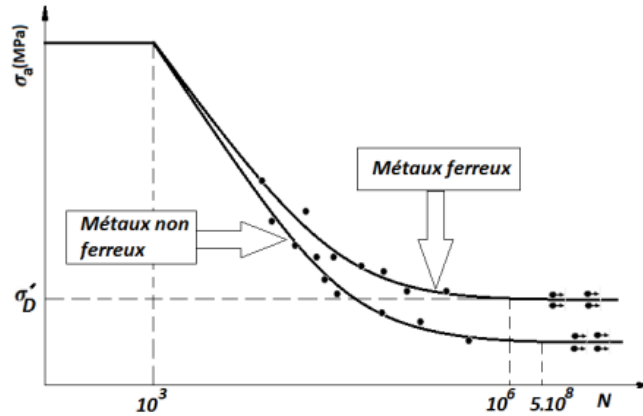


Figure II.10 : Approximation de la courbe de Wöhler

### II.2.3. Approximation analytique de la courbe de Wöhler

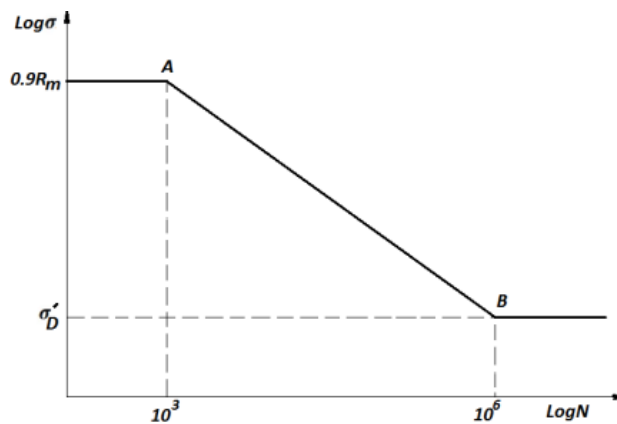
Les résultats des essais de fatigue illustrés par la courbe de Wöhler ont un aspect statistique, pour permettre une exploitation de la courbe dans l'engineering on procède à

une approximation linéaire de la courbe. Par comparaison les courbes de Wöhler des alliages ferreux et non ferreux possèdent les limites pouvant être représentées par la figure suivante :



**Figure II.11:** Comportement au fatigue des métaux ferreux et non ferreux

En approximant linéairement la partie de la courbe ( $10^3 < N < 10^6$ ) et en utilisant l'échelle logarithmique on aura :



**Figure II.12:** approxinant linéairement de la courbe de Wöhler

Les coordonnées des points A et B sont respectivement: ( $10^3, 0.9R_m$ ) et ( $10^6, \sigma'_D$ ): La droite (AB) aura pour équation :

$$\text{Log}\sigma = \text{Log}a \cdot \text{Log}N + \text{Log}b \quad (1)$$

Où Log représente le logarithme décimal et  $a$  et  $b$  sont positifs non nuls. L'équation (1) peut s'écrire :  $\text{Log}\sigma = \text{Log}a^{\text{Log}N} + \text{Log}b = \text{Log}(b \cdot a^{\text{Log}N})$

$$\text{D'où : } \sigma = b \cdot a^{\text{Log}N} \quad (2)$$

Pour déterminer les constantes  $a$  et  $b$  de l'équation (2) on applique les conditions aux limites aux points  $A$  et  $B$  :

$$\sigma = 0.9R_m \left( \frac{\sigma'_D}{0.9R_m} \right)^{\frac{1}{3}(\log N - 1)}$$

$$\text{Cela donne : } \begin{cases} \sigma'_D = ba^6 \\ 0.9R_m = ba^3 \end{cases}$$

$$a = \left( \frac{\sigma'_D}{0.9R_m} \right)^{\frac{1}{3}} \quad , \quad b = 0.9R_m \frac{R_m}{\sigma'_D} \quad (3)$$

$$\text{Remplaçons dans (2) : } \sigma = 0.9R_m \frac{\sigma'_D}{R_m} \left( \frac{\sigma'_D}{R_m} \right)^{\frac{1}{3} \log N}$$

$$\text{Par simplification (3) s'écrira : } \sigma = 0.9R_m \left( \frac{\sigma'_D}{0.9R_m} \right)^{\frac{1}{3}(\log N - 1)}$$

$$\text{Ou autrement : } \sigma = 0.9R_m \left( \frac{\sigma'_D}{0.9R_m} \right)^{\frac{1}{3}(\log N - 3)} \quad (4)$$

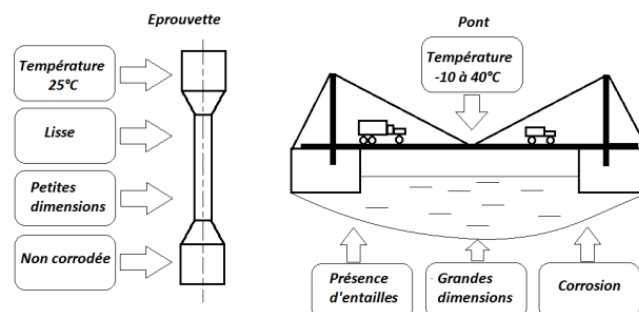
L'expression (4) permet de connaître le niveau de contrainte lorsque le nombre de cycles  $N$  est connu. En écrivant l'expression (4) inversement c.à.d.  $N = f(\sigma)$  on

$$\text{obtiendra : } N = 1000 \left[ \frac{0.9R_m}{\sigma} \right]^{\frac{3}{\log \left[ \frac{0.9R_m}{\sigma'_D} \right]}} \quad (5)$$

L'expression (5) permet de connaître le nombre de cycles  $N$  lorsque le niveau de contrainte est connu

### II.3. Facteurs influençant sur la tenue en fatigue

La valeur expérimentale de la limite d'endurance  $\sigma'_D$  est obtenue dépend de l'éprouvette utilisée car celle-ci a été bien préparée du point de vue de géométrie de dimensions, d'état de surface, absence de défauts et des conditions de l'essai. Or le cas d'une structure en service diffère complètement de celui de l'éprouvette en effet on distingue la finition, la grosseur, la température, et d'autres facteurs qui seront pris en considération .



### II.3.1. Facteurs influençant la limite d'endurance expérimentale

#### A) Corrosion

La corrosion est un facteur important, même en absence des chargements dynamiques, accompagnée par l'effet des sollicitations statiques peut causer une fissuration dans la structure. C'est ce qu'on appelle corrosion sous contrainte. Dans le cas de chargements dynamiques la corrosion entraîne une apparition de piqûres qui constituent un milieu favorable à l'effet d'entaille, progressivement s'amorçant et provoquant ainsi une rupture brutale. Donc la résistance à la fatigue  $\sigma'_D$  corrodée d'une pièce corrodée est inférieure à celle d'une pièce non corrodée  $\sigma'_D$  non corrodée. L'effet de la corrosion sur la structure peut être pris en compte par un facteur de divers  $K_f$ .

#### B) Fréquence du chargement dynamique

Selon des études réalisées au dessous de 200 Hertz la fréquence du chargement dynamique n'a aucun effet sur la limite d'endurance  $\sigma'_D$ . L'effet est inverse dans le cas où la fréquence atteint des valeurs importantes, on observe une amélioration de  $\sigma'_D$ . Donc l'effet de fréquence ne sera pas pris en considération tant qu'elle n'a pas d'effet négatif sur  $\sigma'_D$ .

#### C) Rugosité (état de surface)

Généralement le défaut s'initie depuis la surface extérieure de la pièce, plus la surface est rugueuse plus les crêtes sont importantes et plus l'effet d'entaille est intense. Pour cela il faut considérer l'état de surface de la pièce en adoptant le facteur fini de surface  $K_a$  :

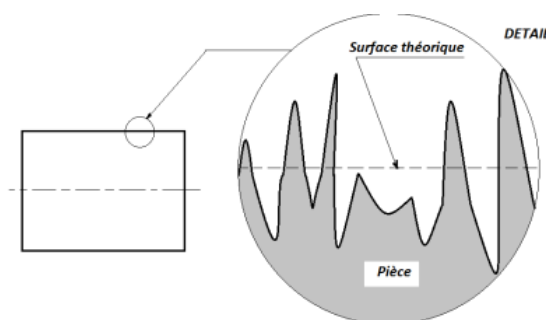


Figure II.13: État de surface réel

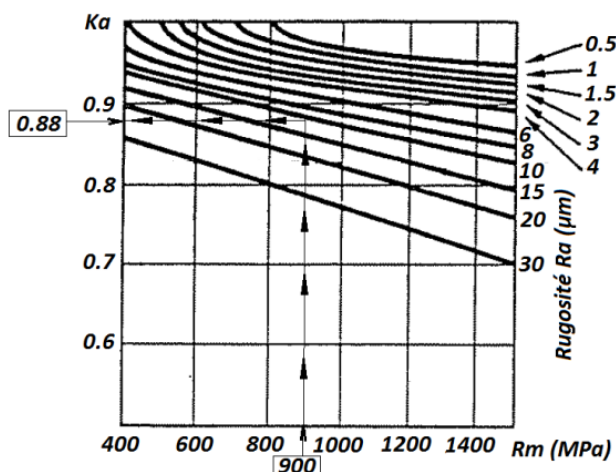


Figure II. 14: Abaque pour déterminer le facteur  $K_a$  pour les aciers

$$K_a = \frac{\sigma'_{Ds}}{\sigma'_D} \begin{cases} \sigma'_{Ds} : \text{limite d'endurance de la structure} \\ \sigma'_D : \text{limite d'endurance de l'éprouvette à rugosité référence} \end{cases}$$

Il est pratique d'utiliser des abaques pour déterminer  $K_a$ , pour l'exploiter il faut se disposer des valeurs de la rugosité et la résistance  $R_m$ . L'exemple utilisé : Une pièce en acier ( $R_m = 900$  MPa) avec une rugosité  $R_a = 11 \mu m$  on obtient :  $K_a \approx 0.88$

#### D) Effet de grosseur

Statistiquement plus les dimensions de la structure sont importantes plus sont probables les défauts et moins est sa résistance à la fatigue. Pour ce fait on adopte le facteur de grosseur  $K_b$  qui peut être déterminé par :

$$K_b = \begin{cases} 1 & \text{si } d \leq 7.6 \text{ mm} \\ 0.85 & \text{si } 7.6 \leq d \leq 50 \text{ mm} \\ 0.75 & \text{si } d \geq 50 \text{ mm} \end{cases}, \text{ d: signifie la dimension caractéristique de la structure.}$$

#### E) Fiabilité

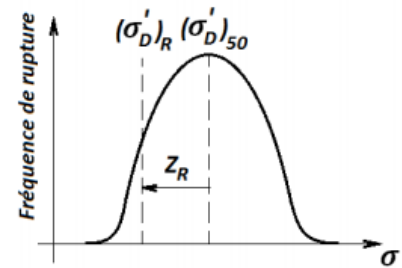
On entend par la fiabilité, la probabilité que la structure soit en service pour une durée de vie déterminée. Rappelons que la fatigue admet un aspect statistique ce qui justifie la considération de la fiabilité. On introduit donc le facteur  $K_c$ .

- Fiabilité = 50% correspond à  $K_c = 1$
- Fiabilité est au voisinage de 100% pour des valeurs de  $d$  basses (voisinage de 0.5)

Si Fiabilité augmente  $K_c$  diminue (Voir tableau ci-dessous)



Fiabilité	Variable normalisée $Z_R$	Facteur de fiabilité
0,50	0,000	1,000
0,90	1,288	0,897
0,95	1,645	0,868
0,99	2,326	0,814
0,999	3,091	0,753
0,9999	3,719	0,702
0,99999	4,265	0,659
0,999999	4,753	0,620
0,9999999	5,199	0,584
0,99999999	5,612	0,551
0,999999999	5,997	0,520



$(\sigma'_D)_{50}$ ;  $\sigma'_D$  lorsque la fiabilité = 50 %

## F) Température

De nombreuses études montrent que le rapport  $\sigma'_D/R_m$  en général ne varie pas c.à.d. que la limite d'endurance est s'affecte aussi que la limite de la résistance à la rupture  $R_m$ . Considérant la variation de la température la limite  $R_m$  augmente quand la température est basse d'où une augmentation de la limite  $\sigma'_D$ . De l'autre côté un accroissement considérable de température entraînerait une chute de la valeur de la limite  $R_m$ .

Pour le cas aciers usuels on admet qu'au dessous de 150 °C il n'y aucun effet de température sur la limite  $\sigma'_D$ . On adopte qui le facteur tient en compte de la température et qu'on note  $K_d$ .

$$K_d = \begin{cases} \frac{344}{273+T} & \text{si } T > 71 \text{ °C} \\ 1 & \text{si } T \leq 71 \text{ °C} \end{cases}$$

## G) Concentration de contraintes (effet d'entaille)

Lorsque la section d'une pièce soumise à une sollicitation ne présente pas d'entaille la distribution de contraintes est régulière alors que dans la présence d'entaille provoque un déséquilibre dans la distribution des contraintes engendrant une concentration de celles-ci dans le fond de l'entaille. La figure ci-dessous présente une pièce soumise à une traction simple, la distribution des contraintes est uniforme est uniforme  $\sigma_{nom}=F/S$  à chaque section mais au fond de l'entaille on observe une hausse de contrainte atteignant la valeur  $\sigma_{max}$

Le rapport  $K_t = \sigma_{max} / \sigma_{nom}$  est appelé facteur théorique de concentration de contraintes. Pour déterminer  $K_t$  on utilise des abaques .

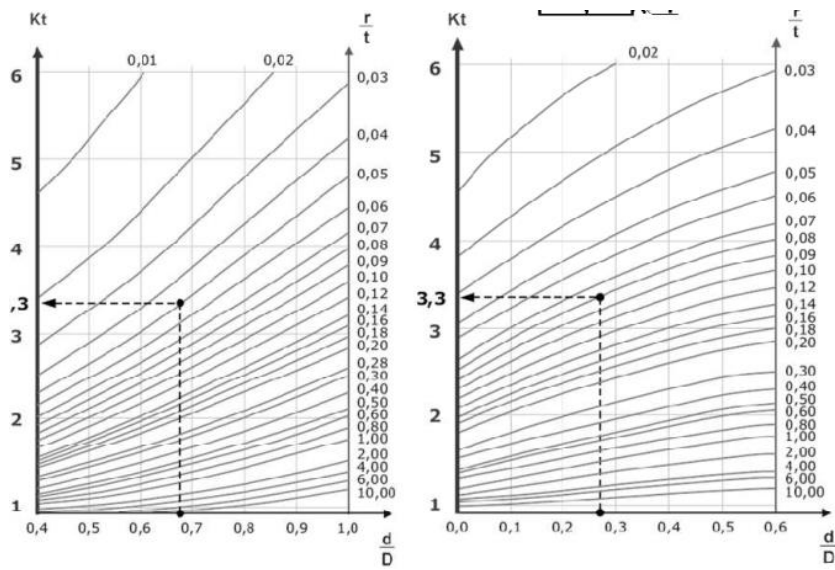
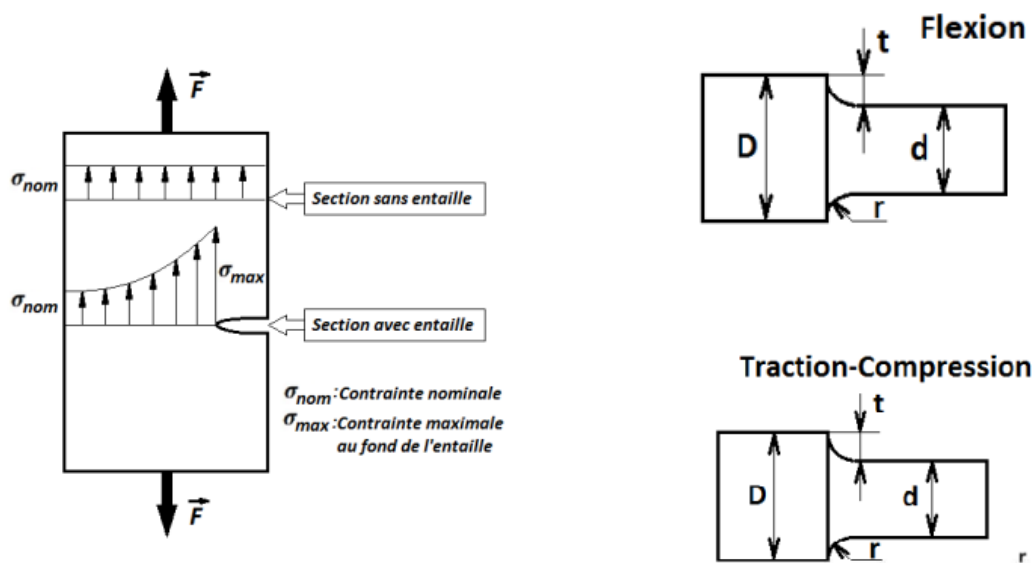


Figure II.15: (a) :Abaque de  $K_t$  (Flexion), (b) :Abaque de  $K_t$  (Traction/Compression)

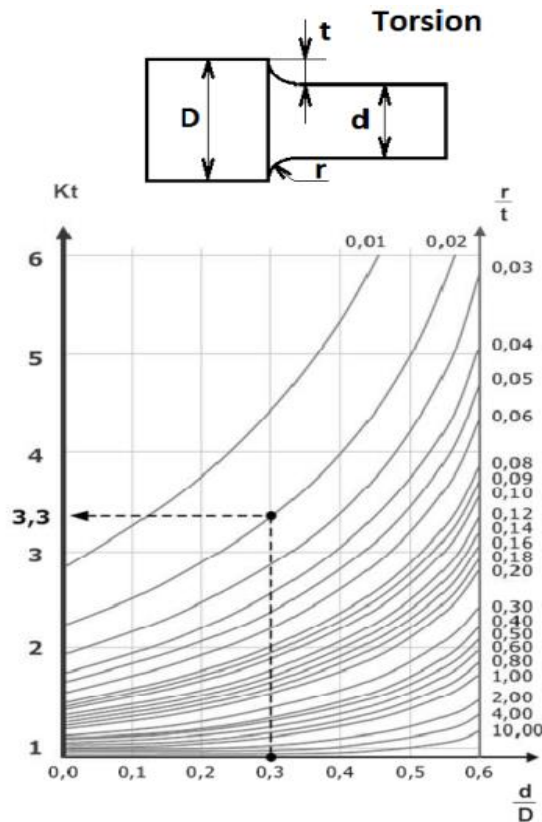


Figure II.16: Abaque de  $K_t$  (Torsion)

• Exemple

On peut également utiliser l'abaque suivant pour déterminer  $K'_f$  d'un arbre ayant un épaulement pour lequel on a déterminé  $K_t = 3$ , l'arbre est fabriqué d'un acier  $R_m = 700$  MPa en joignant les droites avec l'abaque  $K'_f = 3 K_t$  on obtiendra  $K'_f / K_t = 0.67$ , d'où  $K'_f = 3 * 0.67 = 2.01$

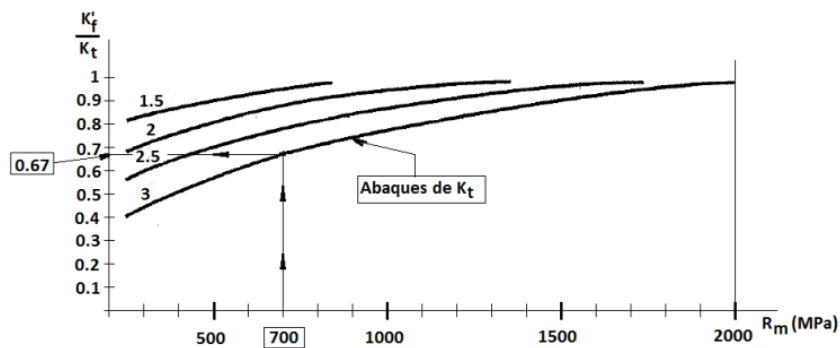


Figure II.17: Abaques pour déterminer le facteur de concentration de contraintes en fatigue  $K'_f$

On définit le facteur de concentration de contraintes en fatigue

$$K'_f = \frac{\sigma'_{D \text{ Eprouvette lisse}}}{\sigma'_{D \text{ Eprouvette entaille}}}$$

Finalement le coefficient de concentration de contraintes  $K_e$  s'écrira :

$$K_e = \frac{1}{K'_f}$$

Et en même temps ce facteur s'écrit :

$$K'_f = q(K_t - 1)$$

$q$  : indice de sensibilité aux effets d'entaille selon **Peterson** l'indice de sensibilité aux effets d'entaille peut s'écrire :

$$q = \frac{1}{1 + \frac{a}{r}}$$

$a$  : constante telle que :

$$a = \left(\frac{270}{R_m}\right)^{1.8} \quad R_m ; \text{Résistance à la rupture (MPa)} ; \quad r : \text{Rayon du fond de l'entaille}$$

### Correction de la valeur de $\sigma_D$

$$K_D = K_a \cdot K_b \cdot K_c \cdot K_d \cdot K_e \cdot K_f \cdot \sigma'_D$$

$\sigma_D$  : Valeur de la limite d'endurance utilisée dans les calculs de structures

$\sigma'_D$  : Valeur de la limite d'endurance déterminée expérimentalement en utilisant une éprouvette normalisée.

$K_a$  : Facteur de fini de surface

$K_b$  : Facteur de grosseur

$K_c$  : Facteur de fiabilité

$K_d$  : Facteur d'effet de température

$K_f$  : Facteur de divers effets

$K_e$  : coefficient de concentration de contraintes

## II.4. Critère de résistance

### II.4.1. en cas de contrainte complètement renversée

Dans le cas de contrainte complètement renversée le critère de résistance à la fatigue (figure ci-dessous) est simple et donné par:

$\sigma_a \leq \sigma_D$  dans le cas de vie infinie

$\sigma_a \leq \sigma_f$  dans le cas de vie finie  $\sigma_D$  : Limite d'endurance

$\sigma_f$  : Contrainte limite correspondant à une durée de vie donnée  $N_f$

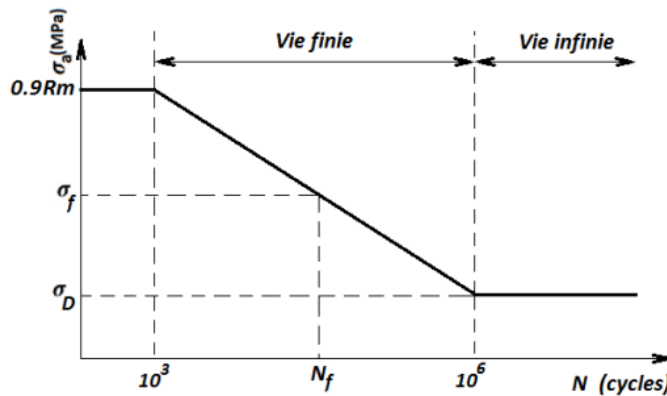


Figure II.18: les limites de résistances à la fatigue dans les deux cas de vies finie et infinie

### II.4.2.Cas de contrainte non complètement renversée

#### II.4.2.1.Introduction

Le critère de résistance à la fatigue vu dans le chapitre précédent ne sera plus valide dans le cas où  $\sigma_m \neq 0$  n'est pas nul (contrainte non complètement renversée), il faut adopter un autre critère. C'est le but de ce cours. Une sollicitation à contrainte non complètement renversée peut être considérée la superposition de deux sollicitations l'une à contrainte complètement renversée et l'autre statique (Figure ci-dessous).

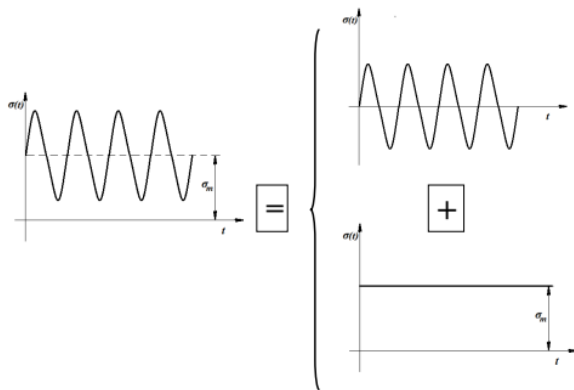


Figure II.19: La contrainte non complètement renversée est la résultante de deux contraintes l'une complètement renversée et l'autre constante

#### II.4.2.2.Influence de la contrainte moyenne

La figure 45 montre que lorsque la contrainte moyenne est négative (compression) la limite d'endurance augmente. De l'autre part lorsque est positive son augmentation entrainerait un baissement de la valeur de la limite d'endurance. Ces résultats peuvent être interprétés par la figure ci-dessous.

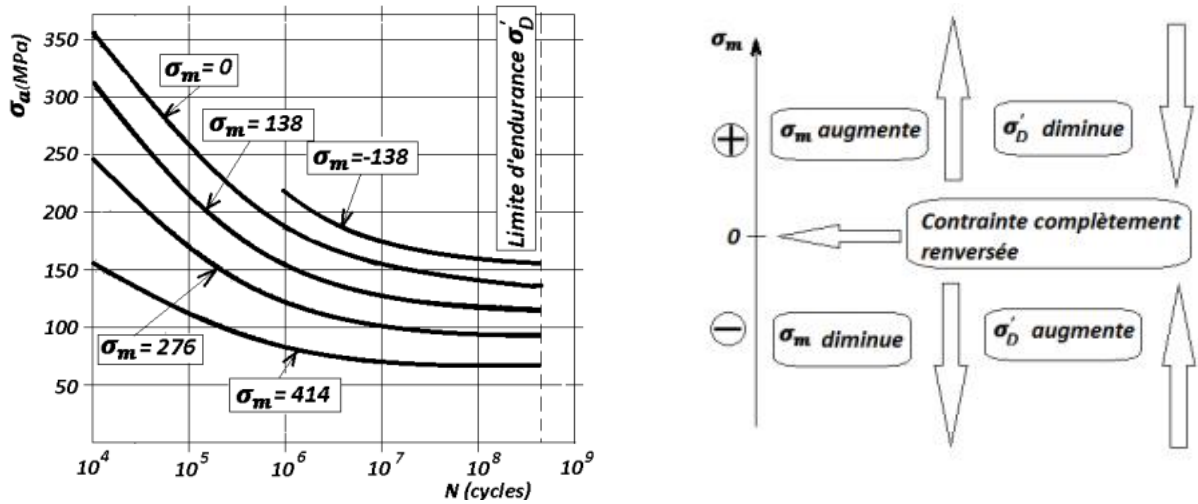


Figure II.20 : Influence de la contrainte moyenne sur la limite d'endurance  
 AlZn5.5MgCu, (Rm=550MPa)

### II.3.Approche pour l'obtention du critère de Goodman

Les résultats illustrés par la figure (ci-dessus) sont représentés dans le plan  $(\sigma_a, N)$  en même temps les deux paramètres  $\sigma_a$  et  $\sigma_m$  c.à.d de les représenter dans le plan  $(\sigma_a, \sigma_m)$  utilisons le tableau (Tab.1).

Tableau 1: Résultats extraits des courbes de la figure 45

$\sigma_m$ (MPa)	$N$ (cycles)	$\sigma_a$ (MPa)	
-138	$10^4$	-	
	$10^5$	-	
	$10^6$	217	
	$10^7$	173,9	
	$10^8$	163	
	$5 \cdot 10^8$	158,7	
	0	$10^4$	356,5
$10^5$		260,8	$\sigma_{f2} = 260.8M$
$10^6$		184,8	$\sigma_{f3} = 184.8M$
$10^7$		156,6	$\sigma_{f4} = 156.6M$
$10^8$		139,1	$\sigma_{f5} = 139.1M$
$5 \cdot 10^8$		134,8	$\sigma'_D = 134.8 M$
138	$10^4$	313	
	$10^5$	213	
	$10^6$	154,3	
	$10^7$	126	
	$10^8$	117,4	
	$5 \cdot 10^8$	113	
276	$10^4$	254,6	
	$10^5$	171,7	
	$10^6$	121,7	
	$10^7$	102,1	
	$10^8$	93,5	
	$5 \cdot 10^8$	93,5	
414	$10^4$	158,7	
	$10^5$	110,9	
	$10^6$	82,6	
	$10^7$	71,7	
	$10^8$	64,4	
	$5 \cdot 10^8$	64,4	

Ce tableau permet de construire les courbes  $\sigma_a = f(\sigma_m)$  en fonction de  $N$  dans le plan  $(\sigma_m, \sigma_a)$  (Voir Figure .46)

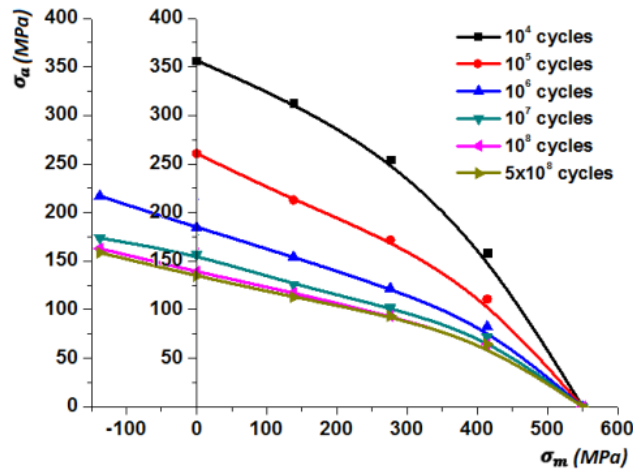


Figure II.21: Représentation des résultats dans le plan  $\sigma_m - \sigma_a$

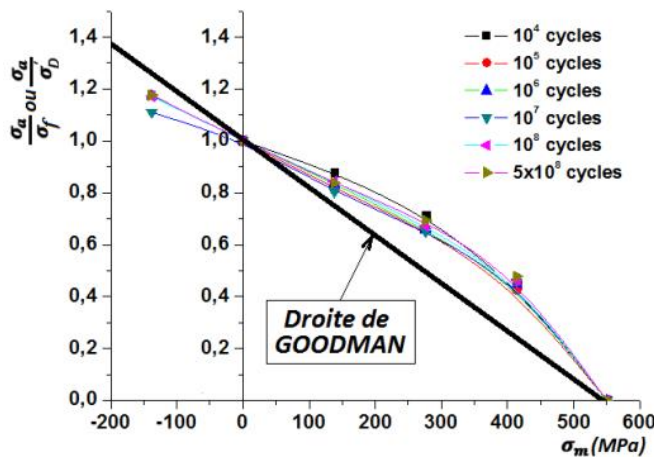
Dans la dernière étape divisons les valeurs de  $(\sigma_a)_i$  correspondant à  $(\sigma_m)_i$  par les valeurs  $(\sigma_f)_i$  (vie finie) ou  $\sigma'_D$  (vie infinie) et mettons les dans le tableau (Tab. 2) Finalement représentons ces résultats sur un système de coordonnées où les valeurs  $(\sigma_m)_i$  sont portées sur l'axe des abscisses et les valeurs d'amplitudes normalisées sur l'axe des ordonnées  $(\sigma_a/\sigma_f)_i$  ou  $(\sigma_a/\sigma'_D)_i$  (Fig. 46)

Tableau 2: Représentation des rapports  $(\sigma_a/\sigma_f)_i$  ou  $(\sigma_a/\sigma'_D)_i$

$\sigma_m$ (MPa)	$N$ (cycles)	$\sigma_a$ (MPa)	$(\sigma_a/\sigma_f)$ ou $(\sigma_a/\sigma'_D)$	
-138	$10^4$	-	-	
	$10^5$	-	-	
	$10^6$	217	1,17424242	
	$10^7$	173,9	1,11047254	
	$10^8$	163	1,17181884	
	$5.10^8$	158,7	1,1772997	
0	$10^4$	356,5	1	
	$10^5$	260,8	1	
	$10^6$	184,8	1	
	$10^7$	156,6	1	
	$10^8$	139,1	1	
	$5.10^8$	134,8	1	
138	$10^4$	313	0,87798036	
	$10^5$	213	0,81671779	
	$10^6$	154,3	0,83495671	
	$10^7$	126	0,8045977	
	$10^8$	117,4	0,84399712	
	$5.10^8$	113	0,83827893	
	276	$10^4$	254,6	0,7141655
		$10^5$	171,7	0,6583589
$10^6$		121,7	0,65854978	
$10^7$		102,1	0,65197957	
$10^8$		93,5	0,67217829	
$5.10^8$		93,5	0,69362018	
414	$10^4$	158,7	0,44516129	
	$10^5$	110,9	0,42523006	
	$10^6$	82,6	0,4469697	
	$10^7$	71,7	0,45785441	
	$10^8$	64,4	0,46297628	
	$5.10^8$	64,4	0,47774481	

Remarque: La valeur de  $(\sigma_f)_i$  est obtenu par l'intersection entre la droite issu de  $(\sigma_m)_i$  et celle de la courbe de Wöhler  $\sigma_m=0$

Les résultats illustrés par le tableau (Tab. 2) montrent une certaine **constance** du rapport  $(\sigma_a/\sigma_f)_i$  ou  $(\sigma_a/\sigma'_D)_i$  pour chaque valeur de la contrainte  $\sigma_m$ . Donc une superposition de valeurs est observée sur la figure (Fig. 48). C'est le principe de l'approche de Goodman, en rapprochant cette configuration non linéaire des résultats à une autre plus simple (linéaire) on obtient une droite appelée **droite de Goodman**.



**Figure II.22:** Superposition des valeurs normalisées des amplitudes et obtention de la droite de Goodman

### II.3.1. Équation de la droite de Goodman

Soient les deux points:

$$\left(\frac{\sigma_a}{\sigma_D} = 1, \sigma_m = 0\right) \text{ et } \left(\frac{\sigma_a}{\sigma_D} = 0, \sigma_m = R_m\right) \quad (\text{Fig. 5})$$

L'équation de la droite est de la forme

$$\frac{\sigma_a}{\sigma_D} = \sigma_m + b$$

En remplaçant les coordonnées des deux points

$$\begin{cases} b = 1 \\ aR_m + b = 0 \end{cases}$$

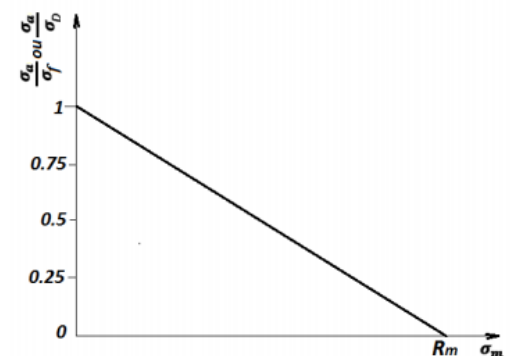
Cela donne :

$$a = \frac{-1}{R_m}$$

Finalement l'équation aura la forme suivante

$$\frac{\sigma_a}{\sigma_D} + \frac{\sigma_m}{R_m} = 1 \quad \text{Cas de vie infinie}$$

$$\frac{\sigma_a}{\sigma_f} + \frac{\sigma_m}{R_m} = 1 \quad \text{Cas de vie finie}$$



**Figure II.23:** Droite de Goodman



**Remarque :**

L'équation de la droite de Goodman peut s'écrire sous une autre forme

(Voir figure 6) :

$$\sigma_a = -\frac{\sigma_D}{R_m} \sigma_m + \sigma_D \quad \text{Cas de vie infinie}$$

$$\sigma_a = -\frac{\sigma_D}{R_m} \sigma_m + \sigma_f \quad \text{Cas de vie finie}$$

Le système de coordonnées et la droite de Goodman forment le **diagramme de Goodman**

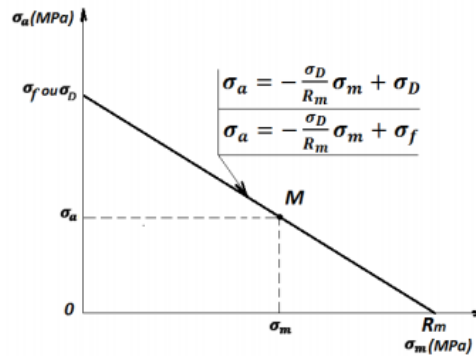


Figure II.24 : Diagramme de Goodman

### II.3.2. Analyse du diagramme de Goodman

Soit le point M de coordonnées situé sur la droite de Goodman et considérons le cas de vie infinie (ou vie finie) par conséquent la condition  $\frac{\sigma_a}{\sigma_D} + \frac{\sigma_m}{R_m} = 1$  est vérifiée. Le point M étant sur la droite veut dire qu'on est sur la limite de résistance de fatigue dans le cas de contrainte non complètement renversée ( $\sigma_m \neq 0$ ).

#### Cas particuliers

1) Le point M est sur l'axe des ordonnées : ( $\sigma_m = 0$ ,  $\sigma_a = \sigma_D$ )

L'équation de la droite de Goodman devient :  $\frac{\sigma_a}{\sigma_D} = 1$

cela donne  $\sigma_a = \sigma_D$  c'est la condition ultime de résistance en fatigue en cas de contrainte complètement renversée.

2) Le point M est sur l'axe des abscisses : ( $\sigma_m = R_m$ ,  $\sigma_a = 0$ )

On aura :  $\frac{\sigma_m}{R_m} = 1$  ou  $\sigma_m = R_m$  c'est la condition ultime de résistance en cas statique

### II.3.3. Coefficient de sécurité

Le point M étant sur la droite est la limite de la sécurité d'équation :

$$\frac{\sigma_{aM}}{\sigma_D} + \frac{\sigma_{mM}}{R_m} = 1$$

Si on se situe à l'intérieur du triangle formé par la droite de Goodman et les axes soit le point N. Au point N la structure est plus sûre. Pour cela introduisons le coefficient de sécurité

$$F_s = \frac{OM}{ON}$$

Pour déterminer le coefficient de sécurité au point N c.à.d. à  $\sigma_a = \sigma_{aN}$  traçons la droite passant par N et parallèle à la droite de Goodman passant par M. Cette nouvelle droite aura pour équation :

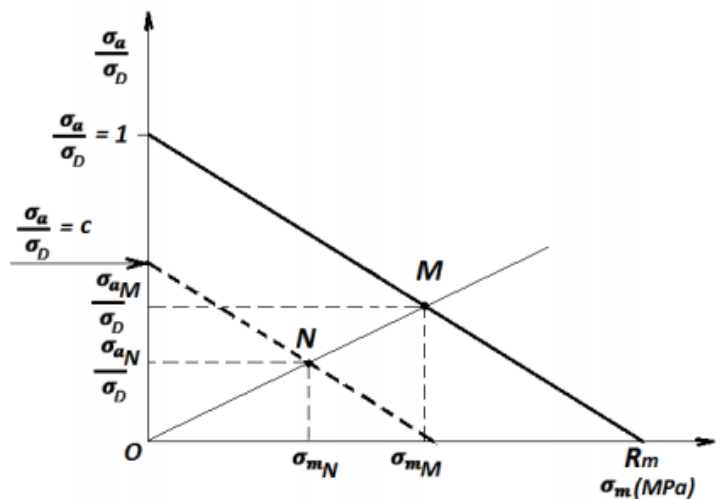
$$\frac{\sigma_{aN}}{\sigma_D} + \frac{\sigma_{mN}}{R_m} = c \quad \text{avec } c < 1 \quad \text{On a : } \frac{OM}{ON} = \frac{1}{c} = \frac{1}{\frac{\sigma_{aN}}{\sigma_D} + \frac{\sigma_{mN}}{R_m}}$$

Donc le coefficient de sécurité s'écrira pour une situation quelconque  $(\sigma_m; \sigma_a)$

$$F_s = \frac{1}{\frac{\sigma_a}{\sigma_D} + \frac{\sigma_m}{R_m}}$$

Dans le cas de vie finie :

$$F_s = \frac{1}{\frac{\sigma_a}{\sigma_f} + \frac{\sigma_m}{R_m}}$$



### A) Discussion des valeurs de $F_s$

$F_s > 1$  veut dire  $OM > ON$  et la structure se trouve dans la **zone de sécurité**

$F_s = 1$   $OM = ON$  ou  $\frac{\sigma_a}{\sigma_D} + \frac{\sigma_m}{R_m} = 1$  et la structure est sur la **limite de résistance**

$F_s < 1$   $OM < ON$  la structure est **hors zone de sécurité**

### B) Critère de résistance de fatigue de Goodman

De ce qui précède on peut écrire le critère de **résistance de Goodman**

$$\frac{\sigma_a}{\sigma_D} + \frac{\sigma_m}{R_m} \leq 1 \quad \text{Cas de vie infinie}$$

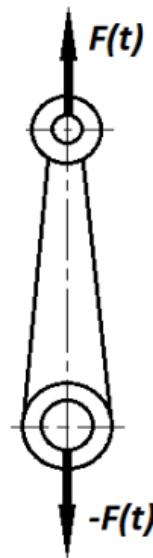
$$\frac{\sigma_a}{\sigma_f} + \frac{\sigma_m}{R_m} \leq 1 \quad \text{Cas de vie finie}$$

**Exemple d'application :**

Une bielle en acier ( $\sigma_D = 120 \text{ MPa}$  et  $R_m = 680 \text{ MPa}$ ) est soumise à un chargement dynamique induisant les contraintes :  $\sigma_m = 120 \text{ MPa}$  et  $\sigma_a = 65 \text{ MPa}$

On demande de :

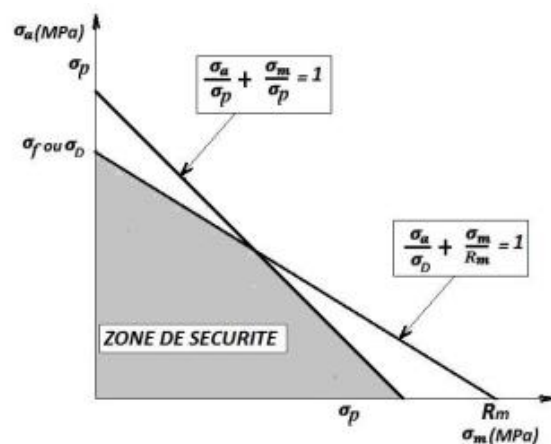
- 1) Calculer le coefficient de sécurité
- 2) Tracer le diagramme de Goodman
- 3) Si on considère le chargement  $\sigma_m = 180 \text{ MPa}$ ,  $\sigma_a = 100 \text{ MPa}$
- 4) Calculer alors la durée de vie.

**II.3.4. Diagramme de Goodman modifié****A) Cas d'écoulement plastique**

Dans le cas où la contrainte moyenne  $\sigma_m$  est très importante et l'amplitude est relativement réduite il faut vérifier l'écoulement plastique c.à.d. la limite d'écoulement plastique  $\sigma_P$  :

$$\begin{cases} \frac{\sigma_a}{\sigma_D} + \frac{\sigma_m}{R_m} = 1 \\ \frac{\sigma_a}{\sigma_p} + \frac{\sigma_m}{\sigma_p} = 1 \text{ ou } \frac{\sigma_{max}}{\sigma_p} = 1 \end{cases} \quad \text{vie infinie}$$

$$\begin{cases} \frac{\sigma_a}{\sigma_f} + \frac{\sigma_m}{R_m} = 1 \\ \frac{\sigma_a}{\sigma_p} + \frac{\sigma_m}{\sigma_p} = 1 \text{ ou } \frac{\sigma_{max}}{\sigma_p} = 1 \end{cases} \quad \text{vie finie}$$

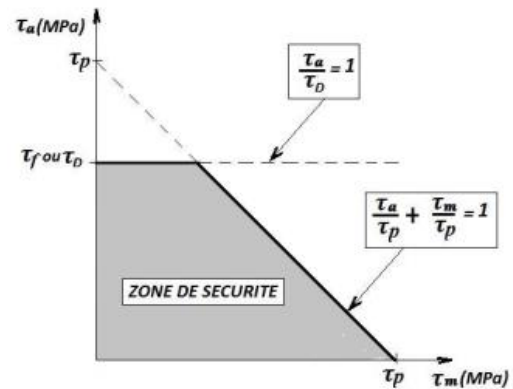


**B) Cas de cisaillement**

La contrainte moyenne de cisaillement  $\tau_m$  n'a pas d'effet sur la limite d'endurance  $\tau_D$ .  
 Si on tient compte de l'écoulement plastique on aura:

$$\begin{cases} \frac{\tau_a}{\tau_D} = 1 \\ \frac{\tau_a}{\tau_p} + \frac{\tau_m}{\tau_p} = 1 \text{ ou } \frac{\tau_{max}}{\tau_p} = 1 \end{cases} \quad (\text{vie infinie})$$

$$\begin{cases} \frac{\tau_a}{\tau_f} = 1 \\ \frac{\tau_a}{\tau_p} + \frac{\tau_m}{\tau_p} = 1 \text{ ou } \frac{\tau_{max}}{\tau_p} = 1 \end{cases} \quad (\text{vie finie})$$



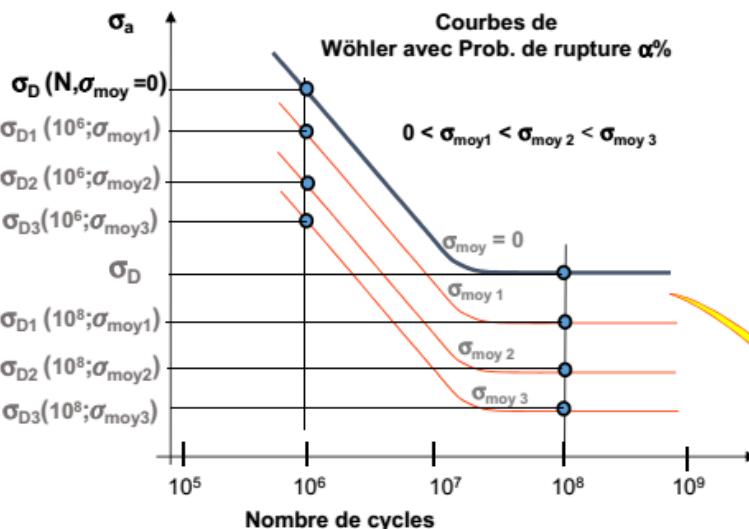
Dans ce cas le diagramme de Goodman aura la forme (figure ci-contre):

$$\begin{cases} F_{s1} = \frac{1}{\frac{\tau_a}{\tau_D}} = \frac{\tau_D}{\tau_a} \\ F_{s2} = \frac{1}{\frac{\tau_a}{\tau_p} + \frac{\tau_m}{\tau_p}} = \frac{\tau_p}{\tau_{max}} \end{cases} \quad (\text{vie infinie})$$

$$\begin{cases} F_{s1} = \frac{1}{\frac{\tau_a}{\tau_f}} = \frac{\tau_f}{\tau_a} \\ F_{s2} = \frac{1}{\frac{\tau_a}{\tau_p} + \frac{\tau_m}{\tau_p}} = \frac{\tau_p}{\tau_{max}} \end{cases} \quad (\text{vie finie})$$

**II.3.5. Diagramme d'endurance de Haigh**

Les diagrammes d'endurance (abscisse  $\sigma_m$  et ordonnée  $\sigma_a$ ) sont issus des courbes de Wöhler. Ils définissent l'ensemble des limites d'endurance  $\sigma_D(N)$  en fonction de la valeur de la contrainte moyenne pour un nombre de cycle déterminé.



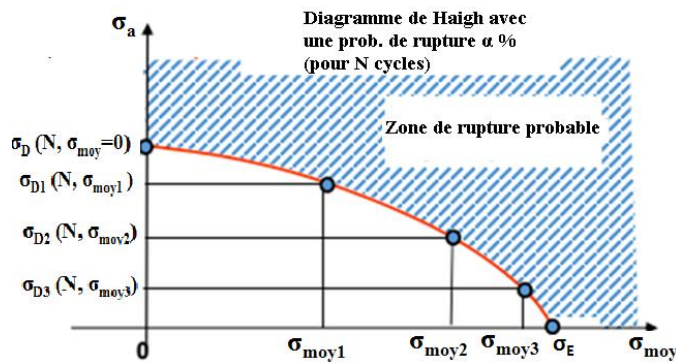


Figure II.25 : Diagramme de Haigh pour

Sur un diagramme de **Haigh**, l'amplitude de la contrainte  $\sigma_a$  est portée en fonction de la contrainte moyenne  $\sigma_m$  à laquelle a été réalisé l'essai de fatigue. Tracé en général pour un nombre de cycles à rupture donné (par exemple  $10^6$ ), deux points particuliers sont à noter :

- le point **A** qui représente la limite de fatigue  $\sigma_f$  en sollicitation alternée symétrique ( $\sigma_m=0$ ) :
- le point **B** qui représente le comportement limite du matériau pour une amplitude de contrainte nulle ( $\sigma_a = 0$ ). Ce point correspond schématiquement à la contrainte maximale de rupture (ou résistance maximale)  $R_m$  du matériau au cours d'un essai quasi-statique monotone.

### II.3.6. Théorie de la limitation, Modélisation du diagramme de Haigh

- **Parabole de Gerber**

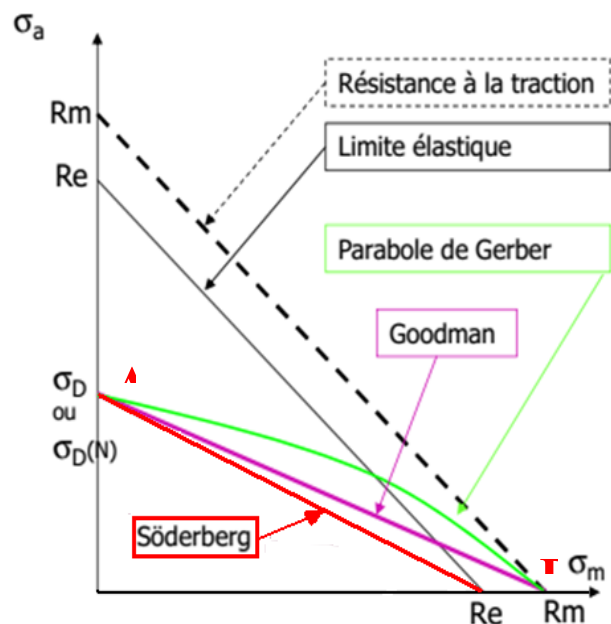
$$\sigma_a = \sigma_{D(N)} \left[ 1 - \left( \frac{\sigma_m}{R_m} \right)^2 \right]$$

- **Droite de Goodman**

$$\sigma_a = \sigma_{D(N)} \left[ 1 - \left( \frac{\sigma_m}{R_m} \right) \right]$$

- **Droite de Soderberg**

$$\sigma_a = \sigma_{D(N)} \left[ 1 - \left( \frac{\sigma_m}{R_e} \right) \right]$$



Le domaine limité par la courbe AB et les deux axes de coordonnées représente le domaine d'endurance illimitée.

### III. Définitions et terminologie

#### III.1. Types de variation des contraintes

Les sollicitations en fatigue peuvent être simples (traction, compression, torsion..) ou complexes (combinées). Les efforts répétés, varient en fonction du temps d'une façon périodique, dans ce cas on admet que leurs variations sont sinusoidales, ou quelconque celle-ci posera des difficultés en calcul. On peut distinguer:

##### III.1.1. Contrainte sinusoidale à amplitude constante

C'est la variation la plus simple elle est continue et à amplitude de contrainte constante.

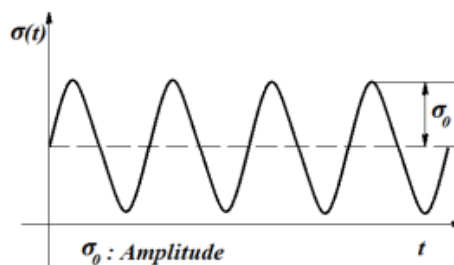


Figure III.1: Contrainte sinusoidale à amplitude constante

##### III.1.2. Contrainte sinusoidale à amplitude variable

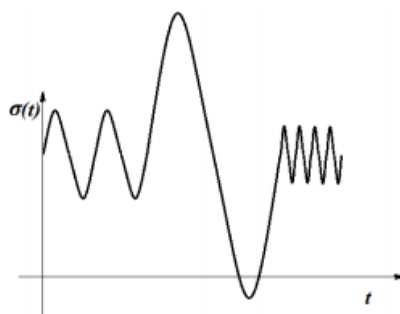


Figure III.2 : Contrainte sinusoidale à amplitude variable

### III.1.3. Contrainte aléatoire

La courbe de variation est d'allure quelconque

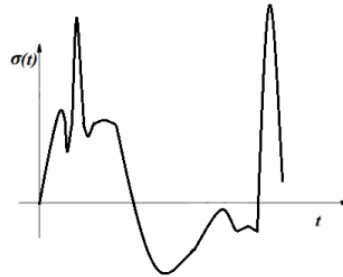


Figure III.3; Contrainte aléatoire

Pour simplifier les calculs en fatigue nous considérons ici que les contraintes sinusoïdales à amplitude constante ou à amplitude variable.

### III.1.4. Cycle de contrainte

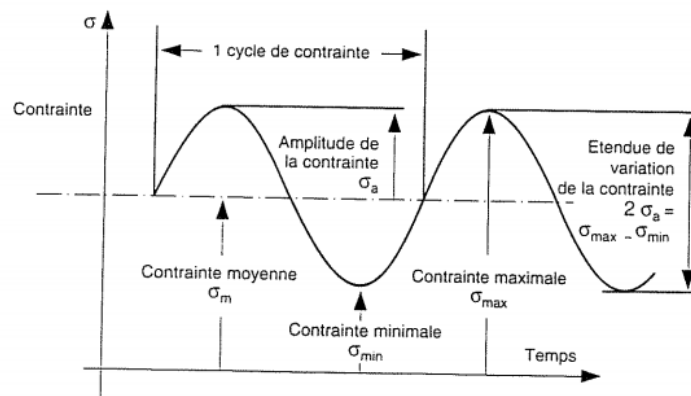


Figure III.4; Cycle de contrainte en fatigue

$(\sigma_{\max}, \tau_{\max})$  : contrainte maximale,  $\sigma_{\max} = \sigma_m + \sigma_a$

$(\sigma_{\min}, \tau_{\min})$  : Contrainte minimale,  $\sigma_{\min} = \sigma_m - \sigma_a$

$(\sigma_m, \tau_m)$  : Contrainte moyenne,  $\sigma_m = \frac{\sigma_{\max} + \sigma_{\min}}{2}$

$(\sigma_a, \tau_a)$  : Amplitude de contrainte,  $\sigma_a = \frac{\sigma_{\max} - \sigma_{\min}}{2}$

$(\Delta\sigma, \Delta\tau)$  : Étendue de contrainte,  $\Delta\sigma = \sigma_{\max} - \sigma_{\min} = 2\sigma_a$

Rapport de contrainte  $R_\sigma$ ,  $R_\sigma = \frac{\sigma_{\min}}{\sigma_{\max}}$

Nombre de cycles (**n**): nombre de répétitions de cycle de contrainte l'essai de fatigue

Nombre de cycles à rupture (**N**): nombre de répétitions de cycle de contrainte jusqu'à la rupture.

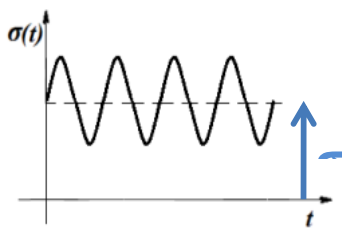
**Rapport du nombre de cycles:**  $n/N$

**Fréquence (f):** nombre de cycles de contrainte appliqués par unité de temps (cycle par seconde ou par minute).

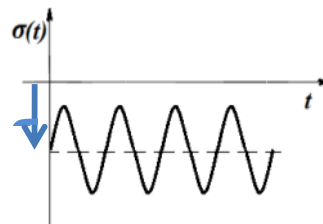
Par considération des signes des termes  $\sigma_{\min}$  et  $\sigma_{\max}$  et les termes  $\sigma_m$  et  $\sigma_a$  les sollicitations peuvent être classées comme suit :

**A) Sollicitation ondulée:**  $\frac{\sigma_{\max}}{\sigma_{\min}} > 0$

C'est le cas où les termes  $\sigma_{\max}$  et  $\sigma_{\min}$  sont ou bien positifs ou bien négatifs (Fig.17 et Fig.18)



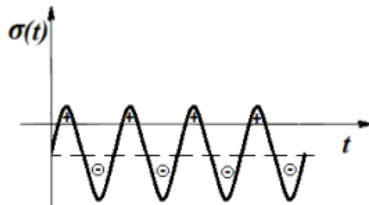
**Figure III.5 :** Sollicitation ondulée ( $\sigma_m > 0$ )



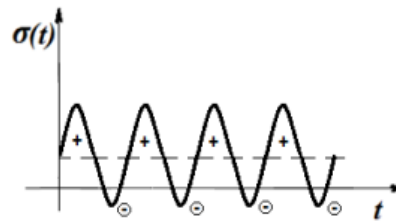
**Figure III.6 :** Sollicitation ondulée ( $\sigma_m < 0$ )

**B) Sollicitation alternée**

Dans ce cas :  $\frac{\sigma_{\max}}{\sigma_{\min}} < 0$



**Figure III.7:** Sollicitation alternée ( $\sigma_m < 0$ )



**Figure III.8:** Sollicitation alternée ( $\sigma_m > 0$ )

**Cas particulier :**  $\frac{\sigma_{\max}}{\sigma_{\min}} = -1$



**Figure III.9:** Sollicitation complètement renversée ( $\sigma_m = 0$ )



### C) Sollicitation statique

C'est le cas où  $\sigma_a = 0$  et  $\sigma_m \neq 0$ ,  $\frac{\sigma_{max}}{\sigma_{min}} = 1$

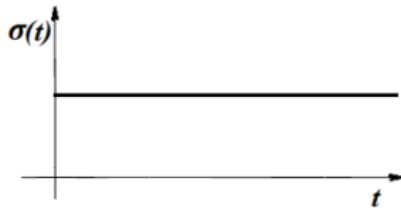


Figure III.10 : Sollicitation statique ( $\sigma_m > 0$ )

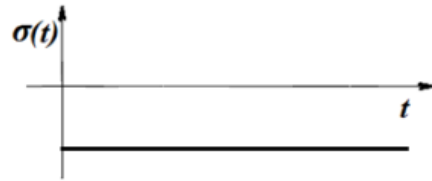


Figure III.11: Sollicitation statique ( $\sigma_m < 0$ )

## III.2. Systèmes d'essai

La méthode la plus couramment utilisée pour obtenir des courbes d'endurance est l'essai de flexion rotative ou de flexion plane (voir Figure 24) . Les machines utilisées pour ces essais permettent des fréquences proches de 20 Hz.

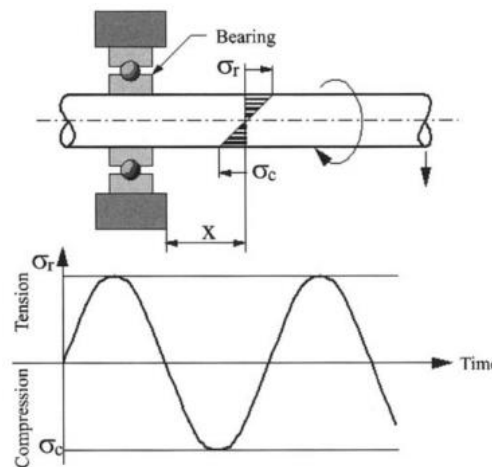
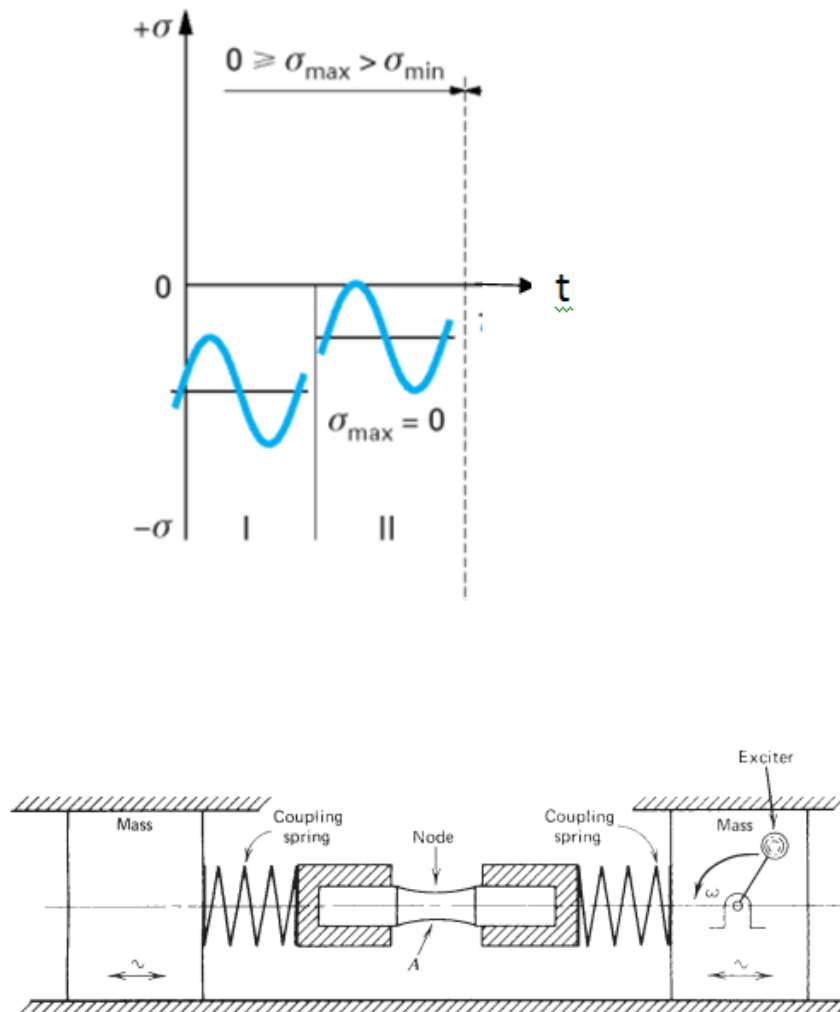


Figure III.12: Principe des essais de flexion rotative

## III.3. Différents domaines de la fatigue

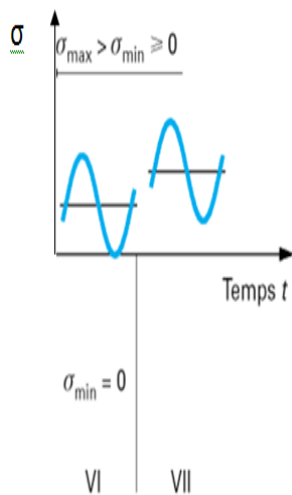
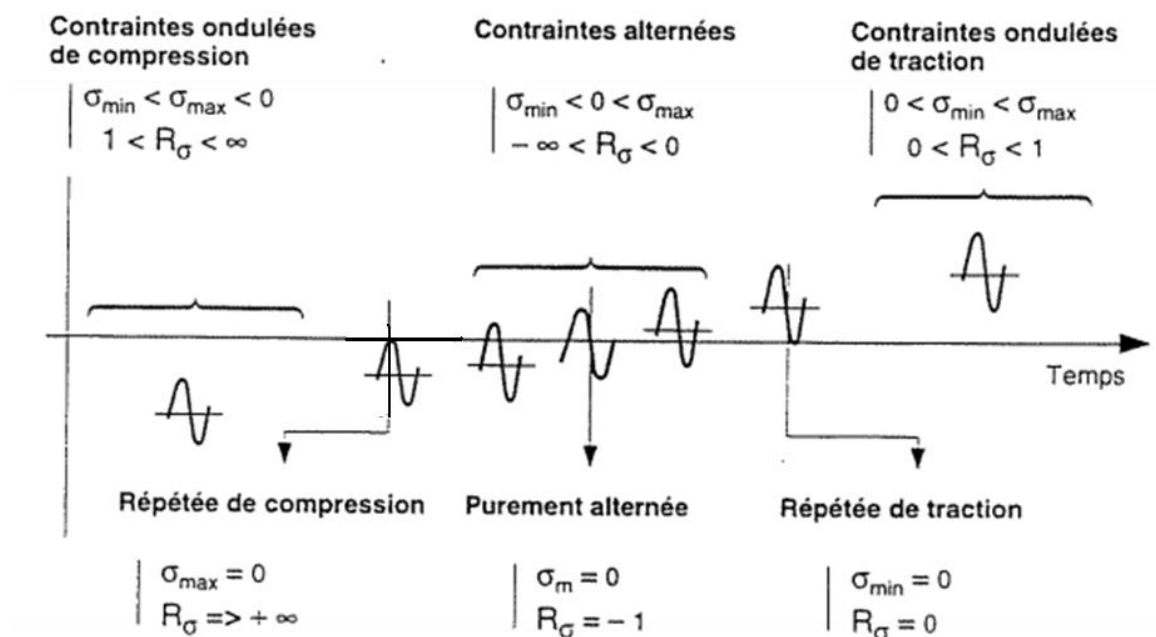
Considérons dans un premier temps les essais de fatigue sous amplitude de contrainte constante. Les fluctuations de contrainte susceptible d'être rencontrées dans une structure peuvent être de formes variées : variations sinusoïdales, variations cycliques par blocs répétés, variations aléatoire. Des surcharges ou des sous -charges peuvent également apparaître, comme celles enregistrées sur une voiture ou un camion sur route. Les

caractéristiques de résistance à la fatigue ou endurance d'un matériau sont généralement obtenues grâce à des essais sur éprouvettes lisses soumises à des sollicitations cycliques en cycle sinusoïdal ou triangulaire d'amplitude et de fréquence constantes. Le nombre de cycles conduisant à la rupture sous le niveau de sollicitations appliqué est appelé **durée de vie**, et désigné par **N**



**Figure III.13:** Machine de fatigue axiale basée sur vibration de résonance causée par une rotation excentrique de masse.

III.4. Les formes de cycle de contraintes



I. Contrainte ondulée de compression :

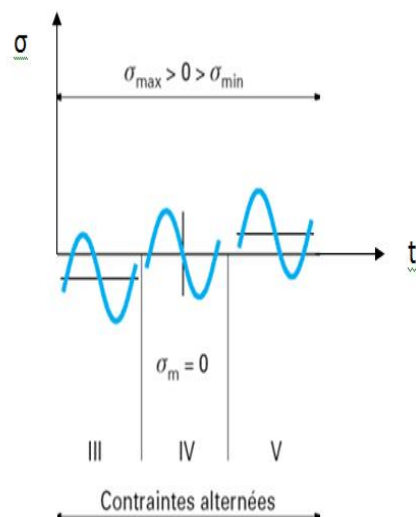
$$1 < R_{\sigma} < \infty$$

II. Contrainte répétée de compression :  $R_{\sigma} \rightarrow \infty$

III. Contrainte alternée dissymétrique :  $-\infty < R_{\sigma} < -1$

IV. Contrainte purement alternée :  $R_{\sigma} = -1$ .

V. Contrainte alternée dissymétrique :  $-1 < R_{\sigma} < 0$

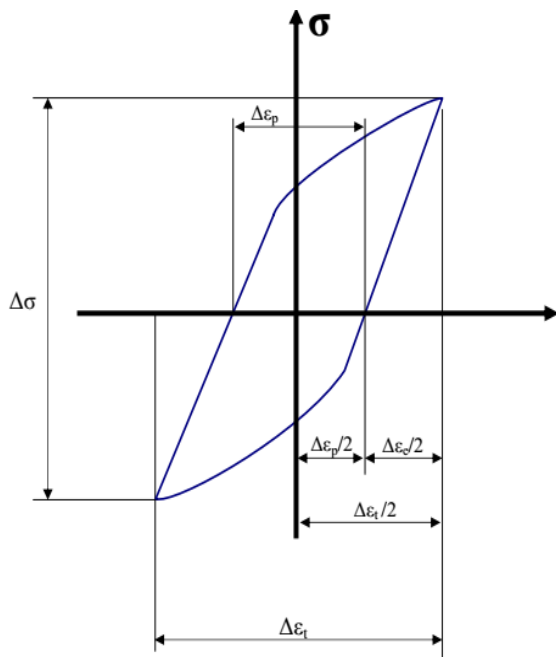


VI. Contrainte répétée de traction :  $R_{\sigma} = 0$

VII. Contrainte ondulée de traction:  $0 < R_{\sigma} < 1$

### III.5. Comportement sous sollicitation cyclique

L'enregistrement de l'évolution de la contrainte en fonction de la déformation, appliquée au cours d'un cycle, conduit au tracé d'une boucle schématisée sur la Figure 1 et appelée boucle d'hystérésis. La forme et taille de ces boucles évoluent en fonction du nombre de cycles et éventuellement se stabilisent.



Étendue de variation de la déformation :

$$\Delta\epsilon = \epsilon_{\max} - \epsilon_{\min}$$

Amplitude de déformation :

$$\epsilon_a = \frac{\epsilon_{\max} - \epsilon_{\min}}{2}$$

Déformation moyenne :

$$\epsilon_m = \frac{\epsilon_{\max} + \epsilon_{\min}}{2}$$

Rapport de déformation :

$$R_\epsilon = \frac{\epsilon_{\min}}{\epsilon_{\max}}$$

Figure III.14: Boucle hystérésis

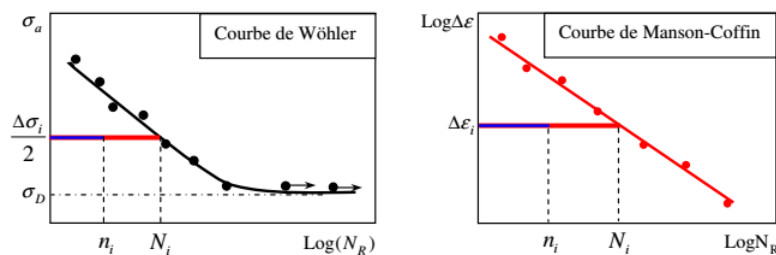
## IV.1. Cumul de dommage par fatigue

Lorsqu'un élément de structure est soumis à un chargement d'amplitude constante, de contrainte  $\Delta\sigma$  ou de déformation plastique  $\Delta\varepsilon_p$ , les courbes de Wöhler ou de Manson Coffin fournissent directement sa durée de vie. Si en revanche l'amplitude de chargement varie au cours du temps, la façon classique d'aborder le problème consiste à définir l'endommagement associé à chaque amplitude et à utiliser ensuite une loi de cumul de l'endommagement : La durée de vie est définie par le nombre de cycles à rupture  $N_R$ . Ainsi, l'application de  $n$  cycles ( $n < N_R$ ) entraîne une détérioration partielle de la pièce.

La connaissance de ce dommage est importante à déterminer car elle permet d'évaluer la capacité restante de durée de vie et de décider s'il faut ou non remplacer la pièce pour éviter une rupture catastrophique. La règle la plus simple consiste à considérer une évolution linéaire du dommage. Cette approche est appelée règle de cumul linéaire de Miner. Ainsi, le dommage associé à  $n_i$  cycles ( $n_i < N_{Ri}$ ), pour une sollicitation donnée, est déterminé par la fraction représentant le nombre de cycles  $n_i$  divisé par le nombre de cycles à rupture  $N_{Ri}$  associé au niveau de contrainte de la sollicitation. Le dommage élémentaire  $D_i$  sous amplitude constante ( $\Delta\sigma_i$  ou  $\Delta\varepsilon_i$ ) est défini par la relation suivante :

$$D_i = \frac{n_i}{N_{Ri}}$$

- $n_i$  le nombre de cycles effectué à l'amplitude  $\Delta\sigma_i$  ou  $\Delta\varepsilon_i$
- $N_i$  le nombre de cycles à rupture correspondant (dédit de la courbe de Wöhler ou de celle de Manson-Coffin).



La règle de cumul linéaire de Miner suppose que l'endommagement total est la somme algébrique des endommagements élémentaires. L'endommagement total  $D$  est donné par:

$$D = \sum_i D_i = \sum_i \frac{n_i}{N_{Ri}}, \quad \text{La rupture se produit lorsque } D = 1.$$

La règle du Miner est souvent appliquée pour évaluer des endommagements cumulés de fatigue sous chargement à amplitude variable, grâce à sa simplicité : prise en compte de données de fatigue sous amplitude constante (courbes de Wöhler). La règle linéaire d'endommagement a été remise en question par de nombreux résultats issus des travaux de plusieurs auteurs lors d'essais de fatigue, sur des éprouvettes de différentes géométries, en faisant varier graduellement le niveau de chargements de type traction-compression, flexion rotative et traction répétée. Ces résultats peuvent être résumés de la manière suivante :

- la somme des dommages est inférieure à l'unité dans le sens des séquences décroissantes ;
- la somme des dommages est supérieure à l'unité dans le sens des séquences croissantes. Les critiques importantes qui remettent en cause les lois de dommage cumulatif linéaire sont :
- l'endommagement partiel, qui s'appuie sur la notion de dommages indépendants, ne prend pas en compte les effets des séquences du chargement sur la fatigue. En effet, les résultats expérimentaux montrent que quelques cycles ( $n_2$ ) à un niveau élevé de contrainte ( $\sigma_2$ ), suivis par un cyclage à un niveau inférieur ( $\sigma_1$ ,  $n_1$ ), endommagent plus fortement que dans le cas où l'ordre est inversé. Ce phénomène peut s'expliquer par la non linéarité de l'endommagement, contrairement à l'hypothèse proposée par Miner ;
- l'utilisation de la courbe de Wöhler conduit à ignorer tous les cycles d'amplitude inférieure à la limite d'endurance dont l'endommagement partiel, selon la définition de Miner, est nul. Par conséquent, la durée de vie en fatigue du matériau est surestimée dans le cas de chargement variable.

Les résultats obtenus montrent que la règle de Miner, qui est normalement utilisée pour le dimensionnement en fatigue des structures en acier, peut donner des prévisions non conservatives de la durée de vie, et que la distribution de l'histoire de chargement en traction et compression a une influence sur la validité des résultats obtenus en utilisant la règle de Miner. Plusieurs améliorations de la règle linéaire d'endommagement de Miner ont été suggérées et ont rencontré des degrés différents de réussite pour des applications particulières. On peut citer par exemple la loi de **Hashin** et **Laird** qui donne une relation d'accumulation de dommage sous deux niveaux de chargement de contrainte cyclique:

$$\frac{\left(\frac{N_1}{N_{R1}}\right)^{\log\left(\frac{N_2}{N_e}\right)}}{\log\left(\frac{N_1}{N_e}\right)} + \frac{N_2}{N_{R1}} = 1$$

$N_e$  : nombre de cycles à la limite de fatigue,

$N_{R1}$  et  $N_{R2}$  : nombres de cycles à rupture pour les niveaux de chargement 1 et 2.

$N_1$  et  $N_2$  : le nombre de cycles effectué à l'amplitude  $\Delta\sigma_i$ .

### IV.1.2. Les lois d'endommagement de fatigue

La théorie de l'endommagement, a pour objet de décrire l'évolution des phénomènes entre l'état vierge (matériau dépourvu de fissures ou de cavités à l'échelle microscopique) et l'amorçage de la fissure macroscopique. Le stade final de l'endommagement correspond à la rupture de l'élément, c'est à dire à l'existence d'une fissure macroscopique de la taille de cet élément (de 0.1 à 1 mm pour les métaux). Au delà, c'est le domaine de la fissuration. Seul l'endommagement de fatigue, c'est à dire l'endommagement dû à la répétition des sollicitations, les modifications des caractéristiques mécaniques d'un élément peuvent être interprétées en terme de variable d'endommagement. Les paramètres de dommage sont nombreux et leur choix est souvent lié au domaine dans lequel s'effectue l'étude en fatigue. On peut citer:

- ❖ La mesure de la plasticité dans le cas de la fatigue à faible nombre de cycles (fatigue oligocyclique), qui correspond à un nombre de cycles à rupture ( $N_r$ ) inférieur à 50000. Les déformations plastiques interviennent alors de manière prépondérante.
- ❖ La variation de la limite d'endurance pour les grands nombres de cycles ( $N_r > 50000$ ). Les déformations sont alors quasi élastiques. Lorsque  $N_r > 10^7$ , on considère que la durée de vie est illimitée, c'est à dire que les sollicitations sont inférieures à la limite d'endurance. Les paramètres de dommage les plus fréquemment rencontrés sont :
  - **La fraction de vie** (utilisée par exemple dans la loi linéaire d'endommagement de Miner).
  - **La section effective** (Rabotnov - Lemaitre - Chaboche).
  - **La déformation plastique** cumulée (Papadopoulos, Morel).
  - **L'énergie de déformation** (Ellyin).

Le cas le plus général de sollicitations pouvant être imposées à un système mécanique est un chargement multiaxial aléatoire. Les sollicitations uniaxiales aléatoires forment un cas particulier de ce cas général. Les lois d'endommagement peuvent être classées suivant deux catégories :

- La première regroupe les lois d'endommagement ne pouvant être utilisées que dans le cas de sollicitations uniaxiales. Elles sont appelées lois d'endommagement **uniaxiales**.
- La seconde englobe l'ensemble des lois d'endommagement applicables dans le cas de sollicitations multiaxiales. Elles sont appelées lois d'endommagement **multiaxiales**.

### IV.1.3. Lois d'endommagement uniaxiales

#### a) Loi de Palmgreen-Miner

Cette loi est sans aucun doute la plus connue et la plus utilisée en bureau d'étude, du fait de sa simplicité. Elle suppose que le dommage se cumule de manière linéaire. Le paramètre de dommage retenu dans cette formulation est la fraction de vie définie par :

$$D_i = \frac{n_i}{N_{Ri}}$$

$$\sum_i D_i = 1 \quad \Rightarrow \quad \sum_i \frac{n_i}{N_{Ri}} = 1$$

Cette loi rend bien compte du fait que les niveaux de contraintes inférieurs à la limite d'endurance sont supposés non endommageant. Le dommage induit par un cycle de sollicitation est donc fonction de la durée de vie  $N_{Ri}$  du matériau pour le cycle en question. Une évaluation de cette quantité peut être obtenue à partir de la connaissance de la courbe de Wöhler relative aux conditions de chargement. Cette courbe représente la contrainte dynamique  $\sigma_m$  (contrainte maximale, contrainte minimale ou encore amplitude de contrainte), en fonction du nombre de cycles  $N$  à rupture (reporté sur une échelle logarithmique), pour une contrainte moyenne  $\sigma_m$  fixée

#### b) Loi de Lemaitre-Chaboche

Cette loi repose sur les notions de fraction de vie  $\frac{n_i}{N_{Ri}}$  et de contrainte effective introduite par Rabotnov

$$D_n = \frac{S_D}{S}$$

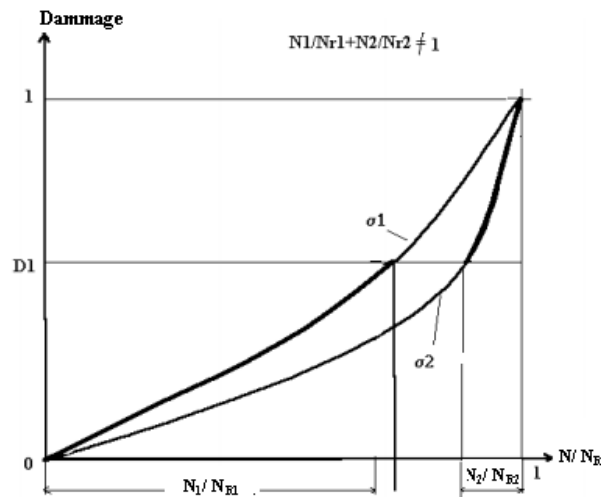


$S$ : aire d'une section d'un élément de volume endommagé de normale  $n$ .

$S_D$  : aire totale des traces des défauts (microcavités, microfissures).

$D_n$  permet de mesurer mécaniquement l'endommagement local relatif à la direction  $n$ . La contrainte effective représente la contrainte rapportée à la section qui réside effectivement aux efforts. Dans le cas d'un endommagement isotrope (c'est-à-dire :  $D = D_n$  pour tout  $N_{Ri}$ ), elle est définie par :  $\sigma = \frac{\sigma}{1-D}$

L'expérience montre que les courbes d'évolution du dommage en fonction du paramètre d'endommagement  $\frac{n_i}{N_{Ri}}$ , peuvent dépendre du niveau de sollicitation imposée. Il n'y a donc pas de cumul linéaire du dommage. La figure ci-dessous permet d'illustrer ces propos. Elle est relative à un essai de fatigue à deux niveaux de contrainte.



**Figure IV.1** : Cumul non linéaire

On constate à la vue de cette courbe que le cumul du dommage n'est pas linéaire ; en effet on a :

$$\sum \frac{N_i}{N_{Ri}} = \frac{N_1}{N_{R1}} + \frac{N_2}{N_{R2}} \neq 1$$

Une façon simple de rendre compte de cette remarque dans la formulation de l'évolution du dommage consiste à rendre non séparables les variables de chargement et la variable de dommage. Les auteurs ont proposé l'expression suivante :

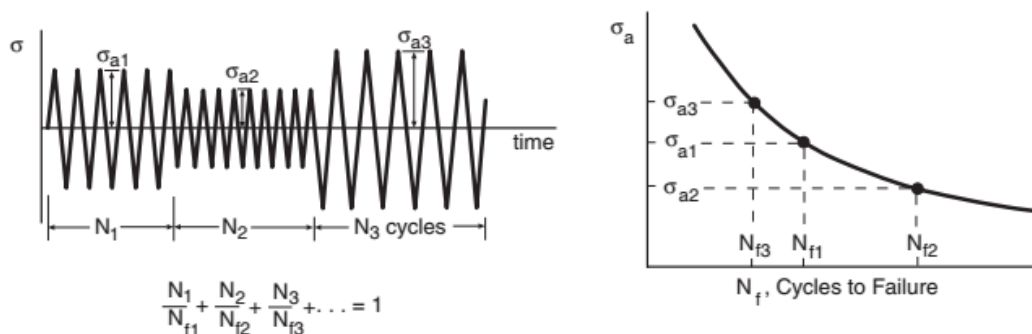
$$dD = [1 - (1 - D)^{1+\beta}]^\alpha \left[ \frac{\sigma_a}{M_0(1 - b\sigma_m)(1 - D)} \right]^\beta dN$$

Où

- $D$  est le dommage représentant l'état actuel du matériau
- $dD$  est l'accroissement de dommage dû à  $Dn$
- $\sigma_a$  est l'amplitude de contrainte du cycle
- $\sigma_m$  est la contrainte moyenne du cycle
- $\beta$ ,  $M_0$  et  $b$  sont des constantes liées au matériau
- $\alpha$  est un paramètre dépendant des caractéristiques de chargement ainsi que du matériau. L'évolution du dommage est donc non seulement fonction de l'état de contrainte appliquée, mais aussi de l'état de dommage de la structure étudiée.

Observation: La loi d'endommagement de Lemaitre-Chaboche permet de rendre compte du comportement d'un matériau d'une manière plus correcte que la loi de MINER mais est beaucoup moins pratique pour les bureaux d'études car plus difficile à mettre en œuvre.

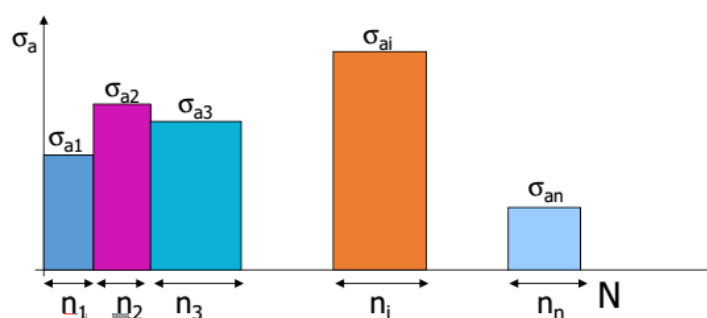
#### IV.1.4. Calcul par la théorie de Miner



**Figure IV.2:** utilisation de la règle de Palmgren-Miner pour la prédiction de la durée de vie pour des chargement variable à amplitude complètement renversé.

Pour chaque cycle d'application d'une contrainte complètement renversée  $\sigma_{ai}$  un dommage  $1/N_i$  est accumulé,  $N_i$  vie de la pièce tel que  $\sigma_{D(N_i)} = \sigma_{ai}$  Pour  $n_i$  applications de  $\sigma_{ai}$  le dommage  $D_i$  est  $n_i/N_i$ .

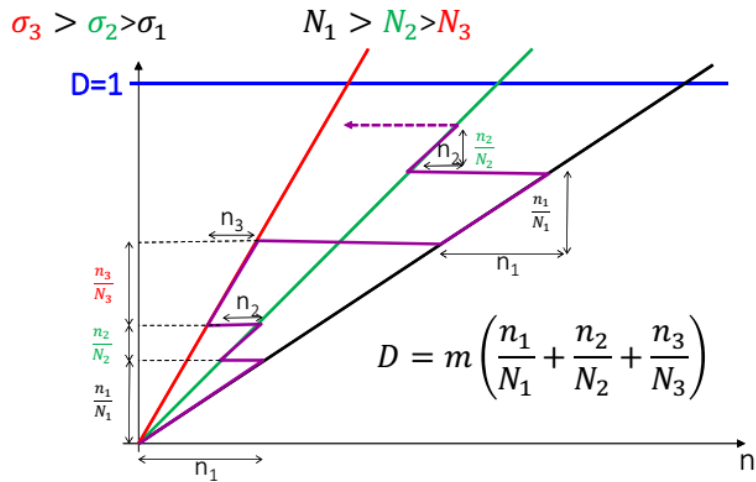
- Pour un spectre des contraintes  $\sigma_{a1}$ ,  $\sigma_{a2}$ , ...,  $\sigma_{aj}$  appliquées respectivement  $n_1$ ,  $n_2$ ,  $n_3$ , ...,  $n_j$  fois, le cumul des dommages est :  $\sum_{i=1}^j \frac{n_i}{N_i}$  et la rupture se produit lorsque le dommage est égal à 1



**IV.1.5. Principe du cumul des dommages linéaires,  $D_i = n/N_i$ ,**

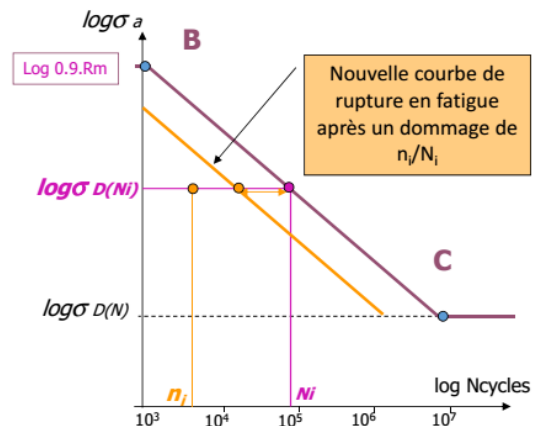
**• Exemple pour trois niveaux**

$$\log(\sigma_i) = a + b \cdot \log(N_i) \quad N_i = 10^{\frac{\log(\sigma_i) - a}{b}}$$



**• Calcul par la théorie de Miner**

$$N = 1000 \left[ \frac{0.9R_m}{\sigma} \right]^3 \log \left[ \frac{0.9R_m}{\sigma'D} \right]$$



**Exemple de calcul par la théorie de MINER**

Une pièce d'acier  $R_m = 555$  MPa et  $\sigma_D = 120$  Mpa supporte les sollicitations suivantes :

$n_1 = 40000$  cycles à  $\sigma_1 = 200$  Mpa, puis  $n_2 = 100000$  cycles à  $\sigma_2 = 140$  Mpa.

- Combien de cycles pourra-t-elle supporter à  $\sigma_3 = 50$  Mpa ?

- il aura-t-il un endommagement de la pièce ?

**Solution :**

La contrainte  $\sigma_3$  n'a pas d'influence sur la durée de vie de la pièce car  $\sigma_3 < \sigma_D$ . Il faut donc vérifier que la pièce résiste aux deux premiers niveaux de chargement (dommage <1)

$$N_1 = 84221 \text{ cycles} \quad N_2 = 473943 \text{ cycles}$$

$$N = 1000 \left[ \frac{0.9R_m}{\sigma} \right]^{\frac{3}{\log\left[\frac{0.9R_m}{\sigma'D}\right]}}$$

$N_3 =$  vie infinie

$$\sum_{i=1}^2 \frac{n_i}{N_i} = \frac{40000}{84221} + \frac{100000}{473943} = 0.68 < 1$$

La théorie de Miner prédit donc une durée de vie infinie pour l'application de  $\sigma_3$  après les 2 premiers niveaux de sollicitations.

## V.1. Propagation des fissures de fatigue

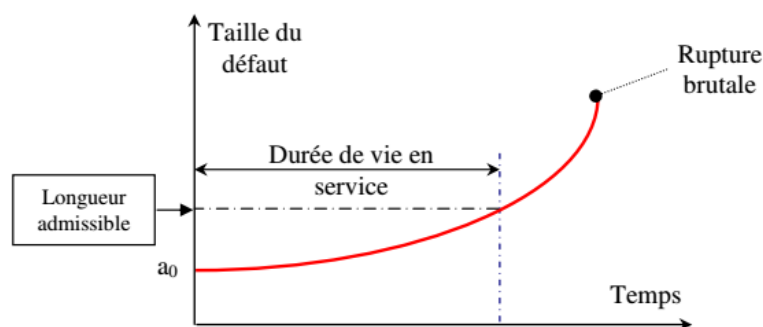
La MLR permet le calcul de la durée de vie d'une structure soumise à des sollicitations cycliques (phénomène de fatigue) ou sujette à des effets de corrosion sous tension, puisque dans ce cas :

- la vitesse de propagation des fissures est caractérisée par un paramètre tel que le FIC,
- et la taille critique de défaut (ne pas dépasser) est directement liée à la ténacité du matériau. Par exemple, pour la fissuration par fatigue des alliages métalliques, la propagation de fissure  $da/dN$  est généralement représentée par **la relation empirique de Paris** :

$$\frac{da}{dN} = A(\Delta K)^m$$

où  $A$  et  $m$  sont des constantes du matériau, et  $\Delta K$  l'amplitude du facteur d'intensité des contraintes. Parce que les structures contiennent inévitablement des défauts de type fissure, défauts en général inhérents aux procédés même de fabrication des composants, leurs dimensions sont choisies de sorte que ces défauts ne puissent atteindre la taille critique conduisant à la rupture brutale : il s'agit du concept de tolérance au dommage. La MLR fournit les outils nécessaires pour déterminer cette taille critique et suivre la propagation de la fissure. L'évolution au cours du temps de la taille d'un défaut (de type fissure de fatigue ou de corrosion sous tension) illustre bien le concept de tolérance au dommage.

En pratique, la longueur de fissure initiale  $a_0$  correspond à la limite de détection des moyens de contrôle non destructif, et la longueur critique est déterminée à partir du chargement appliqué et de la ténacité du matériau. Quant au coefficient de sécurité, il est choisi de sorte que la longueur admissible du défaut reste inférieure à la longueur critique. La durée de vie de la structure est alors déterminée en calculant le temps nécessaire pour que la longueur de défaut passe de  $a_0$  à la longueur admissible.



**Figure V.1:** Concept de tolérance au dommage

### V.1.1. Représentation schématique de la $da/dN$ en fonction de $\Delta K$ (en échelle log.)

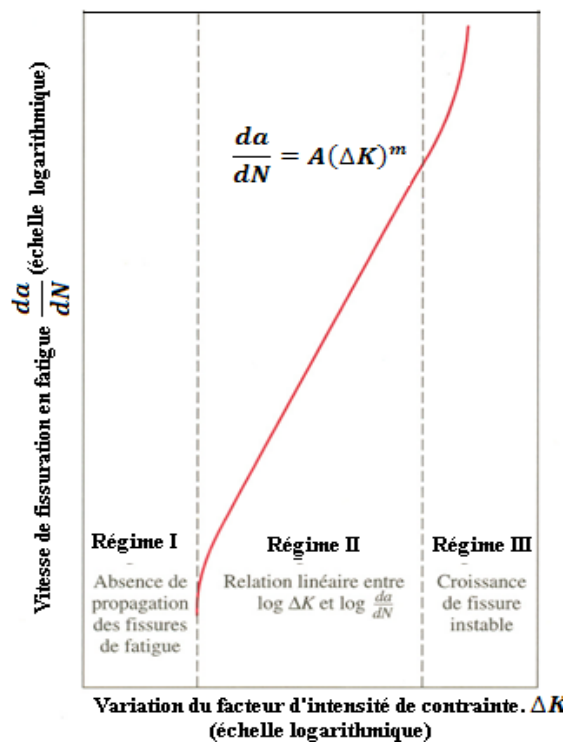
3 régimes distincts :

**Régime I** : contraintes faibles ou petites fissures  $\Rightarrow$  Aucune propagation des fissures existantes

**Régime II** : courbe quasi-linéaire  $\Rightarrow$  Propagation régulière des fissures

**Régime III** : accélération de la fissuration  $\Rightarrow$  Propagation brutale des fissures

La courbe ainsi obtenue présente généralement une allure décrite sur la précédente figure est constituée de 3 domaines caractéristiques, désignés I, II, et III



**Figure V.2:** représentation schématique de la courbe de Paris.

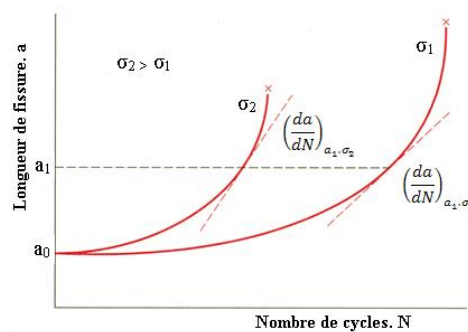
- Le domaine **I** se caractérise par une rapide décroissance de la vitesse de propagation lorsque la valeur de  $\Delta K$  approche d'une valeur caractéristique. Cette valeur est appelée seuil de propagation et notée  $\Delta K_{\text{seuil}}$ . En dessous de cette valeur, l'endommagement en pointe de fissure engendré par le chargement cyclique devient si faible qu'il est quasiment impossible de détecter expérimentalement une avancée de fissure. Ce domaine est en outre caractérisé par une forte influence de la

- microstructure, du rapport de charge et de l'environnement. Dans le domaine **II**, la courbe présente généralement une partie linéaire sur un assez large intervalle. Cette linéarité traduit une dépendance en loi puissance de la vitesse de propagation par rapport à l'amplitude de facteur d'intensité de contrainte  $\Delta K$ .
- Le domaine **III** correspond à une accélération de la propagation juste avant la rupture brutale. Celle-ci intervient lorsque la valeur maximale du facteur d'intensité de contrainte au cours du cycle  $K_{\max}$  devient égale à une valeur critique caractéristique du matériau notée  $K_c$  (ténacité). En pratique, ce dernier domaine ne revêt que peu d'importance dans la mesure où il ne concerne qu'une très faible partie de la durée de vie en propagation et que le dimensionnement a précisément pour objet d'éviter de faire opérer la structure dans ce domaine.

### V.1.1.2. Vitesse de fissuration

Des études de fatigue ont montré que la durée de vie d'une pièce est liée à la vitesse de fissuration. Durant le stade II, une fissure de très faible taille peut se propager et atteindre une taille critique. Courbe de la longueur de la fissure ( $a$ ) en fonction du nombre de cycle  $N$   $s_1$  et  $s_2$  contraintes appliquées  $da/dN$  vitesse de fissuration

$a_0$ : longueur de fissure initiale



**Figure V.3:** Variation de la longueur de la fissuration en fonction du nombre de cycle

#### 2 résultats importants :

- ❑ Au début la vitesse est faible, puis elle augmente avec la longueur de la fissure
- ❑ Elle s'accroît avec l'amplitude de la contrainte appliquée pour une longueur de fissure donnée

La vitesse de fissuration en fatigue lors du **stade II** varie en fonction de :

- l'amplitude de la contrainte appliquée
- la taille de la fissure
- les variables propres au matériau

La vitesse de fissuration en fatigue s'écrit sous la forme  $\frac{da}{dN} = A(\Delta K)^m$

avec  $A$  et  $m$  constantes propres au matériau qui dépendent de l'environnement, de la fréquence et du rapport des contraintes ( $R$ ), ( $m$  compris entre 2 et 10)

**$\Delta K$**  variation du facteur d'intensité de contrainte à l'extrémité de la fissure

$$\Delta K = \Delta K_{max} - \Delta K_{min}$$

$$\Delta K = Y \Delta \sigma \sqrt{\pi a} = Y(\sigma_{max} - \sigma_{min}) \sqrt{\pi a}$$

**Régime II : courbe quasi-linéaire**

$$\log\left(\frac{da}{dN}\right) = \log[A(\Delta K)^m] \Leftrightarrow \log\left(\frac{da}{dN}\right) = m \log \Delta K + \log A$$

Segment linéaire dont la pente et le point d'interception sont respectivement  $m$  et  $\log A \Rightarrow$  déterminés à partir de données expérimentales.

### V.1.1.3. Durée de vie en fatigue : calcul de $N_r$

$$dN = \frac{da}{A(\Delta K)^m}$$

$$\Rightarrow N_r = \int_0^{N_r} dN = \int_{a_0}^{a_c} \frac{da}{A(\Delta K)^m}$$

$$N_r = \int_0^{N_r} dN = \int_{a_0}^{a_c} \frac{da}{A(Y\Delta\sigma\sqrt{\pi a})^m}$$

$$N_r = \frac{1}{A\pi^{m/2}(\Delta\sigma)^m} \int_{a_0}^{a_c} \frac{da}{Y^m a^{m/2}}$$

$$N_r = \frac{1}{A.Y^m\sigma^m\pi^{m/2}} \times \frac{1}{m/2 - 1} \left[ \frac{1}{a^{m/2-1}} \right]_{a_0}^{a_c}$$

$$N_r = \frac{1}{A.Y^m\sigma^m\pi^{m/2}} \times \frac{1}{m/2 - 1} \times \left( \frac{1}{a_0^{m/2-1}} - \frac{1}{a_c^{m/2-1}} \right)$$

La loi proposée par Paris ne décrit pas la totalité de la courbe; cependant, d'autres lois empiriques ou analytiques ont été proposées pour décrire l'ensemble de la courbe de propagation.

Forman, pour tenir compte de l'augmentation asymptotique de la vitesse de fissuration lorsque  $K_{max} \rightarrow K_{IC}$ , proposa une amélioration de la relation de Paris pour décrire les domaines II et III de la courbe de propagation :



$$\frac{da}{dN} = \frac{A(\Delta K)^m}{(1-R)(K_{IC} - K_{max})}$$

Où  $A$  est une constante dépendant du matériau, pour les aciers  $m$  est de l'ordre de 10. Cette relation ne tient pas compte de l'existence d'un seuil de fissuration mais fait intervenir l'influence du rapport de charge  $R$  sur la vitesse de fissuration.

Pour rendre compte de l'effet de seuil dans la région I, des auteurs proposèrent quant à eux une modification de la relation sous la forme

$$\frac{da}{dN} = A(\Delta K_m - \Delta K_{seuil}^m)$$

**Frost** a alors proposé une relation qui rend compte de l'ensemble de la courbe de propagation, établie pour des aciers ferrito-perlitiques

$$\frac{da}{dN} = B \left[ \frac{(\Delta K_m - \Delta K_{seuil}^m)^4}{R_m^2 (K_{IC}^2 - K_{max}^2)} \right]^n$$

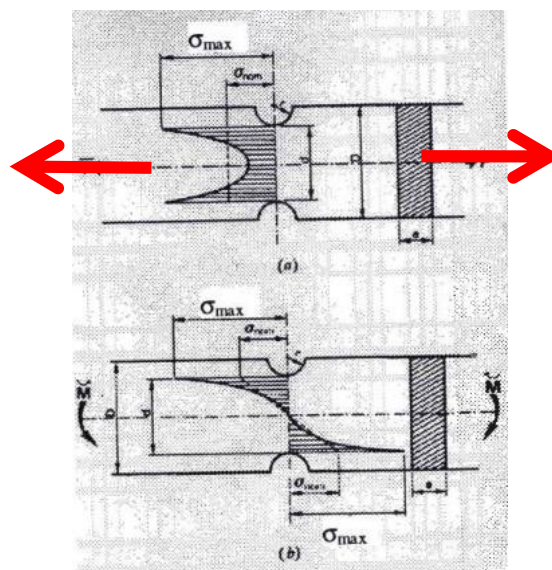
$K_{IC}$  désignant la valeur critique du facteur d'intensité de contraintes,  $K_{seuil}$  est la valeur de  $\Delta K$  au seuil de propagation pour un rapport de charge  $R$  donné,  $R_m$  est la résistance à la traction du matériau,  $B$  et  $n$  sont des constantes caractéristiques du matériau.

## VI. Effet d'entaille

### VI.1. Introduction

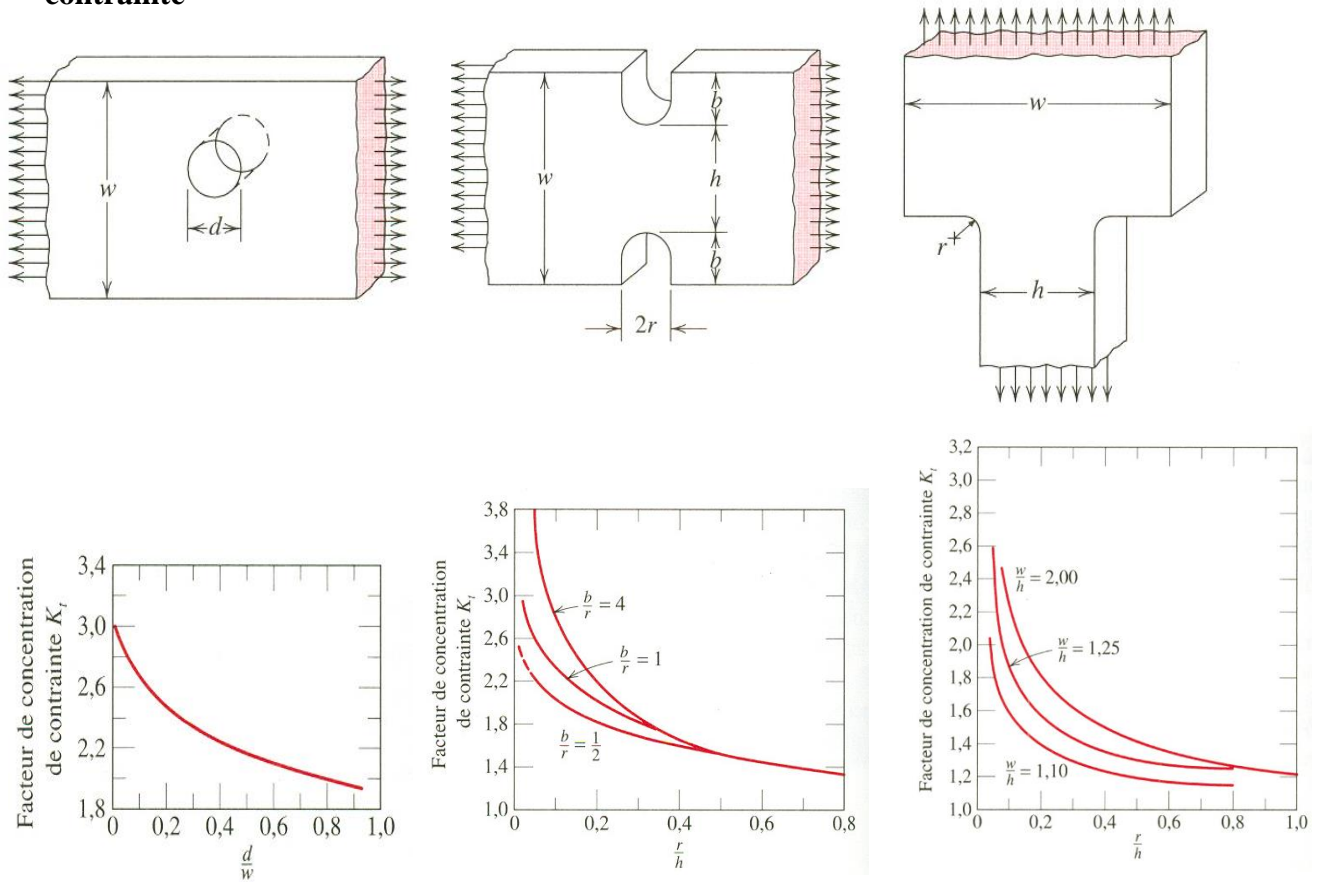
D'une manière générale, on appelle «entaille» une discontinuité imposée ou accidentelle de la forme de la pièce ou une non-homogénéité du matériau qui la constitue. Les entailles peuvent être de trois types:

- métallurgiques,
- mécaniques (conception),
- de service (se formant durant l'utilisation). Ces discontinuités (qui peuvent être un trou, un clavetage,...) conduisent à la modification du champ de contrainte (Figure 1). C'est à dire à la création de zones dans lesquelles les contraintes sont nettement supérieures à la contrainte nominale ou à la contrainte globale résultante des efforts appliqués. On appelle cette localisation élevée de la contrainte "concentration de contrainte". Ces concentrations de contrainte associées aux discontinuités géométriques réduisent les résistances statiques et cyclique des structures



**Figure VI.1:** a) Éprouvette soumise à un effort de traction  
b) Éprouvette soumise à un moment de flexion

### VI.2. Formes géométriques entaillées et facteur de concentration de contrainte



### VI.3. Facteur de concentration de contrainte

Dans le domaine élastique, Peterson définit le facteur de concentration de contrainte de deux manières différentes:

- La première est le rapport de la contrainte maximale à fond d'entaille et la contrainte nominale:

$$K_t = \frac{\sigma_{max}}{\sigma_{nom}} \quad \text{Pour la contrainte normale (traction et flexion)}$$

$$K_{tS} = \frac{\tau_{max}}{\tau_{nom}} \quad \text{Pour le cisaillement et torsion}$$

$\sigma_{max}$  et  $\tau_{max}$  sont les contraintes maximales en fond d'entaille calculées par éléments finis ou évoluées par photoélasticimétrie.

$\sigma_{nom}$  et  $\tau_{nom}$  sont les contraintes nominales en fond d'entaille calculées à l'aide des formules de résistance des matériaux.

**Seconde** est le rapport de la contrainte maximale à fond d'entaille et la contrainte globale (contrainte loin de la zone perturbée).

$$K_t = \frac{\sigma_{max}}{\sigma_s} \quad \text{Pour la contrainte normale (traction et flexion)}$$

$$K_{ts} = \frac{\tau_{max}}{\tau_s} \quad \text{Pour le cisaillement et torsion.}$$

$\sigma_{max}$  et  $\tau_{max}$  sont les contraintes maximales en fond d'entaille

$\sigma_g$  et  $\tau_g$  sont les contrainte globales en fond d'entaille 'calculées à l'aide des formules de résistance des matériaux.

On constate que ce facteur dépend de la géométrie locale de la pièce et du type de sollicitation. Une autre définition du facteur de concentration de contrainte apparait dans le domaine élasto-plastique. Ce facteur est défini de deux façons:

□ **La première** est le rapport de la contrainte **locale** et la contrainte **nominale** à fond d'entaille:

$$K_\sigma = \frac{\sigma_l}{\sigma_{nom}} \quad \text{Pour la contrainte normale (traction et flexion)}$$

$$K_{\sigma_s} = \frac{\tau_l}{\tau_{nom}} \quad \text{Pour le cisaillement (torsion)}$$

$\sigma_l$  et  $\tau_l$  sont les contraintes locales

$\sigma_{nom}$  et  $\tau_{nom}$  sont les contrainte nominales en fond d'entaille 'calculées à l'aide des formules de résistance des matériaux.

□ **La seconde** est le rapport de la contrainte **locale** à fond d'entaille et la contrainte **globale** (contrainte loin de la zone perturbée).

$$K_\sigma = \frac{\sigma_l}{\sigma_s} \quad \text{Pour la contrainte normale (traction et flexion)}$$

$$K_{\sigma_s} = \frac{\tau_l}{\tau_s} \quad \text{Pour le cisaillement (torsion)}$$

$\sigma_g$  et  $\tau_g$  sont les contrainte globales en fond d'entaille 'calculées à l'aide des formules de résistance des matériaux.

On constate que ce facteur ne dépend pas seulement de la géométrie locale de la pièce et du type de sollicitation, mais de la nature du matériau et de la charge.

#### VI.4. Facteur de concentration de contrainte en fatigue ( $k_f$ )

Selon Peterson, le facteur de concentration de contrainte en fatigue  $K_f$  représente le rapport entre la limite d'endurance d'une éprouvette lisse et la limite d'endurance d'une éprouvette entaillée.

$$K_f = \frac{\sigma_{D,L}}{\sigma_{D,ent}} \quad \text{Pour la contrainte normale (traction et flexion)}$$

$$K_{f_s} = \frac{\tau_{D,L}}{\tau_{D,ent}} \quad \text{Pour le cisaillement (torsion)}$$

$\sigma_{D,L}$  et  $\tau_{D,L}$  ont les limites d'endurance d'éprouvette lisse

$\sigma_{D.ent}$  et  $\tau_{D.ent}$  ont les limites d'endurance d'éprouvette entaillée

D'autres définitions présentent ce facteur comme le rapport de l'amplitude de contrainte d'une éprouvette lisse et l'amplitude de contrainte d'une éprouvette entaillée.

$$K_{f(N_r)} = \frac{\sigma_L}{\sigma_n} \quad \text{Pour la contrainte normale (traction et flexion)}$$

$$K_{fs(N_r)} = \frac{\tau_L}{\tau_n} \quad \text{Pour le cisaillement (torsion)}$$

$\sigma_L$  et  $\tau_L$  ont les limites d'endurance d'éprouvette lisse

$\sigma_n$  et  $\tau_n$  ont les limites d'endurance d'éprouvette entaillée

Ce facteur est donc un coefficient expérimental, calculé à partir d'essais de fatigue. Il rend une valeur comprise entre 1 et  $K_t$ .

$$1 \leq k_f < K_t$$

### VI.5. Facteur de sensibilité à l'entaille en fatigue (q)

Dans le cas de la rupture par fatigue, on notera que pour un matériau donné, la limite d'endurance diminue quand le facteur de concentration de contrainte  $K_t$  augmente. Cette diminution est d'autant plus forte que le matériau possède des caractéristiques mécaniques élevées. D'autre part, pour les fortes valeurs de  $K_t$  on observe que la limite d'endurance est sensible aux variations de la résistance statique de l'acier. Ces observations ont amené Peterson à définir un coefficient de sensibilité à l'entaille  $q$ , qui s'exprime par:

$$q = \frac{K_f - 1}{K_t - 1} \quad \text{Pour la contrainte normale (traction et flexion)}$$

$$q = \frac{K_{fs} - 1}{K_{ts} - 1} \quad \text{Pour le cisaillement (torsion)}$$

$$k_f = 1 + q(K_t - 1)$$

### VI.6. Relation du nombre de cycle(N) avec la fraction de la résistance à la fatigue (f)

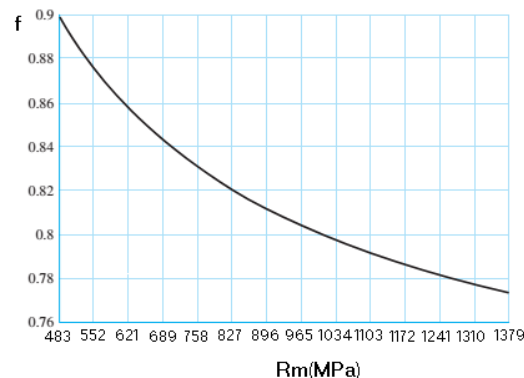


Figure VI.2 : fraction de résistance à la fatigue en fonction de la résistance maximale

**f**: Fraction de la résistance à la fatigue

Si  $R_m < 483$  MPa,  $f=0.9$

$$\sigma_f = aN^b$$

**a** et **b** constantes;

$$a = \frac{(fR_m)^2}{\sigma_D}$$

$$b = -\frac{1}{3} \log \left( \frac{fR_m}{\sigma_D} \right)$$

$$N = \left( \frac{\sigma_{rev}}{a} \right)^{1/b}$$

$K_f$  et  $K_{fs}$  sont les facteurs de concentration de contrainte en fatigue.

$K_t$  et  $K_{ts}$  sont les facteurs de concentration de contrainte élastique

La connaissance du paramètre **q**, fonction des caractéristiques mécaniques du matériau et en particulier de sa charge à la rupture, permet d'estimer le facteur de concentration de contrainte en fatigue  $K_f$  de ce matériau entaillé ( $K_t$  connu) et conduit à la connaissance de la limite d'endurances sous entaille sans avoir à réaliser d'essais

### VI.7. Détermination des durées de vie des pièce entaillés en fatigue

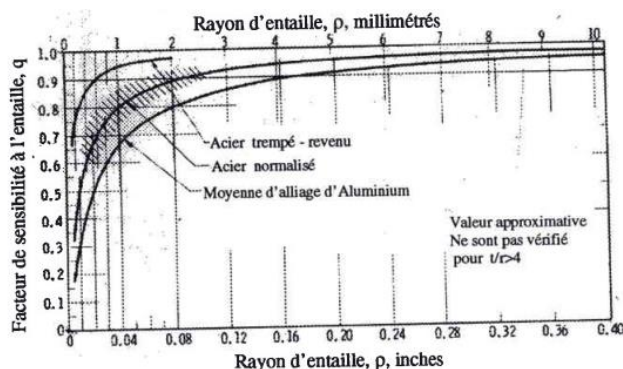
La variation du facteur de sensibilité à l'entaille en fatigue **q**, fonction du rayon en fond d'entaille **ρ** (Figure 2), est donnée par une relation empirique

$$q = \frac{1}{1 + \frac{a_p}{\rho}}$$

**ρ** est le rayon de l'entaille en mm.

**a<sub>p</sub>** est une constante qui évolue en fonction du  $R_m$  (résistance ultime), et est donnée par la

relation:  $a_p = \left( \frac{270}{R_m} \right)^{1.8}$ , Où  $a_p$  est en mm et  $R_m$  en MPa.



**Figure VI.3** : Variation du facteur de sensibilité à l'entaille en fatigue **q** en fonction du rayon en fond d'entaille **ρ** selon Peterson

### VI.7.1. Cas du comportement élasto-plastique

Si les contraintes locales amènent la région où a lieu l'amorçage en plasticité, le phénomène de l'amorçage est simulé par le comportement d'une éprouvette lisse dans la fatigue oligo-cyclique, c'est à dire dans le domaine des courtes durées de vie. On a alors deux façons de procéder pour connaître l'amplitude des contraintes locales dans la zone d'amorçage :

- soit par un calcul éléments finis élasto-plastique (calcul long, couteux et surtout qui nécessite la connaissance de la loi de comportement local)
- soit par des méthodes de calcul élasto-plastique simplifié, tels que celles qui utilisent la règle de **Neuber** et l'équation d'écroutissage cyclique du matériau étudié obtenue à partir d'essais uniaxiaux sur éprouvettes lisses, dont nous présentons ici la méthodologie.

### VI.7.2. Fatigue contrôlée par déformation élastique

Nous avons la relation de l'amplitude de contrainte en fonction du nombre de cycle de rupture:

$$\sigma_a = \sigma'_f (2N_R)^b$$

Tel que :  $\sigma_a$  = amplitude de la contrainte

$\sigma'_f$ : Coefficient de la résistance à la fatigue

b: Constante de **Basquin** sa valeur est de 0.12- 0.2

$$\varepsilon_{ael} = \frac{\Delta \varepsilon_{el}}{2} = \frac{\sigma_a}{E} = \left( \frac{\sigma'_f}{E} \right) \cdot (2N_f)^b$$

### VI.7.3. Fatigue contrôlée par déformation plastique

$$\varepsilon_a^{pl} = \frac{\Delta \varepsilon_{pl}}{2} = \varepsilon'_f \cdot (2N_f)^c \quad \text{Tel que: } c \text{ constante } \mathbf{Manson-Coffin} = 0.5- 0.6$$

$\varepsilon'_f$  : Coefficient de ductilité en fatigue.

Le coefficient  $\varepsilon'_f$  dépend du comportement en dureté du matériau

D'après Neuber, il associe l'effet de la déformation élastique et la déformation plastique sur la fatigue des matériaux (Figure 60).

Déformation élevée, cela veut dire une forte contrainte, cela entraîne une déformation plastique (HCF).

Déformation diminuée, cela veut dire une faible contrainte cela entraîne une déformation plastique (LCF).

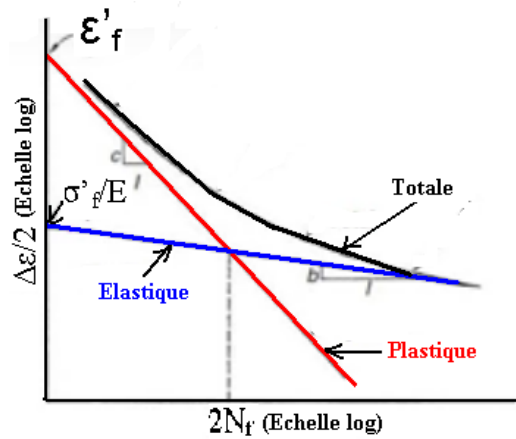


Figure VI.4 : Déformation en fonction du nombre de cycle

### VI.8. Méthodologie de la règle de Neuber

En Prenant le cas d'un sotde entaillé, sollicité en cisaillement pur, Neuber a démontré que :

$$k_t^2 = k_\sigma \cdot k_\epsilon$$

Où

$k_t$  est le facteur de concentration de contrainte dans le domaine élastique

$k_\sigma$  et  $k_\epsilon$  sont les facteursde concentrationdansle domaineélasto-plastique définis par les

$$\text{relations: } k_\sigma = \frac{\sigma}{\sigma_{nom}}, \quad k_\epsilon = \frac{\epsilon}{\epsilon_{nom}}$$

$\sigma$  et  $\epsilon$  sont respectivement l'amplitude de la contrainte et de la déformation locale.

$\sigma_n$  et  $\epsilon_n$  l'amplitude de la contrainte et de la déformation nominale.

D'une part, l'application de la règle de **Neuber** se fait à l'aide de l'équation suivante :

$$\Delta\sigma\Delta\epsilon = K_f^2 \Delta\sigma_n \cdot \Delta\epsilon_n$$

Si le chargement nominal est élastique, on a :  $\Delta\epsilon_{norm} = \frac{\Delta\sigma}{E}$

Où, E: est le module d'élasticité du matériau,  $\Delta\sigma_{norm}$  et  $\Delta\epsilon_{norm}$  sont respectivement les variations des contraintes et des déformations.

On peut donc écrire que :

$$\Delta\sigma\Delta\epsilon = K_f^2 \frac{\Delta\sigma_{norm}^2}{E}$$

D'autre part, la courbe d'écrouissage cyclique, qui est issue d'essais sur éprouvettes comme le décrit la fig. 4, s'écrit sous la forme :

$$\frac{\Delta\epsilon}{2} = \frac{\Delta\epsilon^e}{2} + \frac{\Delta\epsilon^p}{2} \quad \Leftrightarrow \quad \frac{\Delta\epsilon}{2} = \frac{\Delta\sigma}{2E} + \left(\frac{\Delta\sigma}{2K}\right)^{1/n}, \quad \text{Où } \frac{\Delta\sigma}{2} : \text{ amplitude de la contrainte}$$

$\frac{\Delta\epsilon}{2}$  : : amplitude de la déformation totale

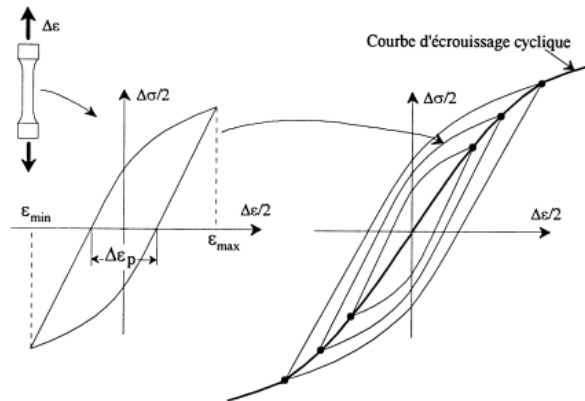


$\frac{\Delta\epsilon^e}{2}$  et  $\frac{\Delta\epsilon^p}{2}$  : respectivement parties élastique et plastique de l'amplitude de déformation totale

E : module d'Young

$n'$  : coefficient d'écroutissement cyclique

$K'$  : coefficient de résistance à la déformation cyclique



**Figure. VI.5:** Construction de la courbe d'écroutissement cyclique

La combinaison des deux équations précédentes donne l'état de contrainte locale  $(\Delta\epsilon, \Delta\sigma)$ . Enfin, la connaissance de l'équation de Manson-Coffin (ci-dessous) et de  $\Delta\epsilon$  permet de trouver le nombre de cycles à l'amorçage  $N_a$  (figure 62)

$$\frac{\Delta\epsilon}{2} = \frac{\Delta\epsilon^e}{2} + \frac{\Delta\epsilon^p}{2}$$

$$\epsilon_{ael} + \epsilon_a^{pl} = \left(\frac{\sigma'_f}{E}\right) \cdot (2N_f)^b + \epsilon'_f \cdot (2N_f)^c$$

Où

$\sigma'_f$  : coefficient de résistance à la fatigue

$\epsilon'_f$  : coefficient de ductilité en fatigue

$N_f$  : nombre de cycles à rupture

E, b, c : respectivement module d'Young, exposant de Basquin et exposant de ductilité en fatigue

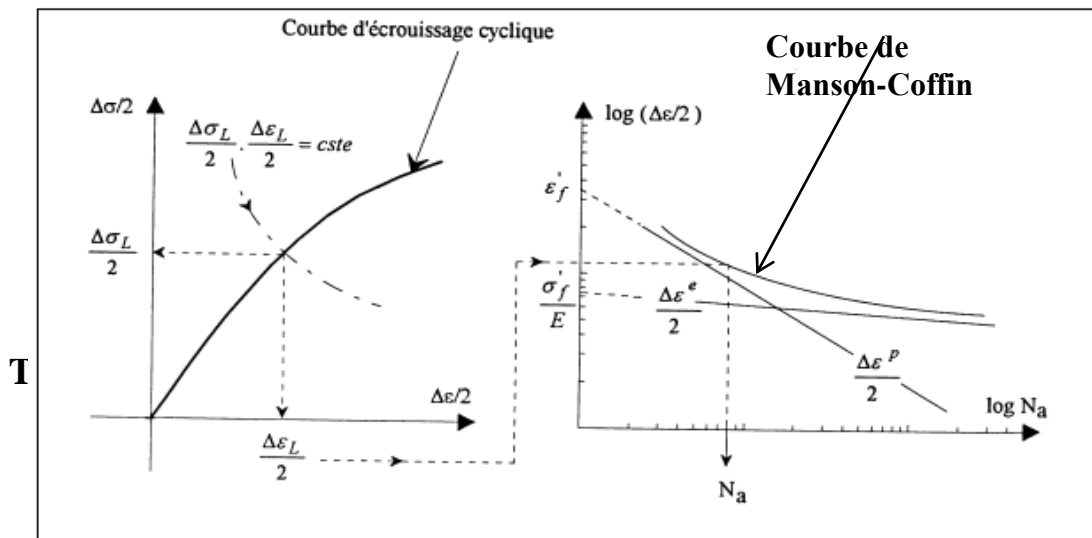


Figure VI.6: Procédure de calcul de Na avec l'approche de Neuber

Auteur	Expression	Paramètre
Peterson [3]	$K_f = 1 + \frac{K_t - 1}{1 + \left(\frac{a_p}{\rho}\right)}$	$a_p$ : constante du matériau
Heywood [11]	$K_f = \frac{K_t}{1 + 2\sqrt{\frac{C_H}{\rho}}}$	$C_H = f$ (résistance ultime de matériau $R_m$ , géométrie)
Siebel et Stieler [12]	$K_f = \frac{K_t}{1 + \sqrt{1 + C_s \cdot \chi}}$	$C_s = f$ ( $R_e$ , constante du matériau)
Neuber [13]	$K_f = 1 + \frac{K_t - 1}{1 + \sqrt{\frac{a_N}{\rho}}}$	$a_N = f(R_m)$
Khun et Hardraht [14]	$K_f = 1 + \frac{K_t - 1}{1 + \frac{\pi}{\pi - \omega} \sqrt{\frac{C_{KH}}{\rho}}}$	$C_{KH} = f(R_m)$ $\omega$ : angle d'ouverture d'entaille

L'équation de Neuber, est donnée par la relation suivante :

$$K_f = 1 + \frac{K_t - 1}{1 + \sqrt{a/r}}$$

L'équation de sensibilité à l'entaille est donné par :

$$q = \frac{1}{1 + \frac{\sqrt{a}}{\sqrt{r}}}$$

### Exemple d'application 1

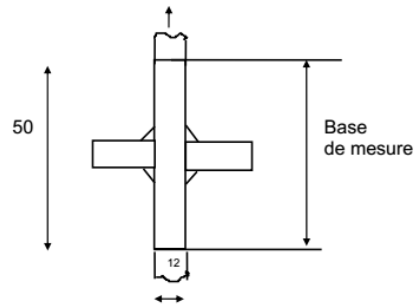
Des essais de fatigue oligocyclique ont été réalisés sur des joints soudés en croix réalisés en acier E 36 dont les caractéristiques sont les suivantes :

E=195000

Re=420 MPa

Rm=570 MPa

largeur éprouv. : 60



Les essais ont été réalisés sous amplitude de déformation imposée. Les résultats sont consignés dans le tableau ci-dessous. L'essai a été arrêté lorsqu'une chute de charge de 50 % a été décelée.

1° Déterminer les courbes de Manson Coffin

2° Tracer la courbe d'écrouissage cyclique.

$\frac{\Delta \varepsilon_t}{2} \%$	$\frac{\Delta \varepsilon_e}{2} \%$	$\frac{\Delta \varepsilon_p}{2} \%$	$\frac{\Delta \sigma}{2} \text{ MPa}$	N
0,151	0,116	0,035	225	46520
0,216	0,131	0,085	255	17000
0,245	0,137	0,108	267	13150
0,246	0,140	0,106	273	9316
0,255	0,140	0,115	272	7911
0,260	0,140	0,120	273	10570
0,402	0,147	0,255	285	4460
0,570	0,180	0,390	349	1379
0,565	0,186	0,379	362	1315
0,570	0,179	0,391	349	1789
0,586	0,172	0,414	335	1751
0,628	0,185	0,443	360	820
0,739	0,190	0,549	370	563
0,861	0,216	0,645	420	388
0,995	0,203	0,792	394	452
1,001	0,208	0,793	404	503
1,016	0,203	0,813	394	592
1,013	0,207	0,806	403	465
1,601	0,220	1,381	428	99
1,626	0,229	1,397	446	110
1,627	0,233	1,394	454	165
1,641	0,226	1,415	439	108

Neuber a proposé une autre relation pour calculer le coefficient de sensibilité à l'entaille :

$$q = \frac{1}{1 + \sqrt{\frac{a_n}{\rho}}}$$

Où  $a_n$  est un paramètre caractéristique, donné sur la Figure VI.6

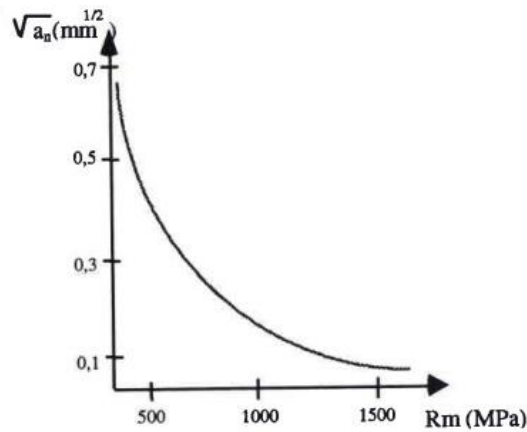


Figure VI.7: Variation de la grandeur caractéristique  $\sqrt{a_n}$  dans la formule de Neuber.

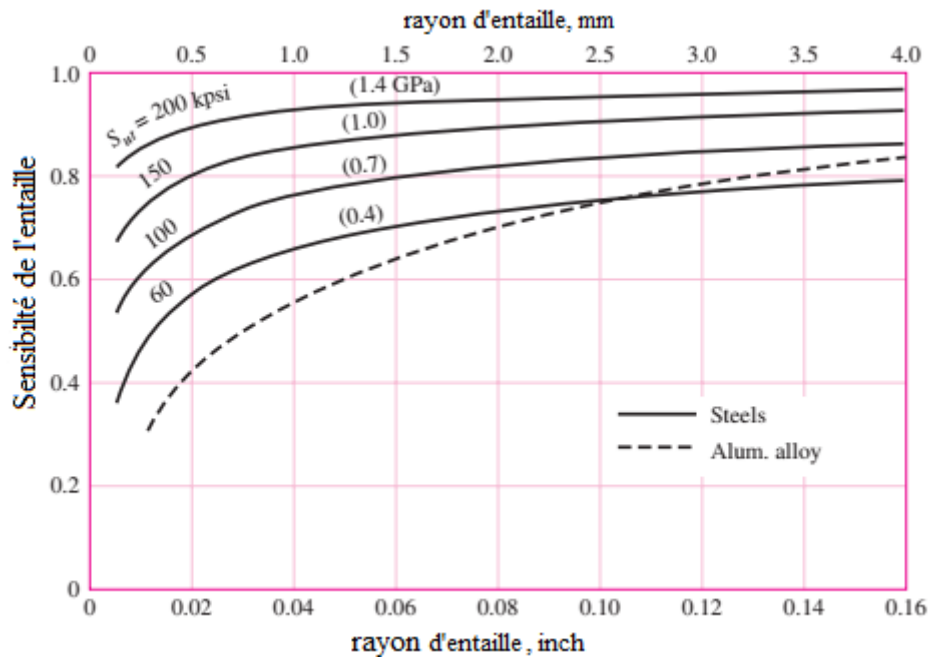


Figure VI.8: sensibilité à l'entaille pour aciers et alliages d'aluminium corroyés soumis à une flexion inversée ou charges axiales inversées.

Flexion ou axial :  $\sqrt{a} = 0.246 - 3.08(10^{-3})\sigma_{max} + 1.5(10^{-5})\sigma_{max}^2 - 2.67(10^{-8})\sigma_{max}^3$

Torsion :  $\sqrt{a} = 0.190 - 2.51(10^{-3})\sigma_{max} + 1.35(10^{-5})\sigma_{max}^2 - 2.67(10^{-8})\sigma_{max}^3$

### **Exemple d'application 2**

Un arbre en acier en flexion a une résistance maximale de 690 MPa et un épaulement avec un rayon de congé de 3 mm reliant un diamètre de 32 mm à un diamètre de 38 mm.

Estimez  $K_f$  en utilisant :

- (a) La figure VI.8.
- (b) Les équations de Neuber.

### **Solution :**

A partir de l'abaque, en utilisant  $D/d = 38/32 = 1.1875$ ,  $r/d = 3/32 = 0.09375$ , nous lisons le graphique pour trouver  $K_t = 1.65$ .

D'après l'équation de Neuber  $\sigma_m = 690$  MPa,  $\sqrt{a} = 0,313\sqrt{\text{mm}}$ , avec  $r = 3$  mm, en substituant ce résultat dans l'équation de Neuber, on obtient :

$$K_f = 1 + \frac{K_t - 1}{1 + \sqrt{a/r}} = 1 + \frac{1.65 - 1}{1 + \frac{0.313}{\sqrt{3}}} = 1.55$$

### **VI.9. Kuhn et Hardraht**

pour tenir compte de l'effet de l'angle d'entaille  $w$ , Kuhn et Hardraht proposent l'équation suivante :

$$q = \frac{1}{1 + \frac{\pi}{\pi - w} \sqrt{\frac{a_{nk}}{\rho}}}$$

$p$  est le rayon d'entaille, et  $a_{nk}$  est une constante qui dépend de la résistance ultime. Elle prend des valeurs comprises entre 0,025 et 0,51mm,  $w$  est l'angle d'ouverture de l'entaille.

### **VI.10 Switech et Bush**

Switech et Bush ont proposé une relation à deux paramètres pour calculer le facteur de concentration de contrainte:

$$\frac{K_f}{K_t} = f(\rho, A, h)$$

Où:  $\rho$  est le rayon en fond d'entaille.

$A$  et  $h$  sont des constantes qui dépendent du matériau et du type d'éprouvette. Ils ont supposé que la rupture par fatigue se produit si la contrainte  $\sigma_k$ , sur la couche critique d'épaisseur  $h$  du fond d'entaille, est égale ou supérieure à une valeur critique  $\sigma_c$ .

$$\sigma_k = \sigma_c = A \sigma_{D.L}$$

Où  $\sigma_{D.L}$  est la limite d'endurance d'une éprouvette lisse.

En supposant que A et h sont des constantes, le gradient de la contrainte écrit:

$$\frac{d\sigma}{dx} = \frac{(\sigma_{max} - \sigma_k)}{h}$$

Mais on peut écrire :

$$\frac{d\sigma}{dx} = B \frac{\sigma_{max}}{\rho}$$

Où B est un facteur de proportionnalité déterminé à partir de la solution élastique de la distribution des contraintes, Dans ce cas:

$$\frac{(\sigma_{max} - \sigma_k)}{h} = B \frac{\sigma_{max}}{\rho}$$

$$\sigma_{max} = \frac{\sigma_k}{\left(1 - B \frac{h}{\rho}\right)} = \frac{A\sigma_{D.L}}{\left(1 - B \frac{h}{\rho}\right)}$$

En considérant que la contrainte nominale  $\sigma_{nom}$  est égale à la limite d'endurance de l'éprouvette entaillée  $\sigma_{D.n}$ , peut écrire:

$$\frac{\sigma_{max}}{\sigma_{nom}} = \frac{A\sigma_{D.L}}{\sigma_{D.n} \left(1 - B \frac{h}{\rho}\right)}$$

Et quand:

$$k_t = \frac{\sigma_{max}}{\sigma_{nom}} \quad \text{et} \quad k_f = \frac{\sigma_{D.L}}{\sigma_{D.n}}$$

On obtient:

$$k_f = \frac{k_t}{A} \left(1 - B \frac{h}{\rho}\right)$$

Où A, h et B sont des constants qui dépendent du matériau et du type de l'éprouvette

## VI.11. Approche basée sur la mécanique linéaire de la rupture

Topper et El Haddad calculent le facteur de concentration de contrainte en fatigue par la relation suivante :

$$k_f = \frac{1}{F_\sigma} \left(1 + \sqrt{\frac{a_0}{I_0}}\right)$$

Où :  $a_0$  est la profondeur de l'entaille

$F_\sigma$  est un facteur géométrique

$I_0$  est une constante qui dépend du matériau

Ils ont défini le facteur de sensibilité à l'entaille par les relations suivantes:

$$q = \frac{1}{F_\sigma} \sqrt{\frac{\rho}{4.I_0}} \quad \text{pour } \rho \leq 4.I_0$$

$q=1$  pour  $\rho > 4 \cdot l_0$

## VI.12. Gradient de contrainte (Brand)

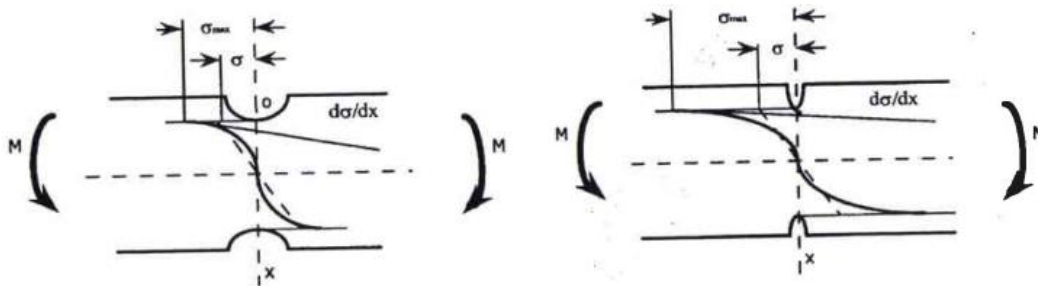
Selon Brand, l'effet d'échelle est pris en compte correctement en utilisant le gradient de contrainte  $\chi$ :

$$\chi = \lim_{\chi \rightarrow 0} \frac{1}{\hat{\sigma}} \frac{d\sigma}{d\chi}$$

où :  $\hat{\sigma}$  est la contrainte maximale réelle en fond d'entaille.

$X$  : est le gradient de contrainte, s'exprime en  $\text{mm}^{-1}$

Deux éprouvettes entaillées ont la même section nette en fond d'entaille et sont soumises au même moment de flexion. L'une présente une entaille à faible  $k_t$ , et l'autre une entaille à fort  $k_t$  (Figure VI.8). On constate que les pentes de la tangente, au champ de contrainte en fond d'entaille, sont différentes.



**Figure VI.8:** Evolution du champ de contrainte et de la tangente

Les valeurs de gradients de contrainte peuvent être calculées, dans certain cas, à l'aide du tableau VI.1.:

Après avoir analysé un grand nombre de données de fatigue obtenues sur des éprouvettes lisses et entaillées, Brand propose la relation suivante, pour déterminer la limite d'endurance.

$$\hat{\sigma}_D = k_t \cdot \sigma_D = a \cdot \log X + b$$

$\hat{\sigma}_D$ , est la limite d'endurance réelle.

$\sigma_D$  est la limite d'endurance nominale pour une probabilité de 90 %

$a$  et  $b$  sont des constantes du matériau données dans le tableau V.I.2.

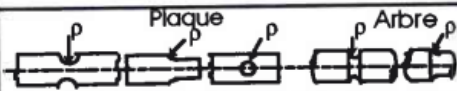

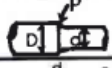


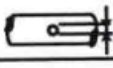
pour le tracé prévisionnel d'une courbe de Wöhler en présence d'entaille, Brand a proposé la relation suivante:

$$\hat{\sigma}_{DN} = c_2 + b_2 \cdot \log N + a_2 \cdot \log X$$

$\hat{\sigma}_{DN}$ , est la limite d'endurance réelle à  $N$  nombre de cycles.

$a_2$ ,  $b_2$  et  $c_2$  sont fonctions de la résistance maximale  $R_m$  (Figure VI.9)

**Tableau VI.1:** Formules permettant le calcul du gradient  $X$

Sollicitation	Types de pièces	$\chi$
Traction		$\frac{2}{p}$
Flexion		$\frac{2}{p} + \frac{2}{d}$
		$\frac{2}{p} + \frac{4}{d+D}$
Torsion		$\frac{1}{p} + \frac{2}{d}$
		$\frac{1}{p} + \frac{4}{d+D}$
Flexion	Arbre percé	$\frac{4}{p}$
Torsion		$\frac{3}{p}$

**Tableau VI. 2:** Valeurs des coefficients  $a$  et  $b$  dans la relation de Brand  $\sigma_D=f(X)$ .

Classe acier ( $R_m$ en MPa)	<b>A</b>	<b>b</b>
$R_m > 1400$	100/3	655
$1200 \leq R_m < 1400$	110/3	585
$1000 \leq R_m < 1200$	120/3	520
$900 \leq R_m < 1000$	130/3	465
$800 \leq R_m < 900$	130/3	430
$700 \leq R_m < 800$	135/3	390
$600 \leq R_m < 700$	135/3	335
$500 \leq R_m < 600$	140/3	295
$400 \leq R_m < 500$	140/3	245
$R_m < 400$	140/3	195
$350 \leq R_m < 500$	140/3	180
$R_m < 350$	140/3	135



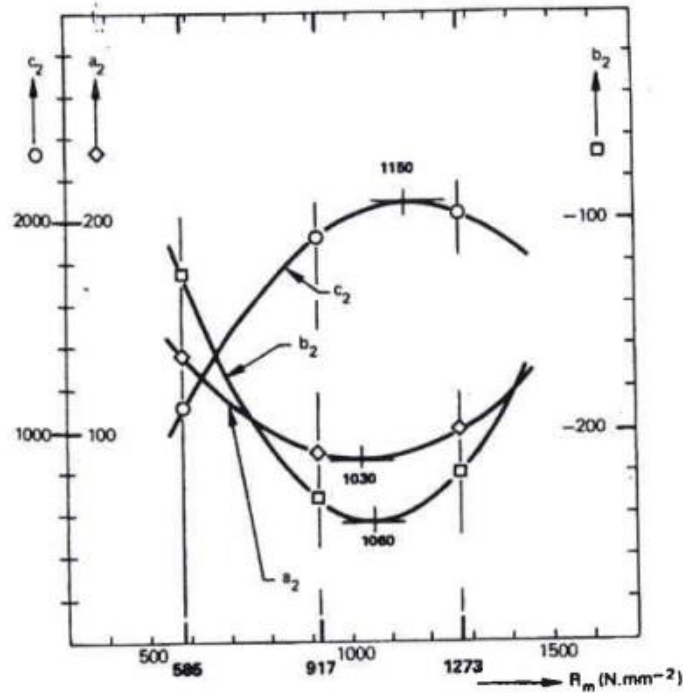


Figure VI.9 : Variation des coefficients  $a_2$ ,  $b_2$  et  $c_2$  en fonction de  $R_m$

### VI.13. Stieleret siebel

Stieleret Siebel ont calculé le facteur de concentration de contrainte en fatigue  $k_f$  en fonction du gradient de contrainte  $X$  :

$$k_f = \frac{k_t}{1 + \sqrt{1 + S_g X}}$$

Où  $S_g$  est une constante du matériau, calculée en fonction de la limite d'élasticité

$$S_g = f(R_e)$$

$X$  est le gradient de contrainte en fond d'entaille  $R_e$  est la limite d'élasticité

### VI.14. Approche de Ye Du-yi et Wang

Ye Du-yi et Wang ont proposé de calculer le facteur de concentration de contrainte en fatigue  $k_f$  en fonction du matériau, du facteur de concentration de contrainte  $k_t$  et de la déformation plastique en se basant sur la règle de Neuber

$$k_f = \frac{k_t}{\sqrt{1 + \frac{1 - n'}{1 + n'} \frac{1}{1 + \frac{\Delta \epsilon_e}{\Delta \epsilon_p}}}}$$

Où :  $n'$  est le coefficient d'érouissage cyclique.

$\Delta \epsilon_e$  : l'amplitude de la déformation élastique.

$\Delta\varepsilon_p$ : l'amplitude de la déformation plastique

En remplaçant  $\Delta\varepsilon_e$  et  $\Delta\varepsilon_p$  par leurs valeurs estimées des équations de Manson- Coffin on peut écrire:

$$k_f = \frac{k_t}{\sqrt{1 + \frac{1-n'}{1+n'} \left[ 1 + \frac{\sigma_f'}{E\varepsilon_f'} (2Nr)^{b-c} \right]^{-1}}}$$

On utilise quelques approximations pour relier les exposant b et c avec le coefficient d'érouissage cyclique n' :

$$b = \frac{-n'}{(1+5n')} ; \quad c = \frac{-1}{(1+5n')}$$

De la même manière, on relie le coefficient de la contrainte en  $\sigma_f'$  et le coefficient de la ductilité en fatigue  $\varepsilon_f'$ , aux caractéristiques de la traction monotone:

$$\sigma_f' = \sigma_f ; \quad \varepsilon_f' = \varepsilon_f$$

En intégrant les équations précédentes on obtient:

$$k_f = \frac{k_t}{\sqrt{1 + \frac{1-n'}{1+n'} \left[ 1 + \frac{\sigma_f}{E\varepsilon_f} (2Nr)^{\frac{1+n'}{1+5n'}} \right]^{-1}}}$$

Le facteur de concentration de contrainte en fatigue  $k_f$  peut être calculée en fonction du Nombre de cycles à la rupture Nr, en utilisant les relations précédente qui sont basées sur la connaissance des caractéristiques du matériau et de la géométrie de l'entaille.

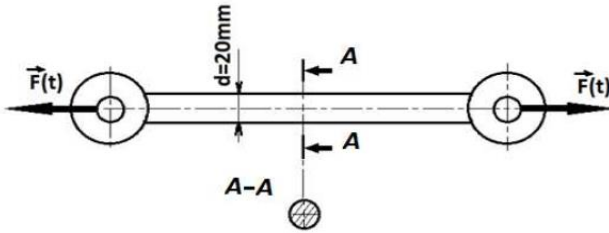
**Exercice 1**

La figure ci-dessous représente une bielle qui est soumise à une sollicitation cyclique (traction). L'effort variable à pour valeurs extrêmes :

$$F_{\max} = 157000 \text{ N}$$

$$F_{\min} = 10000 \text{ N}$$

- 1) De quelle sollicitation s'agit-il ?
- 2) Calculer  $\sigma_{\max}$ ,  $\sigma_{\min}$ ,  $\sigma_m$ ,  $\sigma_a$ ,  $R_\sigma$

**Solution exercice 1**

- 1) Type de sollicitation cyclique : ondulé de traction
- 2)

$$\sigma_{\max} = \frac{4F_{\max}}{\pi d^2}$$

$$\sigma_{\max} = 500 \text{ MPa}$$

$$\sigma_a = \frac{\sigma_{\max} - \sigma_{\min}}{2} = 234.07 \text{ MPa}$$

$$\sigma_{\min} = \frac{4F_{\min}}{\pi d^2} = 31.84 \text{ MPa}$$

$$\sigma_m = \frac{\sigma_{\max} + \sigma_{\min}}{2} = 265.12 \text{ MPa}$$

$$R_\sigma = \frac{\sigma_{\min}}{\sigma_{\max}} = 0.064$$

**Exercice 2**

Un axe est soumis à un cisaillement, les données sont :

$$\tau_m = 85 \text{ MPa} ; R = -0.85$$

- 1) Déterminer le type de sollicitation
- 2) Calculer  $\tau_{\max}$ ,  $\tau_{\min}$  et  $\tau_a$

**Solution exercice 2**

- 1) Type de sollicitation cyclique est alternée

$$2) \tau_m = \frac{\tau_{\max} + \tau_{\min}}{2} \quad 2\tau_m = \tau_{\max} + \tau_{\min} \quad (1)$$

$$R_\tau = \frac{\tau_{\min}}{\tau_{\max}} \quad \tau_{\min} = R_\tau \cdot \tau_{\max} = -0.85 \cdot \tau_{\max} \quad (2)$$

De (1) et (2) on trouve,  $\tau_{max} = 1133 \text{ MPa}$  ,  $\tau_{min} = -963 \text{ MPa}$

$$\tau_a = \frac{\tau_{max} - \tau_{min}}{2} = 1084 \text{ MPa}$$

### Exercice 3 :

Une grue soulève du béton à une hauteur donnée en le faisant quinze fois par jour, le câble utilisé est de diamètre 20 mm et la charge à soulever est 2.5 tonnes

- 1) Déterminer  $\sigma_{max}$ ,  $\sigma_{min}$ ,  $\sigma_m$ ,  $\sigma_a$
- 2) Si le câble est conçu pour un service de  $10^6$  cycles et la fréquence 5jour par semaine et 11 mois par années calculer la durée de vie du câble

### Solution exercice 3

$$P = mg = 25000 \text{ N}$$

$$\sigma = \frac{P}{S} = \frac{25000}{\pi r^2} = 79.61 \text{ MPa}$$

$$\sigma_{max} = 79.61 \text{ MPa}$$

$$\sigma_{min} = 0$$

$$\sigma_a = \frac{\sigma_{max} - \sigma_{min}}{2} = 79.61 \text{ MPa}$$

$$\sigma_m = \frac{\sigma_{max} + \sigma_{min}}{2} = 39.81 \text{ MPa}$$

$$N = f.t$$

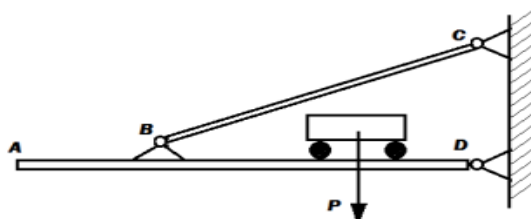
$$t = \frac{220 \times 10^6}{3300} = 66666 \text{ Jours}$$

### Exercice 4 :

La barre BC de la structure ci-dessus en traction cyclique est soumise à un chargement axial tel que :

$$F_{max} = 2 \times 10^5 \text{ N} \text{ et } F_{min} = 8.5 \times 10^3 \text{ N de section } 425 \text{ mm}^2$$

- 1) Calculer  $\sigma_{max}$ ,  $\sigma_{min}$ ,  $\sigma_m$ ,  $\sigma_a$  et  $R_\sigma$
- 2) Ce chargement s'applique 300 fois/heure, quotidiennement de 8h00 à 17h00 tous les jours sauf Vendredi pendant 11mois par année durant 3 ans calculer le nombre de cycles.



**Solution exercice 4**

$$\sigma_{max} = \frac{F_{max}}{S} = 470.58 \text{ MPa}$$

$$\sigma_{min} = \frac{F_{min}}{S} = 20 \text{ MPa}$$

$$\sigma_a = \frac{\sigma_{max} - \sigma_{min}}{2} = 225.1 \text{ MPa}$$

$$\sigma_m = \frac{\sigma_{max} + \sigma_{min}}{2} = 245.29 \text{ MPa}$$

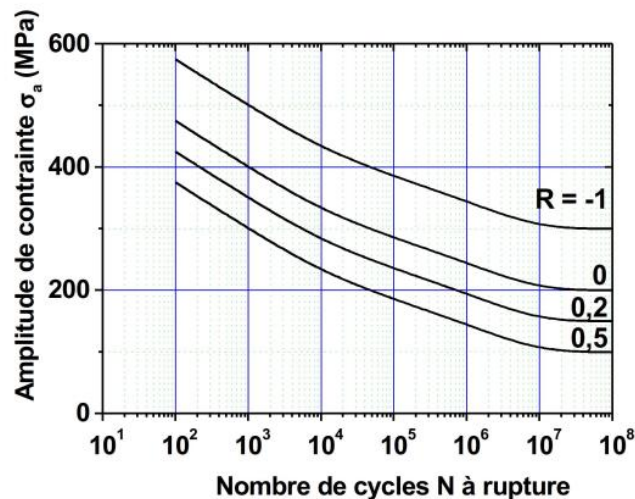
$$R_\sigma = \frac{\sigma_{min}}{\sigma_{max}} = 0.04$$

$$N=f.t= 300 \times 9 \times 6 \times 4 \times 1 \times 3 = 2138400 \text{ Cycles}$$

**Exercice 5**

Une pièce en acier est soumise à un effort cyclique, telle que son rapport de charge est de 0.2 et la valeur de la contrainte maximale et minimale sont respectivement 500 MPa et 100 MPa. Or la fréquence du signal étant de 0,01Hz.

- Calculez la valeur de :  $\sigma_a$ ,  $\sigma_m$
- Utilisez la courbe de Wöhler ci-dessous pour trouver le nombre de cycles N qui correspondent à  $\sigma_a$
- Convertir ce nombre en jours
- Pour que la pièce ait une durée de vie considérée infinie, donner la limite d'endurance  $\sigma_D$  du matériau (de la courbe de Wöhler).
- Calculez  $\sigma_{max}$  et  $\sigma_{min}$  correspondant à la limite d'endurance



**Solution exercice 5**

le rapport de chargement  $R = \sigma_{\min} / \sigma_{\max}$ ,  $R = 100 / 500 = 0,2$

l'amplitude de contrainte  $\sigma_a = \sigma_{\max} - \sigma_{\min} / 2$   $\sigma_a = 500 - 100 / 2 = 200$  MP a.

a) Il suffit alors de lire sur la courbe ( $R = 0,2$ ) le nombre de cycles  $N$  qui correspond à  $\sigma_a = 200$  MP a. On trouve  $N = 7 \times 10^5$  cycles.

b)  $N = f \cdot t$ ,  $f$  : fréquence en HZ,  $t$  : la durée de vie,  $N$  : nombre de cycle

$$t = N / f = 7 \times 10^5 / 0.01 = 7 \times 10^7 \text{ s}$$

c) il ya 86400 secondes dans une journée donc la durée de vie totale en jours sera :

$$t = 7 \times 10^7 / 86400 = 810 \text{ J}$$

d) La pièce aura une durée de vie considérée infinie si l'on abaisse l'amplitude de contrainte à une valeur inférieure à la limite d'endurance  $\sigma_D$  du matériau.

Cela correspond à la valeur qui tend vers une limite asymptotique sur la courbe de Wöhler. On lit sur le graphe  $\sigma_D = 150$  MP a.

e) suite aux relations de  $R = \sigma_{\min} / \sigma_{\max} = 0,2$  et avec  $\sigma_a = \sigma_{\max} - \sigma_{\min} / 2$ , on peut calculer les nouvelles valeurs de  $\sigma_{\max}$  et  $\sigma_{\min}$  selon :  $\sigma_{\max} = 2\sigma_a / (1 - R) = 375$  MP a

$$\sigma_{\min} = R \times \sigma_{\max} = 75 \text{ MP a}$$

**Exercice 6**

Une pièce en acier de largeur 200 mm et d'épaisseur 3,0 mm, avec une fissure centrale d'une longueur de 10 mm. Tel que la ténacité du matériau est de  $K_{IC} = 48 \text{ MPa} \cdot \text{m}^{1/2}$  et sa résistance élastique

$R_e = 1400 \text{ MPa}$ . La pièce est sous un chargement cyclique, avec une force maximale de 80 kN et d'une fréquence de 3 Hz. Le temps que mis la pièce pour se rompre est de 76.6 min.

1) Calculer la contrainte maximale, sachant que le facteur de forme  $Y = 1$

2) Calculer la taille critique de la fissure

3) Calculer le nombre de cycles après rupture

**Solution exercice 6**

$$\sigma_{\max} = \frac{F_{\max}}{S} = \frac{80000}{600} = 133.33 \text{ MPa}$$

$$K_{IC} = Y \sigma_{\max} \sqrt{\pi \times a}$$

$$a_c = \frac{K_{IC}^2}{\sigma_{\max}^2 \times \pi} = \frac{2304}{55819.43} = 0.0413 \text{ m}$$

$$a_c = 41.3 \text{ mm}$$

**Exercice 7**

Un arbre de 50 mm de diamètre est soumis à un moment de flexion de 3000 Nm. L'arbre possédant une entaille, tel que le facteur de concentration de contrainte est de 1.6. Calculer la contrainte au niveau de cette entaille.

**Solution exercice 7**

$$\sigma_n = \frac{v.M_f}{I}, \quad I = \frac{\pi d^4}{64} = \frac{\pi(0.05)^4}{64} = 306.8 \times 10^{-9} \text{ m}^4$$

$$v = \frac{d}{2} = 0.025 \text{ m}$$

$$\sigma_n = \frac{30000 \times 0.025}{30.68 \times 10^{-6}} = 244.5 \text{ MPa}$$

$$\sigma_{entaille} = \sigma_n \times K_t = 244.5 \times 1.6 = 391.1 \text{ MPa}$$

**Exercice 8**

Une barre ronde en acier de diamètre 28 mm. Cette barre est soumise à une flexion cyclique, avec un moment de fluctuation entre 565 Nm et 198 Nm provoquant une contrainte de traction.

Dans un point de la barre, il ya une entaille avec un facteur de concentration 1.18.

- 1) Calculer la contrainte maximale et minimale
- 2) L'amplitude de contrainte
- 3) La contrainte moyenne
- 4) Le rapport de charge
- 5) Donnez le type de chargement cyclique appliqué
- 6) La contrainte maximale au niveau de l'entaille
- 7) Si la durée de vie de la barre est de  $10^7$  cycles, sachant que la fréquence est de 3.5Hz, calculer le temps (jours) que mis la barre pour se rompre

**Solution exercice 8**

$$1) \sigma_{max} = \frac{v.M_{fmax}}{I}, \quad I = \frac{\pi d^4}{64} \quad M_{fmax} = 565 \text{ N.m}, \quad M_{fmin} = 198 \text{ N.m}$$

$$\sigma_{max} = 268.29 \text{ MPa}$$

$$\sigma_{min} = \frac{v.M_{fmin}}{I}$$

$$\sigma_{min} = 91.98 \text{ MPa}$$

2)

$$\sigma_a = \frac{\sigma_{max} - \sigma_{min}}{2} = 85.18 \text{ MPa}$$

- 3)  $\sigma_m = \frac{\sigma_{max} + \sigma_{min}}{2} = 177.11 \text{ MPa}$
- 4)  $R = \frac{\sigma_{min}}{\sigma_{max}} = 0.35$
- 5) Le type de chargement cyclique est ondulé en traction
- 6)  $\sigma_{entaille} = \sigma_a \times K_t = 85.18 \times 1.18 = 100.51 \text{ MPa}$

### **Exercice 9**

Trois éprouvettes A, B, C fabriqués d'un matériau non ferreux, sont soumis à la fatigue,. Chacune de ces éprouvettes subissent un maximum et un minimum de contrainte cyclique mentionné ci-dessous. La fréquence est la même pour toutes les éprouvettes.

épreuve	$\sigma_{max}$ (MPa)	$\sigma_{min}$ (MPa)
<b>A</b>	+ 450	-350
<b>B</b>	+ 400	-300
<b>C</b>	+ 340	-340

- a) Donnez le type de chargement cyclique appliqué de chaque éprouvette
- b) Classer les durées de vie de chacune des éprouvettes de la plus longue à la plus courte ;
- c) Justifier cette réponse en traçant un schéma d'une courbe Wöhler.

### **Solution exercice 9**

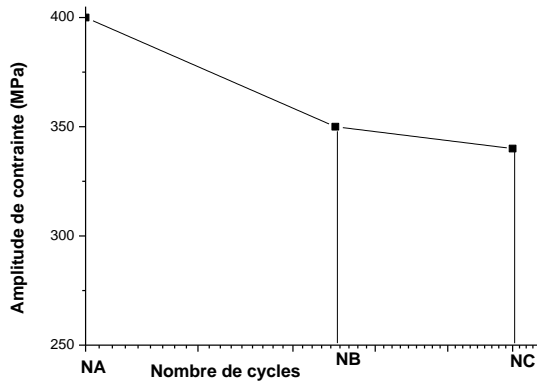
$$\sigma_{aA} = \frac{\sigma_{max} - \sigma_{min}}{2} = \frac{450 - 350}{2} = 400 \text{ MPa}$$

$$\sigma_{aB} = 350 \text{ MPa}$$

$$\sigma_{aC} = 340 \text{ MPa}$$

- a) Type de chargement cyclique est alterné
- b) Puisque la valeur de  $\sigma_{aA} > \sigma_{aB} > \sigma_{aC} \iff N_C > N_B > N_A$
- c) schéma d'une courbe Wöhler





### Exercise 10

Un acier désigné par AISI 4340 est soumis à des chargements cycliques. Les essais sont effectués sur des éprouvettes sans entaille, sous chargement axial et avec une contrainte moyenne égale à zéro ( $\sigma_m = 0$ ). Les résultats des essais sont présentés dans le tableau ci-dessous.

- 1- En appliquant l'équation de Basquin calculer la valeur de la constante A et B ?
- 2- Écrire l'équation de Basquin

$\sigma_a$ (MPa)	$N_f$ (cycles)
948	222
834	992
703	6004
631	14130
579	43860
524	132150

### Solution exercice 10 :

Après le tracé de  $\sigma_a$  en fonction de  $N_f$ , la courbe obtenue est sous une forme de droite. Considérant le premier point et le dernier point de cette droite :

On prend les points  $(\sigma_1, N_1)$  et  $(\sigma_2, N_2)$ , de l'équation  $\sigma_a = AN_f^B$  :

On aura donc,  $\sigma_1 = AN_1^B$ ,  $\sigma_2 = AN_2^B$

Divisant la première équation par la deuxième on aura alors :

$$\frac{\sigma_1}{\sigma_2} = \left(\frac{N_1}{N_2}\right)^B, \quad \log \frac{\sigma_1}{\sigma_2} = B \log \frac{N_1}{N_2}$$

$$B = \frac{\log \sigma_1 - \log \sigma_2}{\log N_1 - \log N_2} = \frac{\log 948 - \log 524}{\log 222 - \log 132150} = -0.928$$

A ?

$$A = \frac{\sigma_a}{N_f^B} = \frac{948}{(222)^{-0.928}} = 1565$$

2)

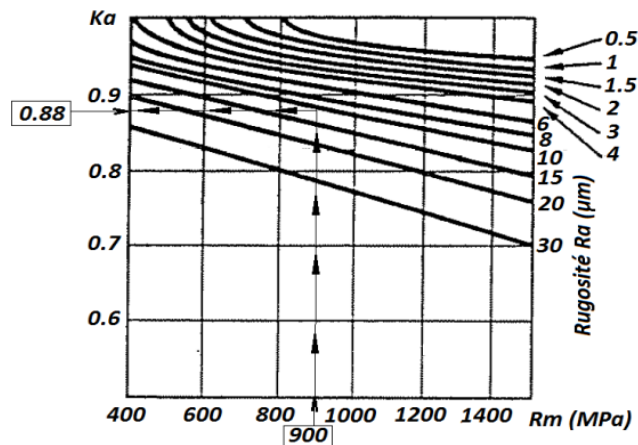
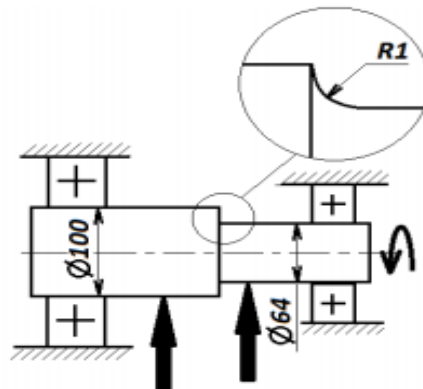
$$\sigma_a = AN_f^B, \quad \sigma_a = 1565N_r^{-0.928}$$

### Exercice 11

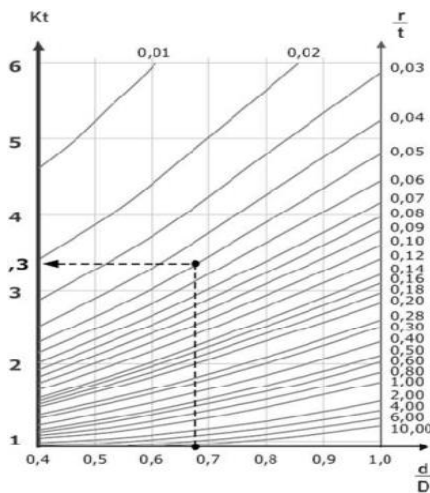
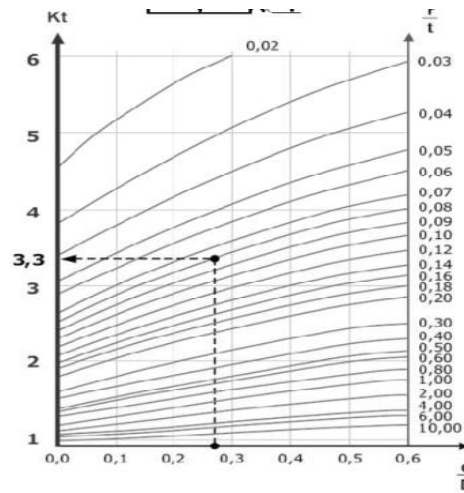
La figure ci-dessous représente un arbre soumis à une flexion rotative, fabriqué d'un acier ayant les caractéristiques suivantes :

La résistance de fatigue expérimentale  $\sigma'_D = 500$  MPa. La limite de résistance à la rupture  $R_m = 1200$  MPa. Sa rugosité moyenne est de  $2\mu\text{m}$ .

Sachant que cet arbre fonctionne dans un milieu où règne une température  $T=80$  °C. On admet une fiabilité de 95 % Calculer l'amplitude de contrainte admissible  $\sigma_{adm}$  pour effectuer  $N=10^5$  cycles



Abaque pour déterminer le facteur  $K_a$  pour les aciers

Abaque de  $K_t$  (Flexion)Abaque de  $K_t$  (Traction/Compression)**Solution exercice 11 :**

1) Correction de la valeur de la résistance à la fatigue :

- Facteur d'effet de température :  $K_d = 344/80+273 = 0.97$

Facteur de fini de surface : De l'abaque on tire ( $R_m = 1200$  MPa et  $Ra = 2\mu m$ ) :  $K_a = 0.95$ ,

- Facteur de grosseur ( $D=100$ mm):  $K_b = 0.75$

- Facteur de fiabilité de 0.95 % ,  $k_c = 0.868$

- Facteur de température,  $k_d = \frac{344}{80+273} = 0.97$

- Facteur de concentration de contraintes :  $d/D = 64/100 = 0.64$  et  $r/t = 1/18$  de l'abaque on tire :

-  $K_t = 3.2$ ,  $K'_f = 1 + q(K_t - 1)$ ,  $q = 1/(1+a/r)$  ,

-  $a = \left(\frac{270}{R_m}\right)^{1.8} = \left(\frac{270}{1200}\right)^{1.8} = 0.068$

-  $q = \frac{1}{1 + \frac{0.068}{1}} = 0.936$

-  $k'_f = 1 + (0.936) \times (3.2 - 1) = 3.0592$

Finalement le coefficient de concentration de contraintes :

$$k_e = \frac{1}{k'_f} = \frac{1}{3.0592} = 0.326$$

- Facteur de fiabilité : Une fiabilité de 95 % correspond à  $K_c = 0.868$

La limite d'endurance utilisée ;

$$\sigma_D = k_a \cdot k_b \cdot k_c \cdot k_d \cdot k_e \cdot \sigma'_D = 0,95 \cdot 0,75 \cdot 0,868 \cdot 0,97 \cdot 0,326 \cdot 500 = 97,78 \text{ MPa}$$

$$\sigma = 0.9R_m \left( \frac{\sigma_D}{0.9R_m} \right)^{\frac{1}{3}(\log N - 3)} = 0.91200 \left( \frac{97,78}{0.9 \cdot 1200} \right)^{\frac{1}{3}(\log 10^5 - 3)} = 217.76 \text{ MPa}$$

### exercice 12 :

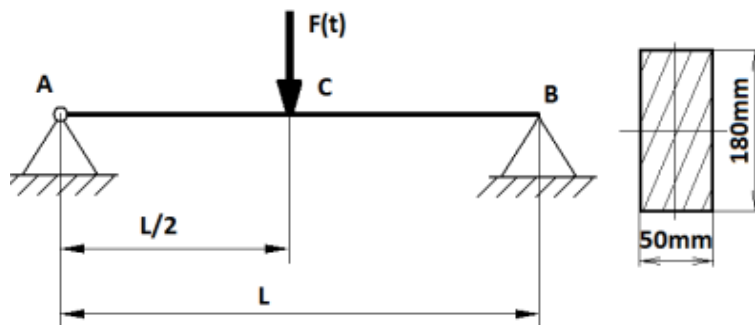
Une poutre (Figure ci-contre) est soumise à un chargement variable

$$F_{\max} = 600 \text{ KN}$$

$$F_{\min} = -600 \text{ KN}$$

$L=2\text{m}$ , la poutre est fabriquée d'un acier,  $R_m = 1200 \text{ MPa}$

- 1- Quel est le type de chargement cyclique appliqué ?
- 2- Calculer le nombre de cycles pouvant être supportés avant de rompre



### Solution exercice 12 :

$$M_f = F/2 \times L/2, \quad L = 2 \text{ m}$$

$$M_f = 60 \text{ KN.m}$$

$$\sigma = M_f \cdot V/I, \quad I = bh^3/12, \quad b = 50 \text{ mm}, \quad h = 180 \text{ mm}, \quad V = 90 \text{ mm}$$

$$\sigma_{\max} = 222 \text{ MPa}, \quad \sigma_{\min} = -222 \text{ MPa}, \quad \sigma_a = 222 \text{ MPa}$$

$$\sigma'_D = 0.5 \times R_m = 600 \text{ MPa}$$

$$N = 1000 \left( \frac{0.9R_m}{\sigma_a} \right)^{\frac{3}{\log\left(\frac{0.9R_m}{\sigma'_D}\right)}} = 1000 \left( \frac{0.9 \times 1200}{222} \right)^{\frac{3}{\log\left(\frac{0.9 \times 1200}{600}\right)}} = 1.17 \times 10^{11} \text{ cycles}$$

**Exercice 13**

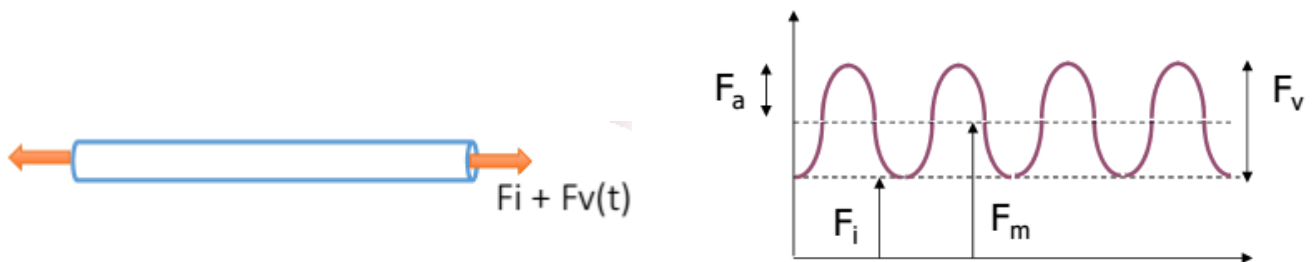
Arbre en acier étiré à froid (figure ci-dessous) de diamètre 40 mm :

$R_e = 490 \text{ MPa}$ ,  $R_m = 590 \text{ MPa}$ .

Soumis à une charge axiale initiale de 70 kN, et une charge variable de 0 à 100 kN. Aux extrémités une concentration de contraintes  $K_t = 2.02$  pour  $r = 5 \text{ mm}$ , avec  $k_a = 0.76$

1- Calculer le facteur de sécurité selon **Goodman** et **Soderberg** pour une vie infinie et **une fiabilité de 90 %**.

2-Tracer les droites de Goodman et celle de Soderberg.

**Solution exercice 13 :**

$$K_a = 0.76, K_b = 0.85, k_c = 0.87, K_d = 1$$

$$k'_f = 1 + q(K_t - 1), \quad q = \frac{1}{1 + \frac{r}{a}} = 0.86, \quad k'_f = 0.95(3.02 - 1) + 1 = 2.927$$

$$K_e = \frac{1}{K'_f} = 0.342, \quad \sigma'_D = 0.5 \times R_m = 295 \text{ MPa}$$

$$\sigma_D = k_a \cdot k_b \cdot k_c \cdot k_d \cdot k_e \cdot \sigma'_D = 0.76 \times 0.85 \times 0.897 \times 1 \times 0.342 \times 295 = 58,46 \text{ MPa}$$

$$F_i = 70 \text{ KN}, \quad F_v = 100 \text{ KN} \quad F_a = \frac{F_v}{2}, \quad F_m = F_i + F_a = 120 \text{ KN}$$

$$S_0 = \frac{\pi d^2}{4} = 1.257 \times 10^{-3} \text{ m}^2, \quad \sigma_a = \frac{F_a}{S} = 39,8 \text{ MPa}, \quad \sigma_m = \frac{F_m}{S} = 95,5 \text{ MPa}$$

Calcul du facteur de sécurité

- Goodman :  $F_s = \frac{1}{\frac{\sigma_a + \sigma_m}{\sigma_D} + \frac{\sigma_m}{R_m}}, \quad F_{s1} = \frac{OB}{OA}$

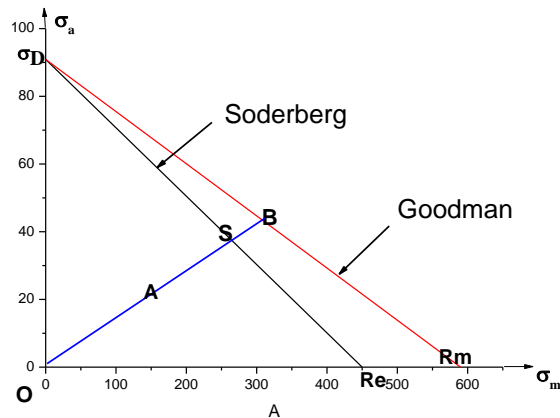
$$F_{s1} = 1.19 \text{ pour } \sigma_D = 58,46 \text{ MPa}, \quad F'_{s1} = 3.36, \text{ pour } \sigma'_D = 295 \text{ MPa}$$

- Soderberg

$$F_{s2} = \frac{OS}{OA}, \quad F_{s2} = \frac{1}{\frac{\sigma_a + \sigma_m}{\sigma_D} + \frac{\sigma_m}{R_e}}$$

$$F_{s2} = 1.14 \text{ pour } \sigma_D = 58,46 \text{ MPa}, \quad F'_{s2} = 3.03, \text{ pour } \sigma'_D = 295 \text{ MPa}$$

$$\text{Comme } OB > OS \Rightarrow F_{s1} > F_{s2}$$



### Exercice 14

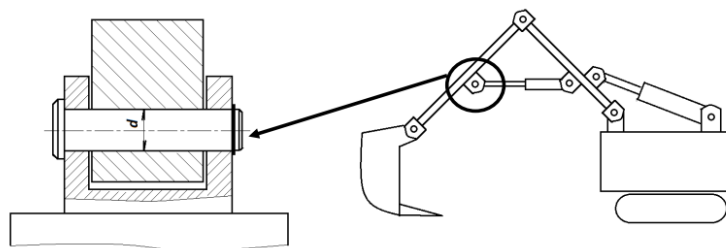
Un axe d'une articulation (figure ci-dessous) est soumis au cisaillement avec effort dynamique variant entre -50 kN et 105 kN, l'axe est fabriqué d'un acier ayant une limite de rupture  $R_m=610$  MPa, une limite d'écoulement plastique  $\sigma_p = 256$  MPa et une limite d'endurance  $\sigma_D = 295$  MPa

La limite d'endurance en cisaillement  $\tau_D \approx 0.58 \sigma_D$  ainsi que la limite d'écoulement  $\tau_p \approx 0.58 \sigma_p$

1) Calculer le diamètre minimal pour assurer une sécurité évaluée par un coefficient  $F_s = 2.25$

2) Quelles seraient les valeurs extrêmes de l'effort appliqué pour que l'axe puisse effectuer

125000 cycles avant de rompre en utilisant un diamètre  $d= 32$  mm et le même coefficient de sécurité ?



### Solution exercice 14 :

$$F_m = \frac{F_{\max} + F_{\min}}{2} \quad , \quad F_m = 27.5 \text{ MPa},$$

$$F_a = \frac{F_{\max} - F_{\min}}{2} \quad F_a = 77.5 \text{ MPa}$$

Il ya deux surfaces cisailées :  $S_0 = \frac{\pi d^2}{4}$ ,  $\tau_a = \frac{F_a}{2S_0}$ ,  $\tau_a = \frac{F_a}{\frac{2\pi d^2}{4}} = \frac{2F_a}{\pi d^2}$ ,  $\tau_m = \frac{F_m}{\frac{2\pi d^2}{4}}$

$$\tau_m = \frac{2F_m}{\pi d^2}, F_{S1} = \frac{\tau_D}{\tau_a} = \frac{0.58 \times \sigma_D}{\tau_a} = \frac{0.58 \times \sigma_D \times \pi d^2}{2F_a}, d = \sqrt{\frac{2F_{S1} \times F_a}{0.58 \times \sigma_D \times \pi}} = 25.47 \text{ mm}$$

A l'écoulement plastique :

$$F_S = \frac{\tau_p}{\tau_{max}} = \frac{0.58 \times \sigma_p}{\tau_{max}}, \tau_{max} = \frac{F_{max}}{S_0}, d = \sqrt{\frac{2F_S \times F_{max}}{0.58 \times \sigma_p \times \pi}} = \sqrt{\frac{2 \times 105000 \times 2.25}{0.58 \times 256 \times \pi}} = 31.83 \text{ mm}$$

Calculons la limite de résistance en fatigue correspondant à une vie finie

$$\sigma_f = 0.9R_m \left( \frac{\sigma_D}{0.9R_m} \right)^{\frac{1}{3}(\text{Log}N-3)}$$

$$\sigma_f = 335.65 \text{ MPa}$$

$$F_S = \frac{\sigma_p}{\tau_a} = \frac{0.58 \times \sigma_p}{\tau_{max}}$$

$$\tau_a = \frac{F_a}{2S_0}, \tau_a = \frac{0.58 \times \sigma_p}{F_S}, F_a = 2S_0 \times \tau_a, S_0 = \frac{\pi d^2}{4}, d = 32 \text{ mm}$$

$$F_a = 147389.95 \text{ N},$$

$$F_S = \frac{\tau_p}{\tau_{max}} = \frac{0.58 \times \sigma_p}{\tau_{max}}, \tau_{max} = \frac{F_{max}}{2S_0},$$

$$F_{max} = \frac{0.58 \times \sigma_p \times \pi d^2}{2F_S} = \frac{0.58 \times 256 \times \pi \times (32)^2}{2.25 \times 2} = 106092.58 \text{ N}$$

$$F_{min} = F_{max} - 2F_a = -188687.32 \text{ N}$$

### Exercice 15

Une pièce cylindrique (figure ci-dessous) en acier A1045 soumise à un effort cyclique axial sous une contrainte minimale de -69 MPa et une contrainte maximale de 104 MPa, appliquées au point A. le cylindre a un trou au centre avec  $K_t=1.7$  et  $q=0.9$ . Sachant que sa résistance maximale est de 565 MPa et sa résistance élastique est de 315 MPa. Sa limite d'endurance est de 138 MPa et  $f=0.85$

- 1) Utilisant le critère de **Goodman**, calculer le facteur de sécurité
- 2) Estimer le nombre de cycle à rupture pour une vie finie



**Solution exercice 15**

1)

$$\sigma_a = 86.5 \text{ MPa}$$

$$\sigma_m = 17.5 \text{ MPa}$$

$$K_f = 1 + q(K_t - 1) = 1 + 0.9(1.7 - 1) = 1.63 \quad 1.021 \quad 0.05$$

$$\sigma_a = K_f \times 86.5 = 141 \text{ MPa}$$

$$\sigma_m = K_f \times 17.5 = 28.52 \text{ MPa}$$

$$\text{d'après Goodman : } \frac{\sigma_a}{\sigma_D} + \frac{\sigma_m}{R_m} = 1$$

$$F_s = \frac{1}{\frac{\sigma_a}{\sigma_D} + \frac{\sigma_m}{R_m}} = \frac{1}{\frac{141}{138} + \frac{28.52}{565}} = 0.93$$

2)

$$\sigma_f = aN^b$$

$$N = \left[ \frac{\sigma_{eq}}{a} \right]^{1/b}, \text{ avec } a = \frac{(f \times R_m)^2}{\sigma_D}, \quad b = -\frac{1}{3} \log \left[ \frac{f \times R_m}{\sigma_D} \right]$$

De la relation de Goodman remplacer  $\sigma_{eq}$  par  $\sigma_D$ , donc on déduit la valeur de  $\sigma_{eq}$  comme suit :

$$\sigma_{eq} = \frac{\sigma_a}{1 - \frac{\sigma_m}{R_m}} = \frac{141}{1 - \frac{28.52}{565}} = 148.42 \text{ MPa}$$

$$a = \frac{(0.85 \times 565)^2}{138} = 1671.3, \quad b = -\frac{1}{3} \log \left[ \frac{0.85 \times 565}{138} \right] = -0.18$$

$$N = \left[ \frac{148.42}{1671.3} \right]^{1/-0.18} = 721308.69 \text{ cycles}$$

**Exercice 16**

Une plaque d'acier à haute résistance (figure 7-21), dont la ténacité à la rupture par déformation plane est de est chargée alternativement en tension à 500 MPa et en compression à 60 MPa.

La plaque doit survivre pendant 10 ans, la contrainte étant appliquée à une fréquence d'une fois toutes les 5 minutes. Concevoir une procédure de fabrication et d'essai qui garantit que le composant fonctionnera comme prévu. Supposez un facteur de géométrie  $f = 1,0$  pour tous les défauts.



**Solution Exercice 16**

Pour concevoir notre capacité de fabrication et d'essai, nous devons déterminer la taille maximale des défauts qui pourraient entraîner une défaillance au cours de la période de 10 ans. La taille critique de la fissure en utilisant la ténacité à la rupture et la contrainte maximale est la suivante :

$$K_{IC} = f \cdot \sigma \sqrt{\pi \cdot a_c}$$

$$80 \text{ MPa}\sqrt{m} = (1.0)(500 \text{ MPa}) \sqrt{\pi a_c}$$

$$a_c = 0.0081 \text{ mm}$$

La contrainte maximale est de 500 MPa ; cependant, la contrainte minimale est nulle, et non de 60 MPa en compression, car les fissures ne se propagent pas en compression. Ainsi,  $\Delta\sigma$  est :

$$\Delta\sigma = \sigma_{\max} - \sigma_{\min} = 500 - 0 = 500 \text{ MPa}$$

Nous devons déterminer le nombre minimum de cycles que la plaque doit supporter :

$$N = (1 \text{ cycle } 5 \text{ min})(60 \text{ min } h)(24 \text{ h } j)(365 \text{ j } a)(10 \text{ a})$$

$$N = 1,051,200 \text{ cycles}$$

Si nous supposons que  $f = 1,0$  pour toutes les longueurs de fissure et notons que

$C = 1,62 \times 10^{-12}$  et  $n = 3,2$  de la figure 7-21 dans l'équation 7-20, alors

$$1.051.200 = \frac{2((0.008)^{(2-3.2)/2} - (a_i)^{(2-3.2)/2})}{(2 - 3.2)(1,62 \times 10^{-12})(1)^{3.2}(500)^{3.4}\pi^{3.2/2}}$$

$$1.051.200 = \frac{2(18 - (a_i)^{0.6})}{(-1.2)(1,62 \times 10^{-12})(1)(4.32 \times 10^8)(6.244)}$$

$$a_i^{-0.6} = 18 + 2764 = 2782$$

$$a_i = 1.82 \times 10^{-6} \text{ m} = 0.00182 \text{ mm pour un défaut de surface}$$

$$2a_i = 0.00364 \text{ mm pour les défauts internes}$$

Le processus de fabrication doit produire des défauts de surface d'une longueur inférieure à 0,00182 mm. de longueur. En outre, des essais non destructifs doivent être disponibles pour garantir que des fissures approchant cette longueur ne sont pas présentes

**Exercice 17**

Pour l'arbre à paliers tel que  $K_f=1.55$  ,  $R_m=690 \text{ MPa}$ , et  $f=0.845$ . La limite d'endurance entièrement corrigée est de  $\sigma_D = 280 \text{ MPa}$ . Considérons que l'arbre subit une contrainte nominale entièrement réversible dans le congé de  $(\sigma_{\text{rev}})_{\text{nom}} = 260 \text{ MPa}$ .

Estimez le nombre de cycles jusqu'à la rupture.

### **Solution exercice 17**

La contrainte maximale réversible est :

$$(\sigma_{rev})_{max} = K_f(\sigma_{rev})_{nom} = 1.55(260) = 403 \text{ MPa}$$

$$a = \frac{(f \times R_m)^2}{\sigma_D} = \frac{(0.845(690))^2}{280} = 1214 \text{ MPa}$$

$$b = -\frac{1}{3} \log \left[ \frac{f \times R_m}{\sigma_D} \right] = -\frac{1}{3} \log \left[ \frac{0.845(690)}{280} \right] = -0.1062$$

$$N = \left[ \frac{\sigma_{eq}}{a} \right]^{1/b} = \left( \frac{403}{1214} \right)^{1/-0.1062} = 32.3 \times 10^3 \text{ Cycles}$$

### **Exercice 18**

La figure ci- contre montre un tirant soumis à un chargement variable en traction caractérisé par les efforts extrêmes suivants :

$$F_{max} = 120 \text{ KN}$$

$$F_{min} = -20 \text{ KN}$$

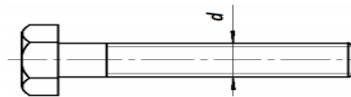
Le matériau du tirant est un acier de caractéristiques :

$$R_m = 785 \text{ MPa}$$

$$\sigma_p = 590 \text{ MPa}$$

$$\sigma_D = 250 \text{ MPa}$$

On adopte un coefficient de sécurité en fatigue  $F_s = 1.5$ , tenant compte de l'écoulement plastique du matériau du tirant déterminer le diamètre minimal pour satisfaire les conditions signalées ci-dessus



### **Exercice 19**

Un vilebrequin en acier avec  $K_c = 45 \text{ MN m}^{-3/2}$ , chargé par une contrainte traction de 225 MPa et une contrainte de compression de 60 MPa. Le contrôle par le technique ultrasonique donne une longueur fissure de 2.5 mm.

Les constantes de la loi de Paris cet acier sont :

$$-A = 1.5 \times 10^{-12} \text{ m}/(\text{MN m}^{-3/2}) \text{ m par cycle}, \quad m = 2.5$$

Calculer la durée de vie du vilebrequin ?

**Exercice 20**

Lors d'une expertise, on effectue un examen au microscope électronique à balayage de la surface de rupture d'une pièce rompue. Celle-ci est formée de stries dont l'espacement varie en fonction de la longueur de la fissure. Pour un grossissement de 8000, on note que l'interstrie est respectivement égal à 0,8 ; 2 et 3,8 mm pour des longueurs de fissure de 2,5 ; 5 et 7,5 mm. Pour un grossissement égal à 2000, l'interstrie est de 1,5 et 2,3 mm pour des longueurs de fissure de 10 et 12,5 mm.

- 1°) Donner une estimation de la vitesse de fissuration pour chaque point de mesure
- 2°) En déduire l'allure de la courbe de progression de la fissure  $a = f(N)$ ,  $a$  représentant la longueur de la fissure et  $N$  le nombre de cycles

**Exercice 21**

Le contrôle du panneau d'un avion fabriqué d'un alliage d'aluminium 7074-T651

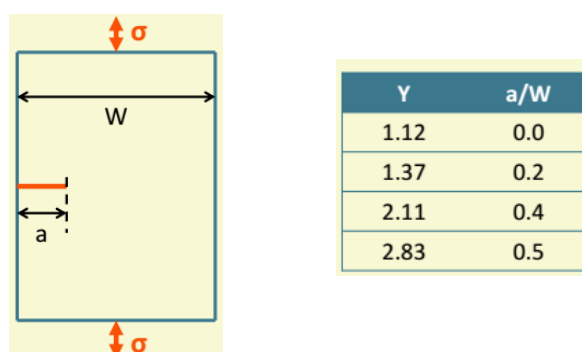
Les propriétés de ce matériau sont :

$K_c = 25.8 \text{ MN m}^{-3/2}$ , la résistance élastique  $\sigma_e = 505 \text{ MPa}$ . Le contrôle donne une fissure de côté d'une longueur de 6.4 mm,

Pendant le vol, ce panneau subira une contrainte cyclique de  $90 \pm 30 \text{ MPa}$ .

Ignorant l'effet de la contrainte moyenne, calculer le nombre de cycles de rupture, utilisant la loi de Paris, tels que les constantes du matériau sont :

$A = 1.2 \times 10^{-12} / (\text{MN m}^{-3/2}) \text{ m per cycle}$ ,  $m = 2.8$



## Exercices proposés sans solution

### Exercice 1

Une tige cylindrique en traction dynamique

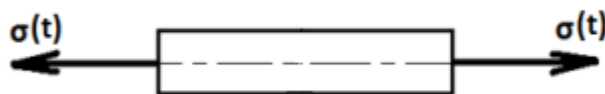
$$F_{\max} = 100 \text{ KN}$$

$$F_{\min} = -100 \text{ KN}$$

$$\sigma_D = 100 \text{ MPa et } R_m = 950 \text{ MPa}$$

1) De quel type de sollicitation s'agit-il ?

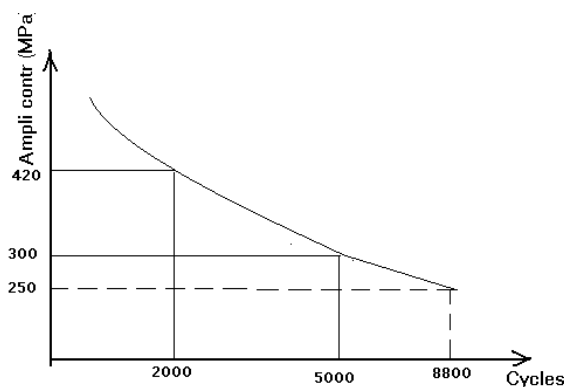
2) Si le câble rompt à  $\sigma_a = 80 \text{ MPa}$  quel serait le nombre de cycles correspondant à cette rupture



### Exercice 2

Les résultats de la courbe de wohler d'un matériau sollicité en fatigue sous des contraintes cycliques comme suit :

- Un cycle partiel  $n_1=100$  cycles, sous une contrainte  $\sigma_{a1}= 420 \text{ MPa}$
  - Un deuxième cycle partiel  $n_2=100$  cycles, sous une contrainte  $\sigma_{a2}= 420 \text{ MPa}$
  - Un troisième cycle partiel  $n_3$ , sous une contrainte  $\sigma_{a3}= 250 \text{ MPa}$
- a) On appliquant la règle de Miner calculer le nombre de cycle partièl  $n_3$



### Exercice 3

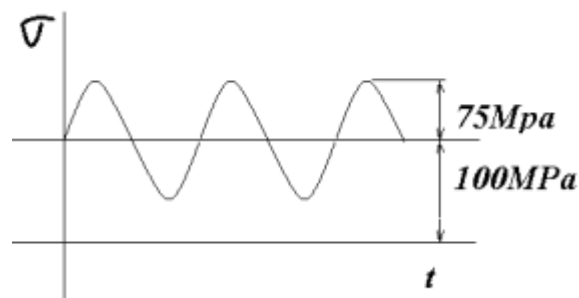
Un câble de soutien est assujéti à une charge variable assimilée à un signal sinusoïdal (voir figure ci-dessous) Le câble est fabriqué d'un matériau ( $\sigma 120\text{MPa}$  et  $R_m= 810 \text{ MPa}$ )

Calculer le nombre de cycles avant la rupture

**Exercice 4**

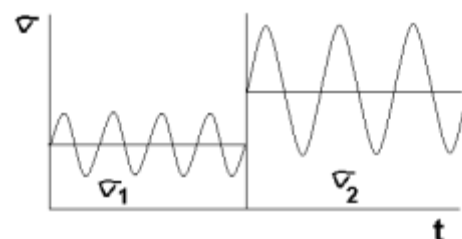
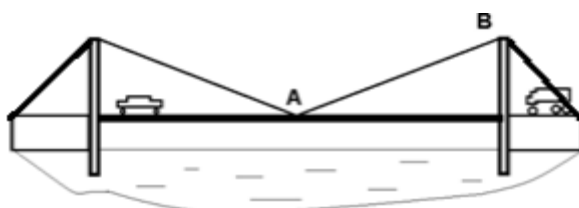
Un élément de machine a subi des contraintes cycliques variables de fatigue comme suit : Une contrainte allant de  $\sigma = -420$  MPa à 140 MPa repeter 5 fois ayant une durée de vie de  $N_1 = 10^4$  cycles ensuite a subi un autre cycle de fatigue d'une contrainte  $\sigma = -210$  MPa à 70 MPa, repeter 3 fois d'une durée de vie de  $N_2 = 5 \times 10^3$  cycles

- Schematiser le cycle appliqué à cet élément de machine ?
- Calculer l'endommagement causé à cet élément
- Que ce que vous pouvez conclure ?

**Exercice 5**

Le câble AB du pont ci-contre s'est rompu après 4 années de son installation c.a.d un nombre de  $2 \times 10^5$  de cycles. L'enquete menée par les experts a révélé que le câble a subi un chargement fluctuant entre  $\sigma_1 = 300. (\sin \omega t) + 120$  à un nombre de cycles  $n_1$  et  $\sigma_2 = 450. (\sin \omega t) + 200$  à un nombre de cycles  $n_2$ . Cette fluctuation est due au passage de gros et petits vehicules. Ce câble est fabriqué d'un acier ( $\sigma_D = 275$  MPa et  $R_m = 1100$  MPa)

- Déterminer les nombres de cycles  $n_1$  et  $n_2$  relatifs aux chargements  $\sigma_1$  et  $\sigma_2$ .
- Si on impose un facteur de sécurité 1.1 pour les deux chargements quelles seront les valeurs de  $n_1$  et  $n_2$  ?



**Exercice 6**

Un réservoir sphérique destiné à recevoir de l'air comprimé de pression variable entre 10 et 200 bars est fabriqué d'un acier ( $\sigma_D = 450$  MPa et  $R_m = 1420$  MPa) de rayon extérieur  $b=15$  cm et d'épaisseur  $e=5$  mm. On désire connaître la durée de vie de ce réservoir si on utilise un coefficient de sécurité égal à 1.2

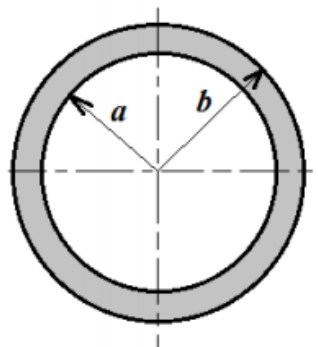
On donne :

$$\sigma_{rr} = A - \frac{B}{r^3} ; \sigma_{\theta\theta} = \sigma_{\varphi\varphi} = A + \frac{B}{r^3}$$

$$\sigma_{r\varphi} = \sigma_{r\theta} = \sigma_{\theta\varphi} = 0$$

$$A = \frac{P_i a^3 - P_e b^3}{b^3 - a^3}$$

$$B = \frac{(P_i - P_e) a^3 b^3}{2(b^3 - a^3)}$$



$P_i$  et  $P_e$  sont respectivement les pressions interne et externe

**Exercice 7**

Un élément mécanique soumis à des contraintes cycliques en flexion suivantes :

- $\pm 350$  N/mm<sup>2</sup> pour un temps de 85 %
- $\pm 400$  N/mm<sup>2</sup> pour un temps de 12 %
- $\pm 500$  N/mm<sup>2</sup> pour un temps de 3 %

Le matériau de cet élément est 50C4 avec  $R_m=660$  N/mm<sup>2</sup> et son endurance limite est de 280 N/mm<sup>2</sup>

Déterminer la durée de vie de cet élément ?

**Exercice 8**

Un vaicseau mince de diamètre 300 mm et d'épaisseur de 2 mm est soumis à une pression intérieure variable de 4 à 8 MPa. La limite élast, la résistance maximale et la limite d'endurance sont respect 500, 900 et 300 MPa

Déterminer le facteur de sécurité selon Soderberg

**Exercice 9**

Un matériau ductile ayant une endurance limite de 200 MPa avec une limite élastique de 300 MPa sous une charge variable. Le max et min sont 150 et 50 MPa respect. Le facteur de concentration de contrainte en fatigue  $k_f=1.3$

Calculer le facteur de sécurité selon Soderberg

**Exercice 10**

Un matériau de  $R_e = 200$  MPa soumis à une contrainte de flexion alternative entre 0 et 200 MPa. La conception est faite sous une conception de la théorie de Gerber avec un facteur de sécurité  $f_s=1$

Calculer la résistance  $R_m$

**Exercice 11**

Une plaque de 300 mm de large et de 11 mm d'épaisseur est soumise à une charge de fatigue à une fréquence de 1 Hz. La contrainte varie entre  $\sigma_{\max} = 120$  MPa et  $\sigma_{\min} = 40$  MPa. A un moment donné, une fissure de bord de 4,5 mm est découverte.

Calculez combien d'heures il faut avant que la plaque se rompe.

Données du matériau : Relation de Paris :  $da/dn = 3,5 \times 10^{-10} \Delta K^{2.5}$ , m/cycle avec  $\Delta K$  en  $MPa\sqrt{m}$  la limite d'élasticité  $\sigma_e = 381$  MPa résistance à la rupture par déformation plane  $K_{Ic} = 35$   $MPa\sqrt{m}$  résistance à la rupture pour une plaque mince ( $\approx 1$  mm)  $K_c = 62$   $MPa\sqrt{m}$

**Exercice 12**

Le fût du canon entre chaque tir, le fut est au repos, et donc non contraint. Ceci implique une contrainte minimale nulle. Il est résulte une variation de facteur d'intensité de contrainte  $\Delta K$ . Compte tenu de la contrainte au moment du tir et de la fissure initiale. Avec  $\Delta K_s = 10$   $MPa\sqrt{m}$ .

La loi de Paris qui est donnée pour cet acier  $\frac{da}{dN} = 8.10^{-11} \Delta K^{2.5}$ ,  $K_{Ic} = 125$   $MPa\sqrt{m}$  telle que la longueur de fissure initiale est de 0.5 mm, le facteur géométrique  $Y = 1.2$

- 1) Calculer la taille critique de la fissure
- 2) Déterminer le nombre de cycles pour propager ce défaut

**Exercice 13**

Une tôle plate contenant une fissure de longueur de 3.1 mm sous amplitude de contrainte cyclique, avec  $\sigma_{\max} = 310$  MPa et  $\sigma_{\min} = 172$  MPa. Cette tôle est fabriquée d'un acier ferrito-perlitique,  $K_{IC} = 165 \text{ MPa}\sqrt{m}$ . Avec  $A = 6.8 \times 10^{-12}$ ,  $m = 3$ ,  $Y = 1.12$

- Déterminer la durée de propagation jusqu'à la rupture
- Déterminer la durée de propagation si la longueur de fissure ne dépasse pas 25 mm

**Exercice 14**

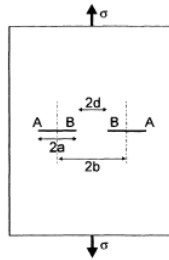
Considérons le problème décrit à la figure ci-dessous. La plaque est soumise à une charge de fatigue de 0 à 130 MPa. Les deux fissures ont des demi-longueurs initiales  $a_0 = 10$  mm et la demi-distance initiale entre leurs centres est  $b_0 = 18$  mm.

Évaluez le nombre de cycles pendant lesquels les fissures coalescent. Le comportement du matériau obéit à la règle suivante :  $da/dN = 2.5 \times 10^{-12} (\Delta K)^4$  with  $da/dN$  in m/cycle and  $\Delta K$  in MPa. La limite d'élasticité du matériau est  $\sigma_Y = 400$  MPa.

Les facteurs d'intensité des contraintes aux pointes A et B sont donnés par

$$K_A = \sigma\sqrt{\pi a} \left[ 1 - 0.0037(a/b) + 0.1613(a/b)^2 - 0.1628(a/b)^3 + 0.1560(a/b)^4 \right]$$

$$K_B = \sigma\sqrt{\pi a} \left[ 1 - 0.00426(a/b) + 0.5461(a/b)^2 - 1.1654(a/b)^3 + 1.2368(a/b)^4 \right]$$

**Exercice 15**

Une barre d'acier est soumise à des cycles de fatigue en traction alternée ( $\Delta\sigma = 100 \text{ MNm}^{-2}$  depuis  $\sigma = 0$  jusque  $\sigma = 100 \text{ MNm}^{-2}$ ). La dimension moyenne des fissures en surface est  $l \leq 2$  mm. Estimer la durée de vie de cette barre sachant que la ténacité de l'acier est de  $K_{IC} = 30 \text{ MNm}^{-3/2}$  et on donne les valeurs des coefficients suivant :  $m = 3$  et  $A = 1 \cdot 10^{-12}$  pour  $\Delta\sigma$  exprimé en MPa et  $l$  en m

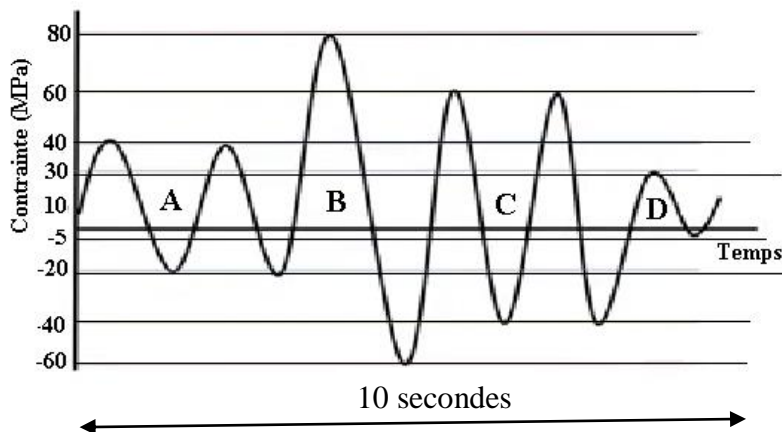


**Exercice 16**

Une pièce en acier a subi une variation cyclique de contrainte (figure ci-dessous), dont sa limite **d'endurance** est de  $\sigma_D = 30$  MPa et sa résistance à la rupture est de  $R_m = 120$  MPa.

On demande pour chaque cycle (A, B, C, D) de :

- 1° Calculer  $\sigma_a$ ,  $\sigma_m$ ,  $\sigma_{equiv}$ ,  $N$  (nombre de cycles de rupture)
- 2° En appliquant la règle de Miner calculer l'endommagement de cette pièce
- 3° Quelle est la durée de vie (en heures) de cette pièce ?

**Exercice 17**

Une barre circulaire solide en acier doit être soumise à un ensemble de charges axiales complètement renversées. comme suit : 10 kN pour 1000000 cycles et 13 kN pour 200000 cycles. Évaluez le diamètre requis de la barre afin de résister à ce type de chargement sans rupture en utilisant la règle de Miner. La courbe S-N du matériau de la barre pour une contrainte moyenne nulle est donnée par l'équation de Basquin  $\sigma_a N_f^\alpha = C$  avec  $C = 400$  MPa et  $\alpha = 0,11$ .

**Exercice 18**

L'historique des contraintes de la figure I est appliqué à une éprouvette métallique. Utilisez la règle de Miner pour déterminer le nombre de cycles  $n_2$  nécessaires à la rupture finale de l'éprouvette après qu'elle ait été soumise à  $n_1 = 500000$  cycles. Le matériau de l'éprouvette se comporte selon l'équation de Basquin  $\sigma_a N_f^\alpha = C$  avec  $C = 400$  MPa et  $\alpha = 0,11$ .

**Exercice 19**

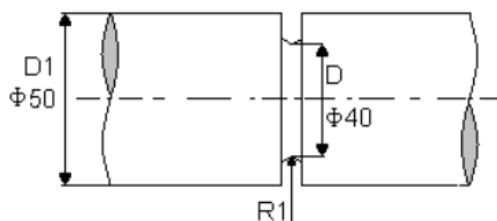
La courbe S--N d'un matériau est décrite par la relation suivante  $\log N = 10 (1 - \sigma/\sigma_{\max})$ , où  $N$  est le nombre de cycles jusqu'à la rupture,  $\sigma$  est l'amplitude de la contrainte cyclique appliquée, et  $\sigma_{\max}$  est la résistance à la rupture monotone, -c'est-à-dire  $\sigma = \sigma_{\max}$  à  $N = 1$ . Un élément rotatif constitué de ce matériau est soumis à 104 cycles à  $\sigma = 0,5 \sigma_{\max}$ . Si la charge cyclique est maintenant augmentée à  $\sigma = 0,75 \sigma_{\max}$ , utilisant la loi de Palmgren-Miner, combien de cycles de plus supportera le matériau ?

**Exercice 20**

Un arbre en acier St50 présente une gorge à fond semi-circulaire de rayon  $R_1 = 1$  mm (figure ci-dessous). Il est soumis à un moment de torsion alternée, d'amplitude  $M_t$ .

On demande :

1. Le coefficient de concentration de contrainte  $k_t$
2. La contrainte d'endurance  $\tau_D$
3. Le moment de torsion correspondant  $M_t$

**Exercice 21**

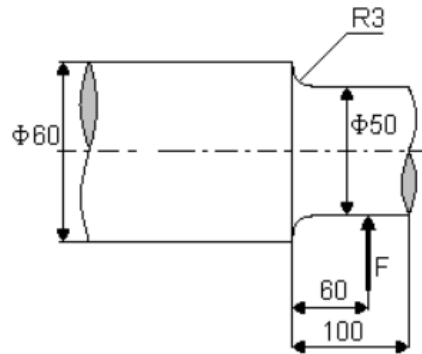
Un changement de section d'arbre, passant d'un diamètre de 120 mm à un diamètre de 100 mm est réalisé de trois façons :

- Sans congé de raccordement
- Avec un congé de 5 mm de rayon
- Avec un congé de 10 mm de rayon

On demande :

1. Quelle est la meilleure forme pour la résistance ?
2. Pour un acier St70, quelle est la contrainte limite de flexion en fatigue dans les 3 cas.

3. Quels sont les moments de flexion correspondants ?



### Exercice 22

Déterminez la sécurité à la fatigue de l'arbre suivant (figure ci-dessous).

Données de l'exercice :

- Une force  $F$  de 10000 N crée un moment de flexion au niveau de l'épaulement
- L'arbre est en acier St50
- $R_3 = 3$  mm

### Exercice 23

Un essai de fatigue est réalisé sur une plaque à entaille centrale de largeur  $W = 150$  mm et d'épaisseur  $B = 2,5$  mm. Les résultats obtenus sont les suivants :

Longueur de fissure $a$ (mm)	Nombre total de cycles appliqués
1,27	0
5,08	24000
10,16	54000
17,78	68000
25,40	74000
50,80	77000

Un chargement à amplitude constante ( $\Delta\sigma = 90$ MPa;  $R = 0,1$ ) est appliqué pour effectuer cet essai. Les caractéristiques du matériau sont les suivantes : limite d'élasticité  $Re = 330$  Mpa Ténacité :  $K_{IC} = 90$  MPa $\sqrt{m}$

Tracer les courbes  $a = f(N)$  et  $da / dN = f(\Delta K)$ . En déduire les coefficients de la loi de Paris.

**Exercice 24**

On considère un composant de structure en alliage d'aluminium dans lequel se propage une fissure de fatigue. La limite d'élasticité  $R_e$  de ce matériau est égale à 300 MPa. Le chargement appliqué est tel que l'amplitude du facteur d'intensité de contrainte  $\Delta K$  reste constante et égale à  $6 \text{ MPa} \sqrt{m}$  durant le cyclage ; le rapport de charge est égal à 0. Un mauvais fonctionnement conduit à l'application d'une surcharge dont la valeur est  $K_{pic} = 1,5 K_{max}$ ,  $K_{max}$  représentant la valeur maximale du chargement à amplitude constante. Après la surcharge, le composant retrouve son fonctionnement normal.

1°) Si le modèle de Wheeler est utilisé et si le coefficient  $m$  de ce modèle prend pour valeur 1, sachant que les conditions de chargement qui prévalent sont des conditions de contrainte plane, de combien différera la vitesse de fissuration suivant immédiatement la surcharge de celle précédant la surcharge ?

2°) Déterminer la distance dont la fissure doit progresser après l'application de la surcharge pour retrouver la vitesse précédant la surcharge

3°) Calculer la valeur du coefficient de retard  $\Phi$  pour une progression de fissure de  $25 \mu\text{m}$  suivant l'application de la surcharge

4°) Discuter les limites d'une telle approche

$$\left(\frac{da}{dN}\right)_{\text{après surcharge}} = \phi \left(\frac{da}{dN}\right)_{\text{amplitude constante}}$$

$$\text{avec } \phi = \left(\frac{r_{pi}}{a_o + r_{po} - a_i}\right)^m$$

**Exercice 25**

On considère une structure pouvant contenir des défauts dont la loi de propagation en fatigue est la suivante ( $R = 0$ ) :

$$da/dN = CK^4$$

On admet que pour les défauts existants, le facteur d'intensité de contrainte se détermine de la manière suivante :  $K = \sigma_w \sqrt{\pi a}$

-  $\sigma_w$ : contrainte de service

-  $a$  : longueur du défaut.

Avant sa mise en service, la structure est soumise à une contrainte d'épreuve  $\sigma_p = \alpha \sigma_w$

1) Déterminer la longueur de défaut initiale  $a_o$ , tolérable après l'essai d'épreuve.

- 2) Calculer la taille de défaut critique en service.
- 3) Etablir une expression pour la durée de vie en service  $N_R$ , fonction des caractéristiques du matériau, et des conditions de chargement ( $\alpha$ ,  $\sigma_w$ ). En déduire qu'une sécurité plus grande peut être assurée dans une structure épaisse construite à l'aide d'un matériau de plus basse ténacité si les coefficients  $C$ ,  $\sigma_w$  et  $\alpha$  restent les mêmes. Justifier votre réponse.
- 4) Sachant que pour  $\alpha = 1,5$  et  $K_{IC} = 80 \text{ MPa}\sqrt{m}$ , 1000 cycles de fatigue sont permis, déterminer la valeur de  $\alpha$  que l'on devra choisir pour obtenir la même durée de vie lorsque  $K_{IC} = 100 \text{ MPa}\sqrt{m}$  si la contrainte de service  $\sigma_w$  reste la même.

### **Exercice 26**

On considère une structure pouvant contenir des défauts dont la loi de propagation en fatigue est la suivante :  $da/dN = 10^{-12} \Delta K^4$ .

On admet que pour les défauts existants, le facteur d'intensité de contrainte se détermine de la manière suivante :  $K = \sigma\sqrt{\pi a}$ ,  $\sigma$  représentant la contrainte appliquée et  $a$  la longueur du défaut. Soumise à réglementation, cette structure doit subir, avant sa mise en service, une contrainte d'épreuve statique telle que  $\sigma_p = \alpha\sigma_s$

- 1°) déterminer la longueur de défaut initial  $a_0$  tolérable après l'essai d'épreuve
- 2°) calculer la taille de défaut critique en service
- 3°) calculer la durée de vie (nombre de cycles conduisant à la rupture brutale de la structure)

Données : contrainte de service,  $\sigma_s = 200 \text{ MPa}$

Coefficient

$\alpha = 1,5$ , ténacité  $K_{IC} = 30 \text{ MPa}\sqrt{m}$

**REFERENCES**

- 1 M. A. Meyers and K. Kumar Chawla, Mechanical Behavior of Materials, , Cambridge University Press, (2009).
- 2 E.E.G Douts Democritus, C.A. Rodopoulos and J.R. Yates, Problems of Fracture Mechanics and Fatigue, University of Thrace, Xanthi, Greece, (2003)
- 3 B. Meddour, Fatigue des matériaux , *Cours & Exercices, 2ème année Master*, Université de Abbas Laghrour Khenchela, (2006)
- 4 FET.L.Anderson,Fracture Mechanics, Fourth Edition, Taylor & Francis Group,(2017)
- 5 T. Dahlberg and A. Ekberg, Solutions Manual to problems in Failure, Fracture, Fatigue, (2002).
- 6 S. Lasek, Fracture Mechanics, Faculty of Metallurgy and Materials Engineering, Technical University of Ostrava, (2015).
- 7 Richard.G Budynas and J.Keith Nisbett, Mechanical engineering design, Tenth Edition, Mac Graw Education, (2015).
- 8 J. Zuidema and M. Janssen, Exercises on Fracture Mechanics, Taylor & Francis Group, (2002).
- 9 Norman E. Dowling, Mechanical Behavior of Materials, Fourth Edition, Polytechnic Institute and State University Blacksburg, Virginia, (2013)..
- 10 L. Aldon, Correction des exercices de Science des Matériaux, Institut Universitaire de Technologie de Nîmes, (2013).
- 11 Equipe GM-3-CDIM, Fatigue, Résistance Dynamique, Mécanique de la rupture
- 12 C. Bathias and A. Pineau, Fatigue of Materials and Structures, John Wiley & Sons, Inc. Hoboken, USA.
- 13 G. Octavian Turcan, Sensibilité des Métaux Ferreux à L'effet D'entaille en Fatigue, École Polytechnique de Montréal, (2011).
- 14 R. E. Peterson, Stress Concentration Factors, JohnWiley and Sons,New-York (1974).
- 15 Brand. et R.Sutterin, Calcul des pièces à la fatigue.Méthode de gradient, Publication Senlis-France CETIM (1980).
- 16 R.D. Askeland, P. P. Fulay and J.W. Wright, The Science and Engineering of Materials Sixth Edition, USA, (2010).